

**KAYA KÜTLESİ SÜREKSİZLİK YÖNELİMİNİN İNCELEMESİİNDE
HAREKET İLE NESNE OLUŞTURMA (SFM)
FOTOGRAMETRİNİN KULLANIMINA YÖNELİK BİR
DEĞERLENDİRME**

**AN ASSESSMENT ON THE USE OF STRUCTURE FROM
MOTION (SFM) PHOTOGRAHAMTRY IN THE INVESTIGATION
OF ROCK MASS DISCONTINUITY ORIENTATION**

MEHMET ALİ TEMUR

Doç. Dr. Hakan Ahmet NEFESLİOĞLU

Danışman

Doç. Dr. Sultan KOCAMAN GÖKÇEOĞLU

Eş Danışman

Hacettepe Üniversitesi

Lisansüstü Eğitim-Öğretim ve Sınav Yönetmeliğinin
Jeoloji Mühendisliği Anabilim Dalı için Öngördüğü
YÜKSEK LİSANS TEZİ olarak hazırlanmıştır.

ÖZET

KAYA KÜTLESİ SÜREKSİZLİK YÖNELİMİNİN İNCELEMESİNDE HAREKET İLE NESNE OLUŞTURMA (SFM) FOTOGRAMETRİNİN KULLANIMINA YÖNELİK BİR DEĞERLENDİRME

MEHMET ALİ TEMUR

Yüksek Lisans, Jeoloji Mühendisliği Bölümü

Tez Danışmanı: Doç. Dr. Hakan Ahmet NEFESLİOĞLU

Eş Danışman: Doç. Dr. Sultan KOCAMAN GÖKÇEOĞLU

Ocak 2022, 81 sayfa

Bu tez çalışmasının temel amacı Hareket İle Nesne Oluşturma (SfM) fotogrametrisinin süreksızlıklere ait geometrik özelliklerin tespitindeki performansının farklı kaya küteleri ve farklı süreksızlık koşulları için incelenerek, yöntemin olası sınırlamalarının belirlenmesidir. Bu kapsamda, farklı yapısal özelliklere sahip farklı kaya küteleri üzerinde çalışılmıştır. İlk aşamada hat etütleri gerçekleştirilerek süreksızlıklere ait yönelim, aralık, devamlılık, pürüzlülük, ayırtma, açıklık, dolgu ve dalgalılık özellikleri ölçülmüştür. Devamında oluşturulan fotogrametrik modeller üzerinde yapılan yönelim ölçümleri, hat etüdünde ölçülen süreksızlık yönelimleri ile karşılaştırılarak sonuçların farklı kayaç türü ve farklı süreksızlık özelliklerine göre değişimleri belirlenmiştir. Sonuç itibariyle, akıllı telefon ile elde edilen görüntüler ve prizmatik bir kutu ile kısmi şekilde yapılan mutlak yöneltmenin, saha koşullarını temsil edecek hassasiyette nokta bulutu üretebilmek için yeterli olduğu saptanmıştır. Bununla birlikte çalışma kapsamında kısmi kapalı süreksızlık koşullarındaki yönelim ölçümleri için

LCP+LSPF (Least Cost Path + Least Square Plane Fitting) yöntemi önerilmiştir. Özellikle sedimanter birimlerde hakim olan tabakalanma tipindeki süreksızlıklar için bu yöntem önem taşımaktadır. GSI (Geological Strength Index) bazlı yapılan değerlendirmeler sonucunda, süreksızlık yapısı koşullarındaki bloklaşma seviyesi arttıkça, bir diğer deyişle kaya parçalarının kenetlenme seviyesi azaldıkça LCP+LSPF kullanımı kaya kütlesinin temsil edilebilirliği için fark edilebilir şekilde ön plana çıkmaktadır.

Anahtar Kelimeler: SfM, Fotogrametri, Hat etüdü, Süreksızlık yönetimi, Düşük maliyetli fotogrametrik yöntemler, nokta bulutu.

ABSTRACT

AN ASSESSMENT ON THE USE OF STRUCTURE FROM MOTION (SFM) PHOTOGRAMMETRY IN THE INVESTIGATION OF ROCK MASS DISCONTINUITY ORIENTATION

MEHMET ALİ TEMUR

Master of Science, Geological Engineering Department

Supervisor: Assoc. Prof. Hakan Ahmet NEFESLİOĞLU

Co-supervisor: Assoc. Prof Sultan KOCAMAN GÖKÇEÖĞLU

January 2022, 81 pages

The main purpose of this study is to investigate the potential restrictions of the Structure from Motion (SfM) photogrammetry method in determining the geometric properties of discontinuities for different rock masses and discontinuity conditions. For this purpose, different rock masses having different structural properties were examined through site investigations. The rock mass discontinuity properties such as orientation, persistence, weathering, aperture, filling, roughness, and waviness were measured by applying traditional scan-line surveys at first. Subsequently, photogrammetric surveys were carried out. Both traditionally measured orientations and the values obtained from the point cloud data were compared with respect to different rock masses and different discontinuity conditions. As a result, it was revealed that the use of a smartphone for image acquisition and a prismatic scale box for partial absolute orientation is sufficient to produce point cloud data with reliable precisions for the rock mass discontinuity characterizations. A new procedure namely LCP+LSPF (Least Cost

Path + Least Square Plane Fitting) was suggested for the measurements of the partially closed-trace discontinuities in particular. Since the dominant discontinuity type in the sedimentary formations is the bedding plane, it was concluded that LCP+LSPF method is essential for such types of rock masses. Considering the convenience evaluations based on the GSI (Geological Strength Index) values, it was revealed that as the level of blocking in the structure increases, so as the interlocking of rock fragments decreases, the use of the LCP+LSPF method becomes essential for the representation of the rock masses.

Keywords: SfM, Photogrammetry, Scanline surveys, Discontinuity orientations, Low-cost photogrammetric methods, point cloud.

TEŞEKKÜR

Değerli katkılarından dolayı danışmanlarım Sayın Hakan Ahmet NEFESLİOĞLU ve Sayın Sultan KOCAMAN GÖKÇEOĞLU'na; Çalışma boyunca desteğini esirgemeyen YÜKSEL PROJE ailesine; Çok sevdiğim kedim MAYA'ya;

Teşekkür ederim.

İÇİNDEKİLER

| | |
|---|-----|
| ÖZET | i |
| ABSTRACT | iii |
| TEŞEKKÜR | v |
| 1. GİRİŞ | 1 |
| 2.LİTERATÜR ARAŞTIRMASI | 5 |
| 2.2. Mühendislik Jeolojisindeki Fotogrametrik Uygulamalara İlişkin Onceki Çalışmalar | 5 |
| 3. HAREKETTEN NESNE OLUŞTURMA FOTOGRAMETRİSİ (Structure from Motion)..... | 11 |
| 4. ARAZİ ÇALIŞMALARI | 24 |
| 4.2. Çalışılan Sahaların Genel Özellikleri | 24 |
| 4.3. Meteorolojik Özellikler | 27 |
| 4.4. Genel Jeoloji..... | 28 |
| 4.4.1. Stratigrafi | 29 |
| 4.4.1.1. Permo-Karbonifer Yaşılı Kireçtaşı (PCkb)..... | 31 |
| 4.4.1.2. Akbayır Formasyonu (Ja)..... | 31 |
| 4.4.1.3. Karadağ Formasyonu (Kkk) | 31 |
| 4.4.1.4. Mamak Formasyonu (Tma)..... | 31 |
| 4.4.1.5. Tekke Volkanitleri (Tt) | 32 |
| 4.4.1.6. Gölbasi Formasyonu (Tg) | 32 |
| 4.4.1.7. Alüvyon (Qal) | 32 |
| 4.5. Hat Etütleri (Scan-line Surveys) | 32 |
| 4.6. Fotogrametrik Ölçümler | 34 |
| 5. SÜREKSİZLİK ANALİZLERİ | 37 |
| 5.1. Hat Etüdü Verilerinin Değerlendirilmesi | 37 |
| 5.1.1. Andezit Türü Kaya Kütlelerinde Yapılan Hat Etüdü Verilerinin Değerlendirilmesi | 39 |
| 5.1.2. Kireçtaşı Türü Kaya Kütlelerinde Yapılan Hat Etüdü Verilerinin Değerlendirilmesi | 40 |

| | |
|---|----|
| 5.1.3. Trakeandezit Türü Kaya Kütlelerinde Yapılan Hat Etüdü Verilerinin Değerlendirilmesi | 40 |
| 5.2. Fotogrametrik Analizler..... | 43 |
| 5.2.1. Nokta Bulutu Verisinin Üretilmesi | 43 |
| 5.2.2. Nokta Bulutu Verisi İle Yapılan Süreksizlik Yönetim Ölçümleri..... | 54 |
| 5.2.3. Kaya Kütlesi ve Süreksizlik Koşullarının Nokta Bulutu Üzerinden Yapılan Süreksizlik Yönetim Ölçümlerine Etkisi | 58 |
| 6. SONUÇLAR VE TARTIŞMA..... | 69 |
| 7. KAYNAKLAR..... | 74 |

ŞEKİLLER DİZİNİ

| | |
|---|----|
| Şekil 3.1. Albrecht Dürer'in perspektif makinesinin kullanımını resmettiği "Man drawing a lute" tablosu (1525). | 12 |
| Şekil 3.2. İnsan gözü ve stereoskopik derinlik algısı (Wolf ve ark., 2013)..... | 13 |
| Şekil 3.3. Stereo görüntü çifti (Stachniss, 2020). | 14 |
| Şekil 3.4. (a) Dış yöneltme öncesi ışın demetleri (b) Dış yöneltme sonrası ışın demetleri (Habib, 2016). | 15 |
| Şekil 3.5. Epipolar geometri gösterimsel çizim (Szeliski, 2010). | 16 |
| Şekil 3.6. Epipolar geometri gösterimsel çizim ve stereo görüntü çifti (Hartley ve Zisserman, 2011'den değiştirilerek)..... | 16 |
| Şekil 3.7. Mutlak yöneltme (Luhmann ve ark., 2014). | 17 |
| Şekil 3.8. Çoklu görüntülere ait ışın desteleri (Luhmann ve ark., 2014)..... | 18 |
| Şekil 3.9. YKN, bağlama noktaları ve ışın desteleri (Habib, 2018). | 19 |
| Şekil 3.10. SIFT algoritması verilen görüntüyü bir anahtar nokta veritabanı haline getirmektedir. Çizgiler anahtar nokta bulunduran alanların (pikseller) yarıçaplarını temsil etmektedir (Westoby ve ark., 2012'den değiştirilerek)..... | 21 |
| Şekil 3.11. Notre Dame'a ait görüntülerle oluşturulan bağlantısallık grafiği (Snavely ve ark., 2007'den değiştirilerek). | 22 |
| Şekil 3.12. Anahtar nokta eşleştirme (Habib, 2018'den değiştirilerek). | 22 |
| Şekil 3.13. 370 adet hava fotoğrafı ile oluşturulmuş gevşek nokta bulutu verisi ve bu fotoğraflara ait konumlar (Aber ve ark., 2019'dan değiştirilerek)..... | 23 |
| Şekil 4.1. Yer bulduru haritası..... | 25 |
| Şekil 4.2. Çalışma yapılan andezit türü kaya kütlesi (Yenikent 5. Lokasyon). .. | 26 |
| Şekil 4.3. Çalışma yapılan kireçtaşısı türü kaya kütlesi (Alacaatlı 2. Lokasyon).. | 26 |
| Şekil 4.4. Çalışma yapılan trakeandezit türü kaya kütlesi (Ballıkuyumcu 1. Lokasyon). | 27 |
| Şekil 4.5. Kimyasal ve mekanik ayrışma seviyeleri (İstanbul Üniversitesi Açık ve Uzaktan Eğitim Fakültesi Fiziki Coğrafya Ders Notları; Peltier 1950'den değiştirilerek). | 28 |
| Şekil 4.6. Çalışma alanları ve çevresini gösteren jeoloji haritası (Akyürek ve ark., 1997'den değiştirilerek)..... | 30 |

| | |
|---|----|
| Şekil 4.6. Hat etüdü (a), brunton pusulası ile tabaka ölçümü (b), yapay süreksizlik yüzeyinden yönelim ölçümü (c), profilometre ile pürüzlülük ölçümü (d) | 33 |
| Şekil 4.7. Kamera pozisyonları (a); coğrafi kuzeye paralel şekilde yerleştirilen prizmatik karton kutu (b); jeoreferanslama için kullanılan YKN'ler (c) | 36 |
| Şekil 5.1. Açık ve kısmi kapalı olarak tanımlanan örnek süreksizlikler..... | 37 |
| Şekil 5.2. Kaya türü, açık ve kısmi kapalı süreksizlik özelliklerine göre majör süreksizlik setleri..... | 42 |
| Şekil 5.3. YK-Loc1 Nokta bulutu verisi ve görüntü bindirme oranları..... | 45 |
| Şekil 5.4. YK-Loc2 Nokta bulutu verisi ve görüntü bindirme oranları..... | 46 |
| Şekil 5.5. YK-Loc3 Nokta bulutu verisi ve görüntü bindirme oranları..... | 47 |
| Şekil 5.6. YK-Loc4 Nokta bulutu verisi ve görüntü bindirme oranları..... | 48 |
| Şekil 5.7. YK-Loc5 Nokta bulutu verisi ve görüntü bindirme oranları..... | 49 |
| Şekil 5.8. AA-Loc1 Nokta bulutu verisi ve görüntü bindirme oranları..... | 50 |
| Şekil 5.9. AA-Loc2 Nokta bulutu verisi ve görüntü bindirme oranları..... | 51 |
| Şekil 5.10. AA-Loc3 Nokta bulutu verisi ve görüntü bindirme oranları..... | 52 |
| Şekil 5.11. BK-Loc1 Nokta bulutu verisi ve görüntü bindirme oranları..... | 53 |
| Şekil 5.12. BK-Loc2 Nokta bulutu verisi ve görüntü bindirme oranları..... | 54 |
| Şekil 5.13. Süreksizlik yüzeyine ait nokta bulutu verisi (a) LSPF yöntemi ile oluşturulan yüzey (b, c)..... | 55 |
| Şekil 5.14. LCP + LSPF uygulaması şematik gösterim. | 56 |
| Şekil 5.15. LCP + LSPF nokta bulutu üzerinde uygulama örneği..... | 57 |
| Şekil 5.16. Farklı yöntemlerin fark miktarlarına ait histogram ve kutu grafikleri. | 59 |
| Şekil 5.17. Farklı kaya türlerinin fark miktarlarına ait histogram ve kutu grafikleri. | 60 |
| Şekil 5.17. Farklı ayışma derecelerine göre hesaplanan ölçüm farklarına ait histogram ve kutu grafikleri. | 60 |
| Şekil 5.19. JRC değerlerine göre ölçüm farklarını gösteren kutu grafikler; bütün değerler (a); gruplanmış değerler (b). | 61 |
| Şekil 5.20. LSPF ve LCP + LSPF yöntemlerinin kaya türlerine göre kullanım oranları.... | 62 |
| Şekil 5.21. Süreksizlik kutup noktalarının farklı kaya türü, LSPF ve LCP + LSPF yöntemlerine göre yoğunlukları. | 63 |

| | |
|---|----|
| Şekil 5.22. LSPF ve LCP + LSPF yöntemlerinin kullanılabilirlik oranlarının GSI tablosu üzerinde yapı ve yüzey kalitesine göre gösterimi (Hoek ve Marinos, 2000'den değiştirilerek)..... | 65 |
| Şekil 5.23. LSPF ve LCP + LSPF yöntemlerine ilişkin kullanım önerilerinin GSI tablosu üzerinde gösterimi (Hoek ve Marinos, 2000'den değiştirilerek)..... | 66 |
| Şekil 5.24. LSPF yöntemiyle yönelim ölçümünde kullanılan farklı büyüklükteki alanlar..... | 67 |
| Şekil 5.25. LSPF yöntemi uygulanan alan büyüklüğü ve RMS değerlerinin değişimleri. | 68 |

ÇİZELGELER DİZİNİ

| | |
|--|----|
| Çizelge 4.1. Hat etüdü çalışmaları özet tablosu..... | 33 |
| Çizelge 4.2. Görüntü alımında kullanılan kamera özellikleri..... | 35 |
| Çizelge 5.1. Hat etüdü özet tablosu | 38 |
| Çizelge 5.2. Nokta bulutu verisi özet tablosu. | 44 |

1. GİRİŞ

Mühendislik yapıları, kaya ortamlarında veya kaya ortamları ile etkileşimli konumlarda inşa edilmeye başladığından beri; kayaların mühendislik özelliklerinin belirlenmesi tartışılmaz öneme sahip olmuş, beraberinde birtakım kavamlar gelişmiştir. Bir kayada çekme dayanımı ihmali edilebilen, mekanik olarak oluşmuş her bir kırık ya da çatlak, süreksizlik olarak tanımlanmaktadır (Priest, 1993). Kaya malzemesi, çekme dayanımının azalmasına sebep olabilecek herhangi bir süreksizlik içermeyen kaya parçası ya da parçaları; kaya kütlesi ise farklı yönlerde gelişmiş süreksizliklerin kaya malzemesi ile birlikte bulunduğu kaya sistemleri olarak ifade edilebilir (Ulusay ve Sönmez, 2007). Kaya kütlelerinin dayanım, içsel gerilme, deformabilite ve permeabilite gibi özellikleri doğrudan süreksizlik etkisi altındadır. Temel olarak süreksizlikler kaya kütlelerinin dayanımını azaltıp, deformabilite ve anizotropisini artırır; kaya kütlesindeki bütün gerilme dağılımını karmaşık bir şekilde değiştirebilirler (Goodman, 1989). Dolayısıyla bir kaya kütlesinin mühendislik/mekanik davranışları, süreksizliklerin mühendislik/mekanik özellikleri dikkate alınmadan belirlenemez. Kaya kütlelerine ait süreksizlik özellikleri, kaya yüzlekleri ya da sondaj karotları üzerinde yapılan ölçümler ile belirlenmektedir. Kaya yüzleklerinden alınan süreksizlik ölçümleri, gerek yerüstü gerek yeraltında, geniş yüzeylerden faydalananabilme avantajı sebebiyle süreksizlik yönelimi, süreksizlik boyutu ve diğer büyük ölçekli geometrik özelliklerin doğrudan tespit edilmesine olanak sağlar. Hat etüdü (*scanline surveys*) ve pencere haritalaması/orneklemesi (*window sampling*) bu ölçümler arasında en yaygın kullanılan yöntemlerdir (Priest, 1993). Hem hat etüdü hem pencere haritalama/ornekleme yöntemlerinde süreksizliklere ait özellikler (yönelim, aralık ve devamlılık) jeolojik pusula ve şerit metre kullanılarak ölçülmektedir. Bu ölçümler gerek yöntem ve örneklemeye gerekse aletsel temelli çeşitli sınırlama ve dezavantajlara sahiptir. Özetlemek gerekirse:

- Yoğun iş gücü tüketen ve zaman alıcı yöntemlerdir (Cao ve ark., 2017). Dolayısıyla masraflıdır.

- Bazı kaya yüzleklerinin üst kesimlerine tırmanış ekipmanı olmadan fiziksel erişim mümkün olmayabilir (Kemeny ve Post, 2003). Erişimin mümkün olduğu koşullar ise her zaman güvenli olmayıpabilir (Gaich ve ark., 2006).
- Yöntemler hassasiyet eksikliği yaratacak şekilde kişisel bilgi ve tecrübeye bağlıdır (Feng ve Röshoff, 2015). Bu durum ölçümlerin standartlaştırılmasını güçlendirmekte, kişi bazlı ölçüm hatalarına sebep olabilmektedir.
- Demir boru hatları ya da ray gibi malzemelerin sebep olduğu manyetik sapmalar ile metalik madenlerin sebep olduğu anomaliler pusula okumalarının doğruluğunu etkileyebilmektedir (ISRM, 2007).

Özetlenen bu dezavantaj ve sınırlamalar, süreksizlik özelliklerinin tespit edilmesi konusunda geleneksel yöntemlere alternatif oluşturacak yeni yöntem arayışlarına sebep olmuştur. Fotogrametrik yöntemlerin bu arayışa cevap verecek şekildeki kullanımı Linkwitz (1963; Gaich ve ark., 2003'den) ve Rengers (1967) gibi örneklerde görüleceği üzere 1960'lı yıllara kadar uzanmaktadır. ISRM (1977) kaya kütlesi ve onu oluşturan diğer özelliklerin tanımlanması için kullanılan yöntemler arasında analog fotogrametriye yer vermiştir. Günümüze bakıldığından, ortaya çıkışından bu yana geçen on yıl içerisinde hava (*aerial*) ve yakın mesafe (*close-range*) dijital fotogrametrisi üç boyutlu topografik modelleme için güçlü ve yaygın olarak kullanılan bir araç haline gelmiştir (Westoby ve ark., 2012). Bu duruma bağlı olarak kullanımı artan yöntemlerden biri de hareket ile nesne oluşturma [Structure from Motion (SfM)] fotogrametrisidir. Esasen başlangıçta bina ve arkeolojik yapıların 3 boyutlu cephe rekonstrüksyonları için tasarlanan yöntem, tek bir kaya numunesinden bütün bir araziye varan ölçümleme aralığında pratik ve etkin maliyetli haritalamalar yapılmasına olanak sağladığı için yer bilimleri ve mühendisliğinde son zamanlarda başarıyla kullanılmaktadır (Lucieer ve ark., 2014). Bunun yanında SfM fotogrametrisinin yer bilimleri ve mühendisliğindeki bir diğer kullanım alanı da mühendislik jeolojisidir. Yöntem bir kaya yüzleşinin 3 boyutlu olarak modellenmesine olanak sağladığı için kaya kütle

karakterizasyonu ve süreksızlık özelliklerinin tespitinde de kullanılabilmekte olup (Roncella ve ark. 2005; Greenwood ve ark., 2016; Cawood ve ark., 2017; Vanneschi ve ark., 2017; Erharter ve ark., 2018; Sayab ve ark., 2018; Tung ve ark., 2018; Vanneschi ve ark., 2019; Menegoni ve ark., 2019; Zhang ve ark., 2019), özellikle son beş yıl içerisinde mühendislik jeolojisi alanında sıkılıkla kullanılmaya başlanmıştır. Literatürde SfM fotogrametrisinin süreksızlıklere ait geometrik özelliklerin tespitinde başarılı şekilde kullanıldığı vaka çalışmaları mevcuttur; ancak yöntemin farklı jeolojik birimlerin ya da farklı yapısal özelliklerin söz konusu olduğu durumlardaki performans ve sınırlamalarının değerlendirildiği herhangi bir araştırma bulunmamaktadır. Literatürdeki bu eksiklikten hareketle, bu tez çalışması kapsamında aşağıdaki araştırma sorularına ait cevaplar aranmıştır:

- SfM fotogrametrisinin farklı kayaç türlerinde yer alan süreksızlık setlerine ait geometrik özelliklerin belirlenmesi konusundaki performansı nasıl değişimler göstermektedir?
- SfM fotogrametrisinin farklı yapısal özellikteki süreksızlık setlerine ait geometrik özelliklerinin belirlenmesi konusundaki performansı nasıl değişimler göstermektedir?
- SfM fotogrametrisinin farklı bozunma seviyesindeki süreksızlık setlerine ait geometrik özelliklerinin belirlenmesi konusundaki performansı nasıl değişimler göstermektedir?

Bu tez çalışmasında özetle, farklı kayaç türü, farklı yapısal özellikteki süreksızlıklar ve farklı bozunma seviyelerinin söz konusu olduğu durumlarda SfM fotogrametrisinin süreksızlık özelliklerinin belirlenmesi konusundaki performansının incelenmesi amaçlanmıştır. Bu kapsamda Geological Strength Index (GSI), (Hoek ve Marinos, 2000) değeri 15 ile 85 arasında değişen magmatik ve sedimanter kaya kütlelerindeki farklı yapısal özellik ve yüzey koşullarına sahip süreksızlıklar değerlendirilmiştir. İnceleme yöntemi temel olarak

hat etüdü ve SfM fotogrametrisi ile elde edilen süreksızlık yönelimlerinin karşılaştırılması esasına dayanmaktadır. Öncelikle saha çalışmaları gerçekleştirilmiş, bu kapsamda hat etütleri yapılarak ISRM (2007) standartları dikkate alınarak süreksızlık özellikleri ölçülmüştür. Sonraki aşamada hat etüdü yapılan mostralalar SfM fotogrametrisi ile 3 boyutlu olarak modellenmiş, oluşturulan modeller üzerinden süreksızlıklere ait yönetim özellikleri tespit edilmiştir. Son aşamada SfM fotogrametrisi ile oluşturulan modeller üzerinde tespit edilen yönetimler, hat etüdünde ölçülen süreksızlık yönetimleri ile karşılaştırılarak SfM fotogrametrisinin başarısı değerlendirilmiştir. Yöntemin başarısındaki değişim kayaç türü, süreksızlıkların yapısal özellikleri ve bozunma seviyesi açısından tartışılarak, SfM fotogrametrisinin mühendislik jeolojisi çalışmalarında kullanılabilirliği GSI tablosu üzerinden sunulmuştur.

2. LİTERATÜR ARAŞTIRMASI

2.2. Mühendislik Jeolojisindeki Fotogrametrik Uygulamalara İlişkin Önceki Çalışmalar

Ross-Brown (1973) tarafından 20'den fazla açık ocak maden işletmesinde yapılan çalışma, kaya kütlelerine ait yapısal unsurların fotogrametrik yöntemlerle tespit edildiği ilk çalışmalarlardan bir tanesidir. Çalışmada sağ ve sol stereo çift olarak yerleştirilmiş kameralar kullanılarak elde edilen bindirmeli görüntülerle kaya mostrası stereoskopik olarak modellenmiştir. Oluşturulan stereoskopik modelin dış yöneltme işlemi için, sağ ve sol kameranın konumları ile birlikte 4 farklı referans noktası kullanılmıştır. Referans noktalarına ait konumlar fototeodolit kullanılarak ölçülmüştür. Yönlendirme yapılan stereoskopik modelde gözlemlenen süreksızlıklar üzerinde stereokomparatör yardımıyla x , y , z koordinatları bilinen noktalar oluşturularak en küçük kareler yöntemi ile süreksızlık düzlemleri oluşturulmuş ve bu yüzeylerin yönelimleri ölçülmüştür. Süreksızlık düzlemleri oluşturulurken minimum 4 nokta kullanılmış olup, ölçümlerin 5° 'lik hassasiyetle gerçekleştiği saptanmıştır. Çalışma sonucunda analog fotogrametrik yöntemin süreksızlık yönelimlerinin ölçümüne ilişkin sahip olduğu avantaj ve dezavantajlar tespit edilmiştir. Fotogrametrik yöntemindeki ölçüm hatalarının genellikle kaba hatalar (gross errors) olması ve bu hataların kolaylıkla tespit edilip düzeltilebilmesi fotogrametrik yöntemin başlıca avantajlarından biri olarak sunulmuştur. Süreksızlık yönelimlerinin pusula ölçümünde karşılaşılan hatalar ise tespit edilmesi daha güç olan tekil hatalar olduğu ifade edilmiştir. Çalışmaya göre sıkılıkla karşılaşılan tekil hatalar pusulada manyetik sapmanın söz konusu olduğu durumlarda değil, süreksızlık düzlemlerinin nispeten küçük olduğu ve pusula hizalamasının zor olduğu durumlarda meydana gelmektedir. Bu sebeple kullanılan fotogrametrik yöntemin, pusula ile gerçekleştirilen ölçümlere kıyasla daha avantajlıdır. Çalışma kapsamında fotogrametrik yönteme ilişkin saptanan dezavantajların başında süreksızlıkların bazı yapısal özelliklerinin yaratığı etki gelmektedir. Çok ayırmış ve dalgalı süreksızlıkların yöntemin başarısı azalmaktadır. Bununla birlikte süreksızlık düzlemlerinin kamera odak düzlemi ile yaptığı açı, kamera konumlarının süreksızlık düzlemine olan uzaklıği,

kullanılan kameranın odak uzunluğu ve ortamın ışık durumu gibi unsurlar da fotogrametrik ölçüm performansını etkilemektedir.

Lee ve ark. (2000) tasarladıkları kamera yerleşim sistemi ile stereofotogrametrik model oluşturarak öncelikle iç mekanda, sonrasında ise 3 farklı sahada süreksızlık yönelimlerini ölçmüştür. Bu yerleşim sistemi özetle, tripod üzerine yerleştirilen yatay bir bar üzerindeki kameranın düşeyde hareket etmeksizin yalnızca yatayda hareket ederek sağ ve sol stereo çift görüntüler alması üzerine kurulmuştur. Görüntü alma işlemi sırasında 3 değer ölçülmüştür. Bunlar; kullanılan kameranın odak uzaklığı, kameranın süreksızlık düzlemine olan uzaklıği ve stereo görüntüyü alan sağ ve sol kameraların birbirlerine olan uzaklıklarıdır. Daha sonra bu 3 değer kullanılarak stereo çift olarak çekilmiş birbirleri üzerinde bindirilen görüntülerdeki süreksızlık düzlemleri üzerinde belirlenen noktaların 3 boyuttaki koordinatları elde edilmiştir. Koordinatları bilinen bu noktalar üzerinde, Fortranda kodlanmış Stereo isimli yazılım kullanılarak süreksızlık düzlemleri oluşturulmuş ve bu düzlemlere ait eğim-eğim yönü değerleri hesaplanmıştır. Çalışma sonucunda hesaplanan eğim-eğim yönü değerleri, aynı yerlerden pusula ölçümleri ile alınan eğim-eğim yönü değerleri ile karşılaştırılarak yöntemin başarısı araştırılmıştır. İç mekan ölçümlerinde 2 farklı görüntü alma tipi kullanılmıştır. Tip-1'de kamera ekseni yataya paralel iken Tip-2'de yatay ile 20° 'lik açı yapacak şekildedir. Eğim değerleri için 360° üzerinden hesaplanan hata kareleri ortalaması (MSE) Tip – 1 için 3.4° , Tip – 2 için 5.3° dir. Eğim yönü değerleri için ise hata kareleri ortalaması (MSE) 180° üzerinden hesaplamış olup hem Tip – 1 hem Tip – 2 için 1.6° olarak belirlenmiştir. Saha çalışmalarında ise pusula ile ölçülen eğim ve eğim yönü değerleri aralık olarak belirlenmiş olup; stereofotogrametrik yöntemlerle ölçülen 36 adet eğim – eğim yönü değerinin 24 adedi pusula ölçümleri ile belirlenen bu aralıklar içerisinde yer almıştır. Aralık içerisinde yer almayan eğim – eğim yönü değerleri ise $\pm 1^\circ$ 'lik farkla aralık dışında kalmıştır. Çalışma sonucunda pusula ve stereofotogrametrik yöntemler ile ölçülen süreksızlık yönelimlerine ait farkların kabul edilebilir olduğu ifade edilmiştir.

Gaich ve ark. (2001) bilgisayarlı gözü (computer vision) ve fotogrametriyi beraber kullanarak bir tünel aynasını 3 boyutu olarak modellemiş ve süreksizliklere ait bazı geometrik özelliklerini tespit etmiştir. Çalışmada kullanılan kaya kütlesine ait görüntüler panoramik çizgi tarayıcı kameralar ile stereo çift olarak kaydedilmiştir. Panoramik kameraların kullanılmasının nedeni kolaylıkla yüksek hız ve kalitede stereoskopik yerleşime uygun olarak geniş açıda görüntü alabilmesi olarak ifade edilmiştir. Kameralara ait iç ve dış yöneltme işlemleri gerçekleştirildikten sonra sırasıyla; görüntü eşleme, nokta bulutu (point cloud) ve üçgenlenmiş düzensiz ağ [triangulated irregular networks (TIN)] oluşturma adımları uygulanmıştır. Bu adımlar sonucunda elde edilen 3 boyutlu model üzerinde yatayda 276, düşeyde 289 adet süreksilik için devamlılık (trace length), aralık ve yönelim değerleri elde edilmiştir. Süreksilik aralık değerlerinin negatif eksponansiyel dağılım gösterdiği tespit edilmiştir. Çalışmada dış yöneltme işlemi uygulanırken kullanılan referans noktaları coğrafi koordinat sistemi üzerinden koordinatlandırılmıştır. Süreksilik yönelimleri 3 boyutlu model içerisinde bağıl olarak (relative orientation) ölçülmüştür.

Ronchella ve ark. (2005) süreksilik yönelimlerinin tespiti için pusula ile yapılan ölçümlelere alternatif olacak ucuz ve pratik bir yöntem arayışına girerek fotogrametrik metodların kullanıldığı bir çalışma gerçekleştirmiştir. Corma di Machaby'de (İtalya) bulunan kaya şevinde yaptıkları çalışmada bindirmeli olarak alınmış görüntüler yardımıyla oluşturdukları dijital yüzey modeli (DYM) üzerinde süreksilik düzlemlerinin eğim ve eğim yönü değerleri ölçülmüş, bu değerler pusula aracılığıyla gerçekleştirilen ölçümlelerle karşılaştırılmıştır. DYM oluşturmak için kullanılan fotoğrafların bir kısmı yerden bir kısmı ise (40 adedi) helikopter ile havadan çekilmiştir. Yerinde pusula ile yapılan ölçümleerde 190 adet süreksilik yönelimi ölçülmüş olup, ölçümler mühendislik jeologlarının yönetimindeki profesyonel tırmanıcılar tarafından gerçekleştirilmiştir. Yerden ve havadan bindirmeli olarak elde edilen görüntüler üzerinde SfM fotogrametrisi kullanılarak DYM oluşturulmuştur. Jeoreferanslama işlemi için şev yüzeyinden reflektörsüz teodolit ile belirlenen yer kontrol noktaları (YKN) kullanılmıştır. Oluşturulan DYM üzerinde RANSAC (random sample consensus) algoritması kullanılarak süreksilik düzlemleri tespit edilmiş ve bu düzlemlerin eğim ve eğim yönü

değerleri ölçülmüştür. Çalışma sonucunda DYM üzerinden ölçülen eğim-eğim yönü değerlerinin pusula ölçümleriyle kıyaslandığında başarılı sonuçlar sunduğu verdiği ifade edilmiştir.

Firpo ve ark. (2011) Carrara Mermer Ocağı'nda (İtalya) yaptıkları çalışmada fotogrametrik yöntemler kullanarak süreksızlıklarını tespit ederek devamlılık, yönelim ve aralık değerlerini ölçmüştür. Süreksızlıklar ayrık elemanlar yöntemi kullanan 3DEC yazılımıyla modellenerek, şev stabilitesi analizleri gerçekleştirılmıştır. Fotogrametrik yöntemlerde kullanılan fotoğrafların bir kısmı zeminden bir kısmı ise aerostatik balonlar yardımıyla havadan çekilmiştir. Bunun birlikte dış yöneltmede kullanılmak üzere şev yüzeyinde YKN'ler belirlenmiş ve bu YKN'lere ait koordinatlar reflektörsüz total station yardımıyla okunmuştur. Elde edilen görüntüler üzerinde yapılan dış yöneltme sonucunda kök ortalama kare hata (RMSE) yaklaşık 5 cm olarak hesaplanmıştır. Devamında Erdas Imagine yazılımının Stereo Analyst modülü kullanılarak stereoskopik model ve SYM oluşturulmuş, SYM modeli üzerinden süreksızlık yönelimleri ölçülmüştür. Bu ölçütler ArcGIS yazılımının Aspect ve Slope araçları kullanılarak en küçük kareler pencere eşlemesi [least squares window matching, (Ackermann, 1984)] tekniğiyle ölçülmüştür. Toplamda bütün şev yüzeyinde 635 adet süreksızlık yönelimi ölçülmüş olup, bunlardan 193 tanesinin bulunduğu topuk bölgesinde pusula ile yerinde ölçüm de alınmıştır. Topuk bölgesindeki bu yönelim ölçütleri karşılaştırıldığında SYM üzerinden gerçekleştirilen ölçütler ile pusula ile yerinde gerçekleştirilen yönelim ölçütlerine ait stereografik projeksiyonların uyumlu olduğu tespit edilmiştir. Öte yandan topuk bölgesindeki 193 adet süreksızlık yönelimine ait stereografik projeksiyonların, SYM üzerinden şev yüzeyinin tamamını temsil edecek şekilde ölçülen yönelimlere ait stereografik projeksiyonlar ile de uyumlu olduğu tespit edilmiştir. Buradan hareketle topuk bölgesindeki hakim süreksızlık setlerinin yönelim itibarıyle bütün şev yüzeyindeki süreksızlıkları temsil edebildiği ifade edilmiştir. Bununla birlikte SYM üzerinden ölçülen süreksızlık devamlılık değerleri topuk bölgesinde yerinde ölçülen devamlılık değerlerinden fazla; aralık değerleri ise fazladır. Bu durumun SYM'nin yalnızca topuk bölgesi değil bütün şev yüzeyini, bir diğer deyişle farklı tektonik rejimlere maruz kalan bölgeleri de temsil etmesinden kaynaklandığı ifade

edilmiştir. Çalışmanın son aşamasında ise geometrik özelliklerini tespit edilen süreksizlikler 3DEC yazılımında şev ile birlikte modellenmiş ve şevin nümerik olarak daha hassas şekilde temsil edilmesine imkan tanımlıktır.

Cawood ve ark. (2017) yaptıkları çalışmada tabaka yönelimlerinin tespit edilmesinde kullanılan bazı yöntemleri karşılaştırmışlardır. Bunlar; yersel lazer tarayıcı (lidar), yersel fotogrametri, insansız hava aracı (İHA) bazlı fotogrametri, brunton pusulası ile yerinde ölçüm ve Clino isimli akıllı telefon aplikasyonu ile yerinde yapılan ölçüm yöntemleridir. Çalışma Pembrokeshire'da (Galler) bulunan bir senkinal üzerinde gerçekleştirılmıştır. Yerinde yapılan ölçümlerde öncelikli olarak brunton pusulası ile süreksizlik yönelimleri ölçülecek, bu değerler diğer yöntemlerle yapılacak karşılaşılmalıdır baz olarak kullanılmıştır. Bu kapsamda 8 saatte 425 adet süreksizlik yönelimi ölçülmüştür. Akıllı telefon aplikasyonu Clino ile yapılan ölçümler ise 3 saat sürmüştür, 625 adet süreksizliğin yönelim değerleri ölçülmüştür. Uzaktan alınan ölçümlerde ise; karasal Lidar ile kaya kütlesinden ortalama 150 m uzaklıkta 5 saatte 10 adet tarama gerçekleştirilmiştir. Alınan ölçümlerden nokta bulutu verisinin üretilmesi yaklaşık olarak 35 saat sürmüştür. Yersel fotogrametri ölçümleri için 1 saat 30 dakikada 27 farklı kamera pozisyonundan toplamda 724 adet fotoğraf çekilmiş, bu fotoğraflardan nokta bulutu verisinin üretilmesi için 8 saatlik bir çalışma yapılmıştır. İHA bazlı fotogrametri ölçümleri için yarı saatlik uçuş ile toplamda 202 adet fotoğraf çekilerek, 8 saatlik bir veri işleme sürecinin ardından nokta bulutu verisi oluşturulmuştur. İHA bazlı ve yersel fotogrametri ölçümlerinden nokta bulutu verisinin üretilmesi için SfM fotogrametrisi kullanılmıştır. Jeoreferanslama işlemi yersel lidar ve İHA için yerleşik GPS sistemi ile, yersel fotogrametri için 6 adet YKN kullanılarak gerçekleştirilmiştir. Çalışmanın son adımında fotogrametrik yöntemlerle senkinalde ait olarak elde edilen nokta bulutu verileri üzerinden ölçülen tabaka yönelimleri ve akıllı telefon aplikasyonu Clino ile yapılan ölçümler, brunton pusulası ile ölçülen yönelim değerleriyle karşılaştırılmıştır. Bu karşılaştırma için 6 farklı tabaka düzlemi belirlenmiştir. Yerinde yapılan iki yöntem, Clino aplikasyonu ve brunton pusulası ile yapılan ölçümler karşılaştırıldığında $3^\circ - 7^\circ$ sapma tespit edilmiştir. Uzaktan ve yerinde yapılan yöntemler karşılaştırıldığında, yersel lidar ile oluşturulan nokta bulutu verileri

üzerinden ölçülen yönelimlerin en yüksek hassasiyete sahip olduğu tespit edilmiştir. Yersel lidar ile oluşturulan nokta bulutu verileri üzerinden 6 kontrol tabakası için ölçülen yönelimlerin brunton pusulası ile ölçülen yönelim değerlerinden $2^\circ - 5^\circ$ farklılık gösterdiği tespit edilmiştir. Yersel fotogrametriye gelindiğinde, 6 kontrol tabakasından 3 adedi için ölçülen yönelimler brunton pusulası ile ölçülen yönelim değerlerinden $4^\circ - 5^\circ$ farklılık gösterirken, diğer 3 tabaka için bu farklılıklar 70° ye kadar ulaşmaktadır. İHA bazlı fotogrametri ile oluşturulan nokta bulutu verileri üzerinden ölçülen yönelimler ise 5 adet kontrol tabakası için brunton pusulası ile ölçülen yönelim değerlerinden $3^\circ - 9^\circ$ farklılık göstermiş, yalnızca 1 tabaka için bu değer 42° olarak ölçülmüştür.

Öztürk ve ark. (2019) yaptıkları çalışmada Kapadokya İhlara Vadisi'nde bulunan sütunsal ignimbiritlere ait süreksızlık yönelimlerini akıllı telefon aracılığıyla çekilen fotoğraflar ile fotogrametrik yöntemler kullanarak belirlemiş, sonrasında devrilme riskini kinematik olarak incelemiştir. Çalışmanın saha incelemesi safhasında yarı saatlik bir süre zarfında toplamda 677 adet fotoğraf çekilmiş veri işleme sürecinde bu fotoğraflardan 55 adedinin kullanılmasına karar verilmiştir. Öte yandan çalışma için YKN üretmek amacıyla 2015 yılında gerçekleştirilen bir hava fotogrametrisi uçuşu esnasında büyük formatlı kamera ile çekilmiş, 30 cm yersel çözünürlüklü %60 bindirmeli stereo görüntü çiftinden yararlanılmıştır. Dış yöneltmede kullanılmak üzere, hem hava fotoğraflarında hem de akıllı telefon görüntülerinde bulunacak şekilde belirlenen 5 adet nokta (bitki, kaya yüzeylerinin köşeleri vb.) YKN olarak seçilmiştir. Nihai olarak 2 m mutlak hassasiyetle oluşturulan yoğun nokta bulutu üzerinde Cloud Compare yazılımı kullanılarak 4 farklı sektörde 4 adet süreksızlık seti belirlenmiştir. Süreksızlık setleri belirlenirken aynı zamanda, vadideki şev yönelimlerini temsil edecek şekilde ayrılmış 4 farklı segmente göre sınıflandırılmıştır. Çalışmanın son adımında her bir şev segmenti ve o segment için sınıflandırılan süreksızlık setleri kullanılarak kinematik analizler yapılmış, devrilme tipi yenilme riski taşıyan süreksızlık setleri belirlenmiştir. Çalışma, erişimi zor bir kaya kütlesinde yer alan süreksızlık yönelimlerinin tespit edilmesi adına son derece pratik ve düşük maliyetli bir çözüm sunmaktadır.

3. HAREKETTEN NESNE OLUŞTURMA FOTOGRAMETRİSİ

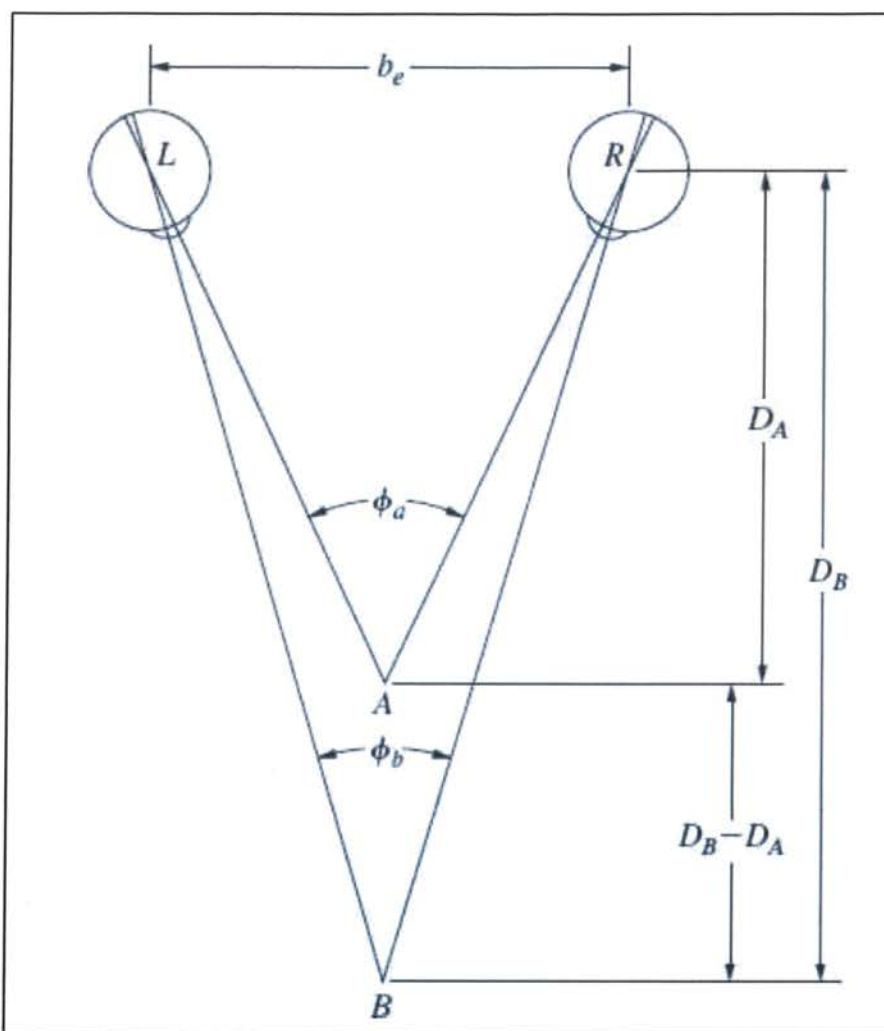
(Structure from Motion)

Fotogrametri genel anlamıyla, fotoğraflardan mekânsal ölçümler ve geometrik olarak güvenilir ürünlerin elde edildiği bir bilim ve teknolojidir (Lillesand ve ark., 2015). Perspektif geometrinin kullanımı İtalyan rönesansına ((Brunelleschi (1420), Piero della Francesca (1470), Leonardo da Vinci (1481) ve Dürer (1525)) dayansa da, pratik bir araç haline gelmesi fotoğrafın icadı ile birlikte gerçekleşmiştir (Konecny, 2019). 1830 ve 1840'lı yıllarda Fox Talbot'un İngiltere'de, Niépce ve Daguerre'ün Fransa'da yapmış oldukları fotoğraf buluşlarından yalnızca birkaç yıl sonra 1849'da, askeri topoğraf Aimé Laussedat Hotel des Invalides'e ait cephe görüntüleri üzerinde bazı perspektif ölçümler almayı başarmıştır (Luhmann ve ark., 2014). Fotogrametrinin esas amacı 2 boyutlu fotoğraflar üzerinden 3 boyutlu nesne ve arazi unsurlarının hassas şekilde ölçülmesidir (Aber ve ark., 2019). Bu amaç doğrultusunda fotogrametri bazı gelişim evreleri geçirmiştir. Fotoğraflar üzerindeki ölçümlerin tamamen optik-mekanik araçlar ile gerçekleştirildiği analog fotogrametri evresini, ölçümlerin bilgisayar bazlı sayısal analizlerle gerçekleştirildiği analitik fotogrametri evresi takip etmiştir. Gelişimin son aşaması ise dijital fotogrametridir. Dijital fotogrametride kamera odak düzlemine düşen ışık, görüntü olarak kaydedilirken ışığa duyarlı filmler değil elektronik detektörler kullanılmaktadır (Kraus, 2011). Bir diğer deyişle dijital fotogrametride ölçüm için kullanılan görüntüler tamamen dijital (softcopy) olarak elde edilmektedir.



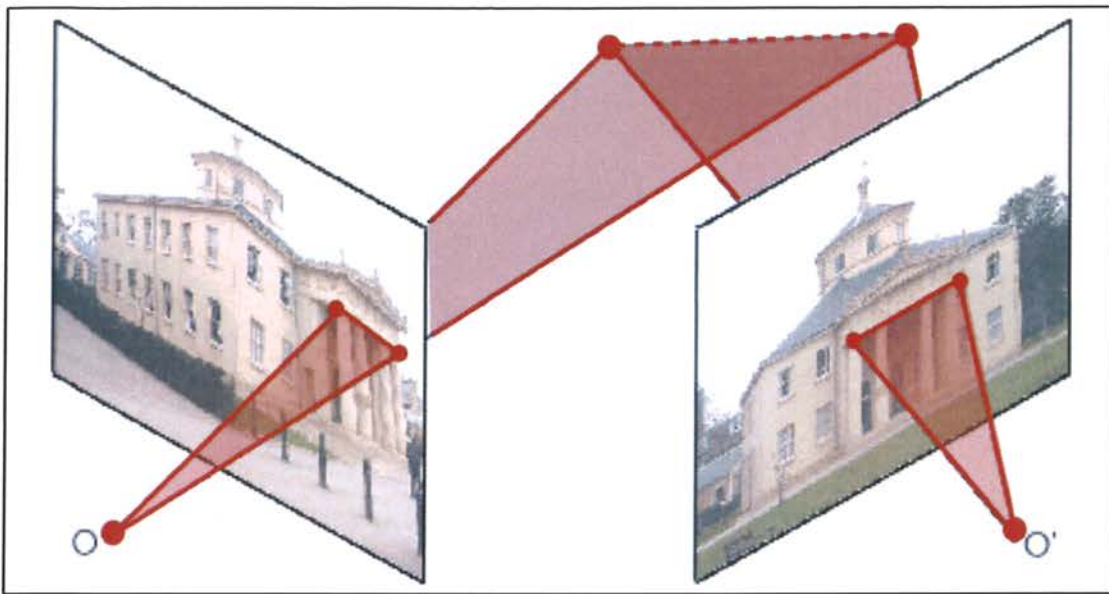
Şekil 3.1. Albrecht Dürer'in perspektif makinesinin kullanımını resmettiği "Man drawing a lute" tablosu (1525).

Fotogrametri yöntemleri ile yapılan ölçümler bazı temellere dayanmaktadır. Tek bir görüntü (2 boyutlu bir düzlem) üzerinde yapılan ölçümlerden yalnızca 2 boyutlu koordinatlar elde edilebilir (Linder, 2009). Bu nedenle bir nesne ya da araziye ait 3 boyutlu koordinatlar elde etmek isteniyorsa ölçüği, konumu, çözünürlüğü ne olursa olsun tek bir görüntü yeterli olmayacağından emin olmak gereklidir. Fotogrametride 3 boyutlu ölçümlerin yapılmamasına olanak sağlayan prensip insanların görme prensibi ile aynıdır. Gözlerimizin farklı bakış açılarından sağladığı bindirmeli görüntüler sayesinde çevremizi 3 boyutlu görme yetisine bir diğer deyişle derinlik algısına sahibizdir (Aber ve ark., 2019). Her iki gözün aynı anda görebilme yetisi ile sağlanan "stereokospik" görüş sayesinde Φ_a açısının Φ_b açısından daha büyük olduğunu algılayabilen insan beyni, A noktasının B noktasından daha yakın olduğunu da (derinlik algısını) otomatik olarak tespit edebilmektedir (Şekil 3.2.).



Şekil 3.2. İnsan gözü ve stereoskopik derinlik algısı (Wolf ve ark., 2013).

Stereokospik görüşün fotogrammetrideki uygulaması bindirmeli fotoğraflar ile gerçekleştirilmektedir. Bunun sebebi fotoğraf üzerindeki bir noktanın konumunun tespit edilebilmesi için vektörel olarak tek bir ışık ışınının yeterli olmaması, 2 ya da daha fazla kesişen ışık ışınına ihtiyaç duyulmasıdır. Özette, bindirmeli iki (ya da daha fazla) görüntüye sahip olunduğunda, her iki görüntüde de bulunan bir noktanın 3 boyuttaki koordinatları hesaplanabilmektedir (Linder, 2009). Bu hesaplamaya imkan sağlayan görüntüler stereo görüntü, bu görüntülerle oluşturulan model stereo model olarak tanımlanmaktadır (Şekil 3.3.)



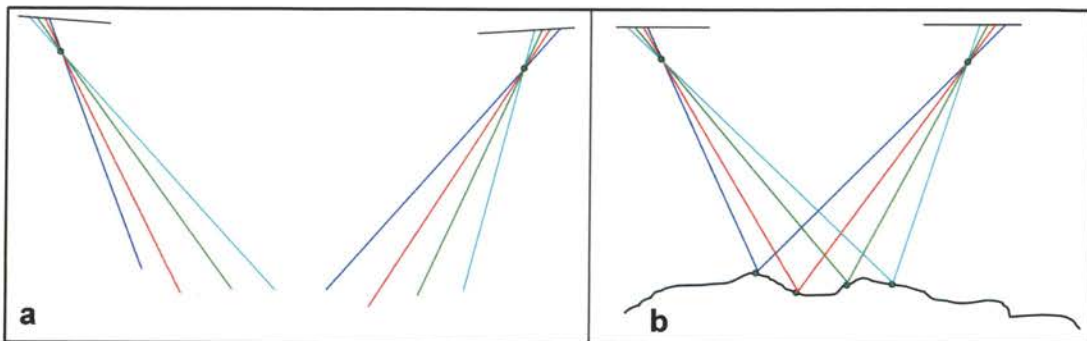
Şekil 3.3. Stereo görüntü çifti (Stachniss, 2020).

Bir stereo modelin elde edilmesi için görüntüler üzerinde yöneltme adımlarının uygulanarak bazı özel koşulların oluşturulması gerekmektedir. Yöneltme, görüntülerin çekim anındaki konum ve dönüklüklerinin yeniden elde edilmesi işlemi olarak özetlenebilir. İç ve dış yöneltme olarak iki ana adımda gerçekleştirilmektedir.

İç yöneltme, kamera içindeki 3B uzayın parametrelerinin elde edilmesi için gerçekleştirilir ve en temel olarak görüntü asal noktası koordinatları, odak uzaklığı ve distorsiyon parametrelerinin elde edilmesini sağlayan kamera kalibrasyon prosedürü ile gerçekleştirilir. İç yöneltme parametreleri yaygın kullanıcı sınıfı kameralarda sürekli değişkenlik gösterdiğinden (kalibrasyon kaybı) fotogrametrik ölçüm öncesi muhakkak tespit edilmelidir. Bu açıdan bakıldığından, özel olan metrik kameralarda iç yöneltme parametrelerinin kısa vadede sabit olduğu ve değişimeyeceği kabul edilebilir.

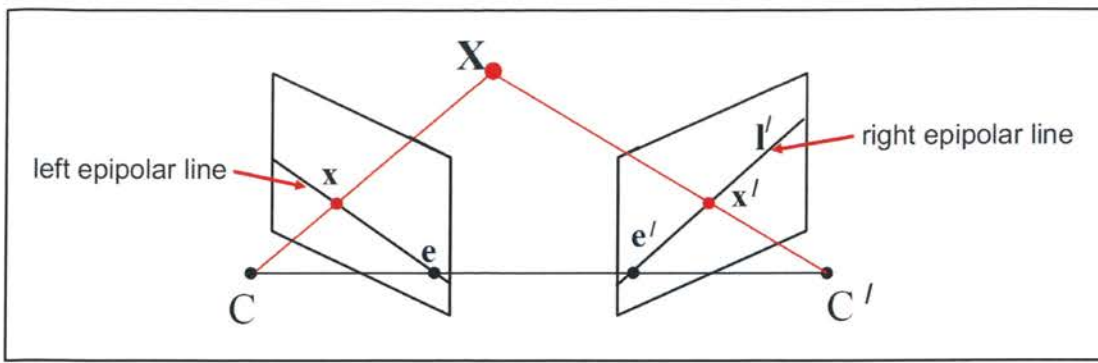
Dış yöneltme, görüntüye ait ışın demetlerinin arazi koordinatları ile ilişkilendirilmesidir (Şekil 3.4.). Bir görüntünün dış yöneltme parametreleri görüntü merkezine ait 3 adet öteleme (X_o, Y_o, Z_o), 3 adet dönüklük (ω, ϕ, κ) olmak kaydıyla

6 parametreden oluşmaktadır. Yani bir stereo görüntü çifti için toplam 12 adet dış yöneltme parametresi (X_{ol} , Y_{ol} , Z_{ol} , ω_l , ϕ_l , κ_l , X_{or} , Y_{or} , Z_{or} , ω_r , ϕ_r , κ_r) bulunmaktadır. Stereo görüntü yöneltmesi karşılıklı ve mutlak yöneltme olarak iki adımdan oluşur. Bu parametrelerden 5 tanesi karşılıklı yöneltme ile, 7 tanesi de mutlak yöneltme ile çözümlenir. Ölçek (λ) parametresi mutlak yöneltmede çözümlenmektedir.

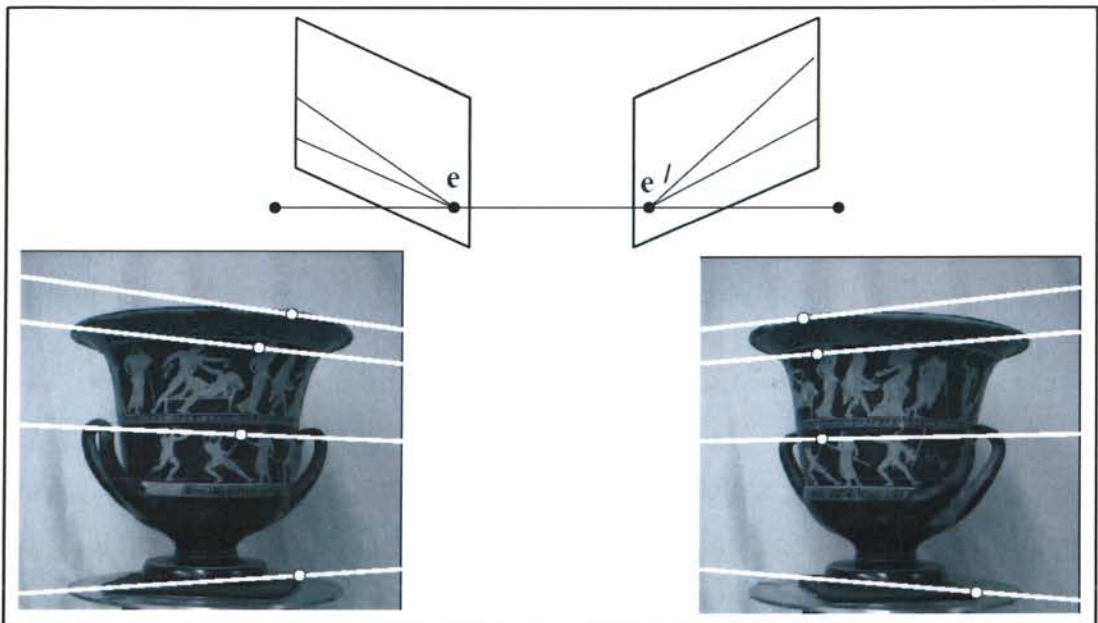


Şekil 3.4. (a) Dış yöneltme öncesi işin demetleri (b) Dış yöneltme sonrası işin demetleri (Habib, 2016).

Karşılıklı yöneltme, bir stereo görüntü çiftini birbirleri ile ilişkili olacak şekilde konumlandırarak bu görüntü çiftinde bulunan işin demetlerinin bir düzlemde kesiştirilmesidir. Karşılıklı yöneltme sonucunda 5 adet eşlenik işin demeti kesiştirilerek κ_l , κ_r , ϕ_l , ϕ_r ve ω_l parametreleri çözümlenir ve y paralaksi ortadan kaldırılır. Stereo görüntü çifti üzerindeki geri kalan eşlenik işin demetlerinin tamamının kesiştirilmesi için bu 5 adet eşlenik işin demetinin kesiştirilmesi yeterlidir. Eşlenik işin demetleri aynı düzlemdede yani düzlemeş (coplanar) olmak koşuluyla kesişebilirler. Bu koşulların sağlandığı matematik model düzlemeşlik (coplanarity) olarak adlandırılır. Düzlemeşlik modelinde bir stereo görüntü çiftine ait kamera izdüşüm merkezi noktaları, görüntü noktaları ve nesne noktası aynı düzlemdede bulunurlar. Bu düzleme epipolar düzlem adı verilir (Şekil 3.5, Şekil 3.6). Bezner şekilde, kamera izdüşüm merkezi görüntü ve nesne noktasının aynı doğrultu üzerinde olması kolinearite olarak adlandırılmaktadır. Kolinearite koşullarını matematiksel olarak ifade eden denklemler fotogrametrik hesaplamalarda çokça kullanılmaktadır.

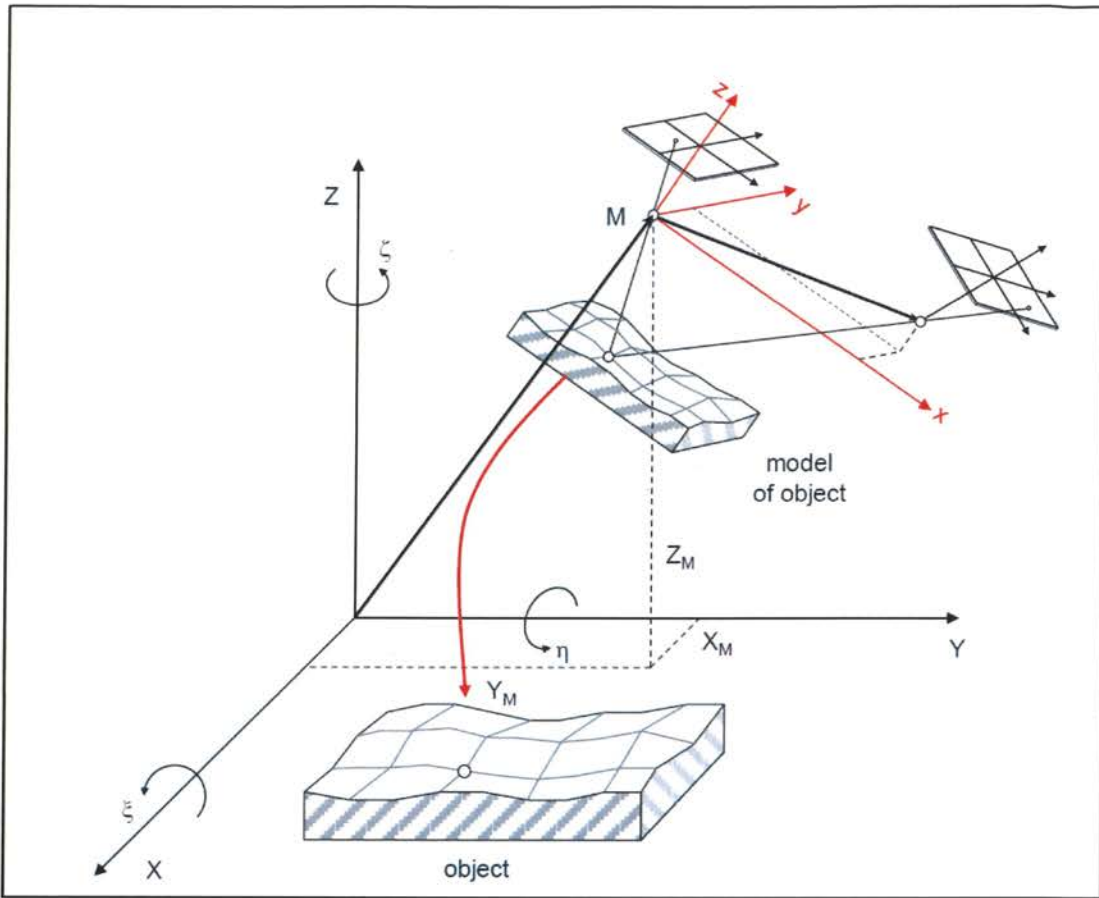


Şekil 3.5. Epipolar geometri gösterimsel çizim (Szeliski, 2010).



Şekil 3.6. Epipolar geometri gösterimsel çizim ve stereo görüntü çifti (Hartley ve Zisserman, 2011'den değiştirilerek).

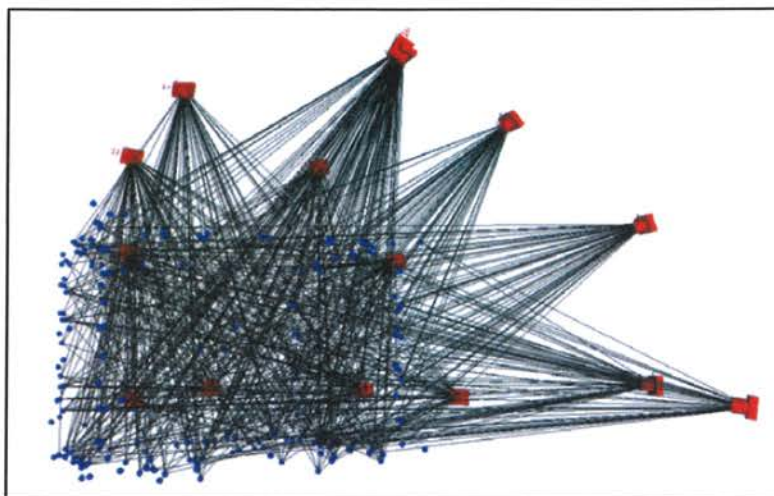
Dış yöneltmenin ikinci adımı olan mutlak yöneltmede, karşılıklı yöneltme ile oluşturulan lokal koordinat sistemindeki model, 3 adet ötelenme (X_0, Y_0, Z_0), 3 adet dönüklük (ω, ϕ, κ) ve 1 adet ölçek (λ) olmak üzere toplam 7 parametrenin çözümlenmesi sonucunda arazi ile ilişkilendirilir (Şekil 3.7).



Şekil 3.7. Mutlak yöneltme (Luhmann ve ark., 2014).

Yukarıda belirtildiği şekilde, dış yöneltme yapılırken yalnızca bir stereo fotoğraf çifti için 12 adet dış yöneltme parametresi çözümlemektedir, daha fazla sayıda fotoğrafın kullanıldığı stereo modellerde çözümlenecek parametre sayısı da artmaktadır. Onlarca hatta yüzlerce fotoğrafın birlikte kullanıldığı stereo modellerde bu parametrelerin çözümlenmesi oldukça zorlu olacağinden, bu durumun üstesinden gelebilmek için bazı yöntemler geliştirilmiştir. Bu yöntemler arasında sıkılıkla başvurulanlardan bir tanesi de işin demetleriyle blok dengelemedir (bundle block adjustment). İşin demetleriyle blok dengeleme, iç ve dış yöneltme parametreleri ile görüntü noktalarının istatistiksel bir yaklaşımıyla optimum olarak hesaplanması olanak sağlayan bir yöntemdir (Förstner ve Wrobel, 2016). Yöntem, görüntü üzerindeki bütün noktaların kamera izdüşüm merkezinde toplanan uzaysal bir işin desteti oluşturduğu ve çok sayıda bindirmeli görüntüye ait bu işin destelerinin (Şekil 3.8) hep birlikte bir blok şeklinde

dengelenebileceği temeline dayanmaktadır. Bu nedenle de işin demetleriyle blok dengeleme olarak isimlendirilmektedir.



Şekil 3.8. Çoklu görüntülere ait işin desteleri (Luhmann ve ark., 2014).

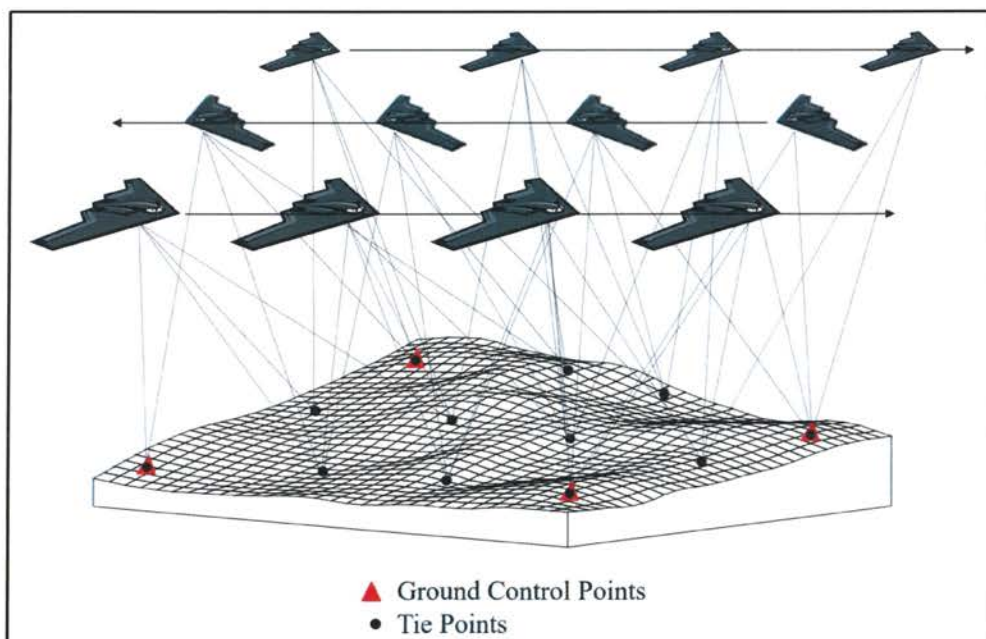
İşin demetleriyle blok dengeleme yönteminde bütün görüntülerin tek bir blok olarak dengelenmesi sebebiyle yüzlerce görüntü söz konusu olsa da, çok az sayıda YKN yeterli olabilmektedir (Şekil 3.8). Dengeleme sırasında bağlama noktaları (tie points) ve YKN'lere ait işinlar, arazi ve görüntü üzerinde kolinearite koşulları kullanılarak eş zamanlı olarak kesitirilmektedir. Dengelemenin gerçekleşmesi için modele ait bilinen ve bilinmeyen parametrelerin matematiksel ilişkisi doğrussallaştırılarak en küçük kareler yöntemi uygulanır. Bindirmeli fotoğraflardan oluşturulmuş bir modele ait bilinmeyen parametreler; her fotoğrafa ait 6 adet dış yöneltme parametresi ile bağlama noktalarının nesne uzayındaki coğrafi koordinatlarıdır. Bilinen parametreler ise bağlama noktalarının resim koordinatları ile YKN'lerin bir referans koordinat sisteminde tanımlanan nesne uzayındaki coğrafi 3B koordinatlarıdır. Buradan hareketle bilinen ve bilinmeyen sayısı aşağıdaki şekilde formüleştirilebilir.

$$\text{Bilinmeyen parametre sayısı: } 6n_r + 3n$$

$$\text{Bilinen parametre sayısı: } 3k + (2 \times n_i)$$

k : YKN sayısı n : Toplam nokta sayısı n_i : Noktaların görüntü ölçümleri sayısı

Burada, her bir bağlama noktasının en az iki görüntüde ölçülmüş olması koşulu vardır. İşin demetleriyle blok dengelemesinin matematiksel olarak gerçekleştirilebilmesi için, en küçük karelerle kestirim yönteminin de ön koşulu olan, bilinen parametre sayısının bilinmeyen parametre sayılarından fazla olması gerekmektedir (serbestlik derecesi ≥ 0). Bu sebeple YKN ve resim bağlama noktalarının sayısı (bir diğer deyişle de bindirme oranı) matematiksel modelin kurulabilmesi ve model hassasiyeti için önem taşımaktadır. Diğer yandan, komşu görüntülerin bindirme oranı da model hassasiyeti açısından oldukça önemlidir. Ayrıca, işin demetleri ile dengeleme modeline kamera parametreleri de bilinmeyen olarak eklenebilir ve bu şekilde self-kalibrasyon yöntemi uygulanarak kamere iç yöneltme elemanlarının 3B nokta koordinatları ile eş zamanlı kestirilmesi sağlanabilir (Kocaman, 2008). İşin demetleriyle blok dengeleme aynı zamanda SfM fotogrametrisini oluşturan işlem basamaklarından biridir. Kamera dış yöneltme parametrelerinin pozisyon kestirimlerinin hassaslaştırılmasına iç yöneltme parametreleri ile birlikte kestirilmesine imkan vermesi sebebiyle SfM fotogrametrisinin hassas ve verimli kullanımına önemli katkı sağlamıştır (Zhang ve ark., 2006).

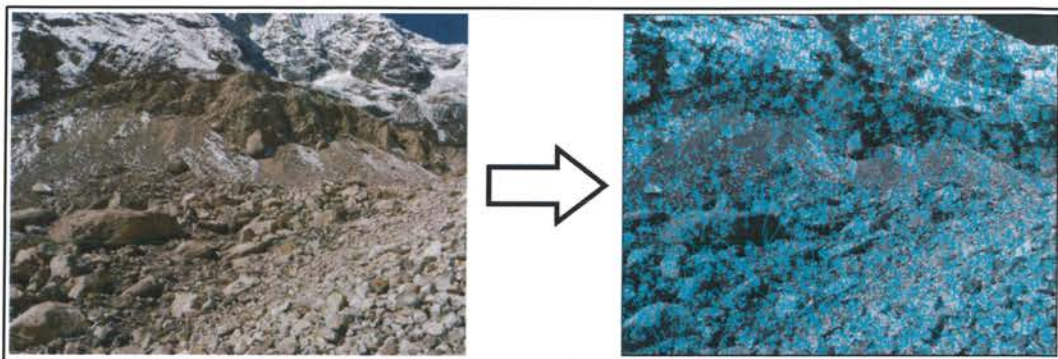


Şekil 3.9. YKN, bağlama noktaları ve işin desteleri (Habib, 2018).

1980'lerin sonu, bir dizi karşılıklı öznitelik benzerliği yardımıyla kamera konum ve yönelimlerini aynı anda çözümleyip 3 boyutlu model oluşturabilen hareketten nesne oluşturma SfM fotogrametrisinin gelişimine sahne oldu (Snavely ve ark., 2007). Son 10 yıl içerisinde SfM fotogrametrisi metrik hassasiyet kaygısı gütmeksiz sınırsız sayıda görüntünün otomatik modellenmesini mümkün kılmış sebebiyle, bilgisayarlı görüp (computer vision) alanında diğer yöntemlerden ayrı bir yere oturmuştur (Bemis ve ark., 2014). Yöntemde stereoskopik fotogrametri prensiplerinde olduğu gibi 3 boyutlu model, bindirmeli görüntü serilerinin çözümlenmesi ile elde edilir. Tipik bir SfM fotogrametrisi akışında ilk adım görüntülerde yer alan ayırt edici anahtar noktaların (keypoint) tespit edilmesi ve eşlenmesidir. En az iki görüntüde ölçülen anahtar noktaları işin demeti dengelemesinde bağlama noktası olarak kullanılmaktadır. Sonrasında kullanılan blok dengeleme algoritmaları, anahtar noktalarının 3 boyuttaki konumları ile kamerasın konum/dönüklük ve iç yöneltme parametrelerini optimize ederek, 3 boyutlu modelin oluşturulmasına olanak sağlar (Favalli ve ark., 2011). Bu açıdan, self-kalibrasyon ile SfM fotogrametri yöntemleri benzeşmektedir. Temel fark, SfM yönteminde temel hedefin 3B nokta koordinatlarının doğruluğu iken self-kalibrasyon yönteminde kamera iç yöneltme parametrelerinin de doğru olarak kestirimini hedeflenmesidir.

Aayırt edici anahtar noktalarının otomatik tespiti ve ölçümlü için pek çok yöntem bulunmakla birlikte (Snavely ve ark., 2007), görüntü ölçek, dönüklük, perspektif ve ışık farklarına bağlı olarak SIFT [Scale Invariant Feature Transform (Lowe, 2004)] algoritması yaygın olarak kullanılmaktadır (Clayput ve ark., 2016). SIFT algoritması kullanılan tipik bir yakın çekim görüntüde binlerce anahtar nokta tespit edilebilir (Snavely ve ark., 2007). Bu kullanım, klasik dijital fotogrametride kullanılan alan tabanlı görüntü eşleştirme yöntemlerine kıyasla SfM fotogrametrisinin önemli avantajlarından biridir. Alan tabanlı yaklaşım, iki farklı görüntüye ait piksel parçalarının genellikle basit bir görüntü konvolüsyon operatörü ile hesaplanan çapraz korelasyonuna dayanır. Çapraz korelasyon yöntemi görüntü çözünürlük farklılarından fazlaıyla etkilenmektedir. SIFT ise, anahtar noktaları çok ölçekli parlaklık ve renk değişim gradyanlarını esas alarak tanımlamaktadır. Çoklu ölçek kullanımı ile SIFT, farklı çözünürlükteki

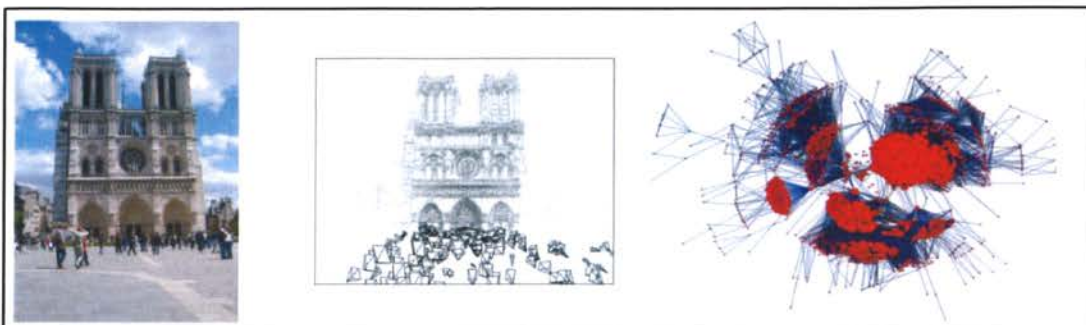
görüntülerdeki anahtar noktaların tespit edilme sorununu ortadan kaldırmaktadır. Dahası, mutlak piksel değerleri yerine renk değişim gradyanlarının kullanılması bir nesne ile arka planı arasındaki renk değişiminden faydalananarak o nesneyi birden fazla bakış açısından tanımlanabilir kılmaktadır (Fonstad ve ark., 2012). SIFT algoritması anahtar noktaların yoğunlaştığı lokal bölgeleri öznitelik vektörleri ile tanımlar (Şekil 3.10.) (Jiang ve ark., 2020). Sonraki adım farklı görüntülerde tespit edilen anahtar noktaların eşleştirilmesidir.



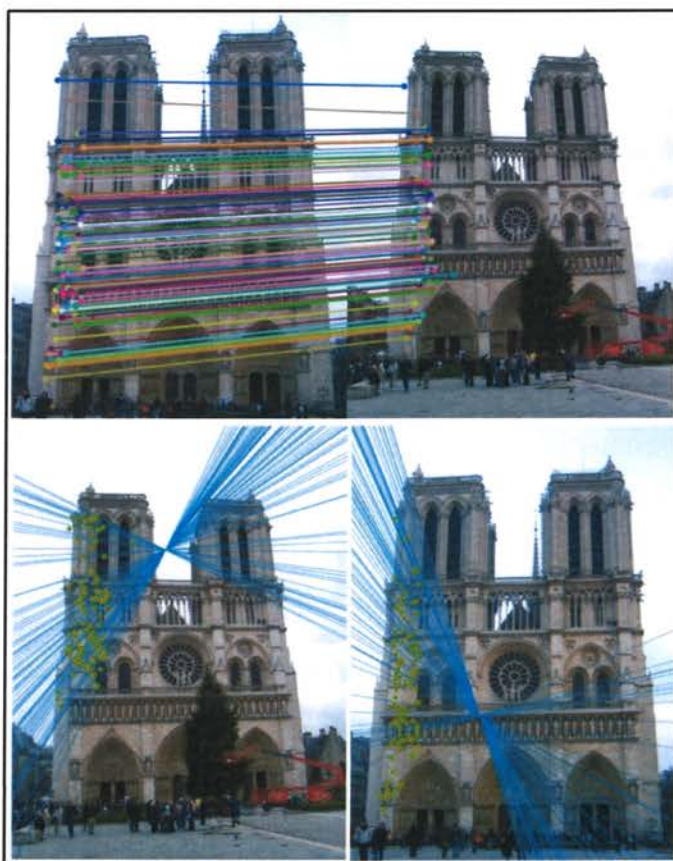
Şekil 3.10. SIFT algoritması verilen görüntüyü bir anahtar nokta veritabanı haline getirmektedir. Çizgiler anahtar nokta bulunduran alanların (pikseller) yarıçaplarını temsil etmektedir (Westoby ve ark., 2012'den değiştirilerek).

Anahtar noktalar belirlendikten sonra, farklı görüntülerdeki eş anahtar noktalarının belirlenmesi gerekmektedir. Herhangi bir görüntüde tespit edilen bir anahtar noktanın başka bir görüntüde eşleniği olmayabileceği için, eşleniği olmayan anahtar noktaların elenmesi gerekmektedir (Carrivick ve ark., 2016). Anahtar noktaların eşleştirilmesi iki öznitelik vektörü arasındaki en küçük öklid mesafesine sahip en yakın komşu problemi olarak ele alınır (Jiang ve ark., 2020). Görüntü çiftleri arasındaki anahtar noktalar eşleştirildikten sonra RANSAC (Fischler ve Bolles, 1981) algoritması kullanılarak bu görüntü çiftlerine ait temel matris kestirimi yapılır ve işlemin diğerin görüntü çiftlerine de uygulanması sonucunda bütün genel bağlantılışallık grafikleri elde edilir (Şekil 3.11.) (Snavely ve ark., 2007). Görüntü çiftleri arasındaki eşlemeler kendi içerisinde işin yoluna (track) ayrılırlar. Bir yolun oluşabilmesi için 3 görüntüde yer alan en az 2 anahtar nokta gereklidir. Oluşturulan bir yol, görüntüde yer alan aynı anahtar nokta ile iki

kez eşleştiriliyor ise geçersiz kabul edilir (Carrivick ve ark., 2016). Anahtar nokta eşleştirmeleri ve oluşturulan yollara bir örnek çalışma Şekil 3.12.'de verilmiştir.



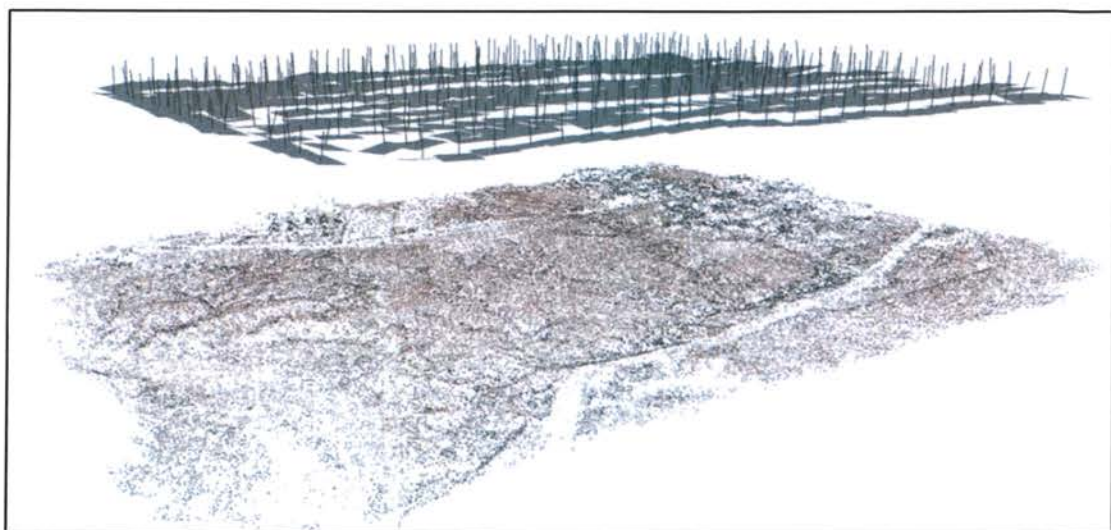
Şekil 3.11. Notre Dame'a ait görüntülerle oluşturulan bağlantısallık grafiği (Snavely ve ark., 2007'den değiştirilerek).



Şekil 3.12. Anahtar nokta eşleştirme (Habib, 2018'den değiştirilerek).

SfM fotogrametrisinde eşdoğrusallık denklemleri rastgele tanımlanmış bir koordinat sistemi üzerinde model uzayında çözümlenir. Buna ek olarak eşleştirilen çok sayıdaki anahtar nokta sayesinde kamera kalibrasyonlarının

yapılması da mümkün olabilmektedir (Fonstad ve ark., 2012). SfM fotogrametrisine ait gerçekleştirilen bu işlemler sonucunda elde edilen veriler; gelişigüzel bir koordinat sistemi üzerinde ölçeklendirilmiş seyrek nokta bulutu (sparse point cloud), görüntülerin model uzayı konumu ve dönüklükleri ve kameralara ait kalibrasyon parametreleridir (Şekil 3.13.).



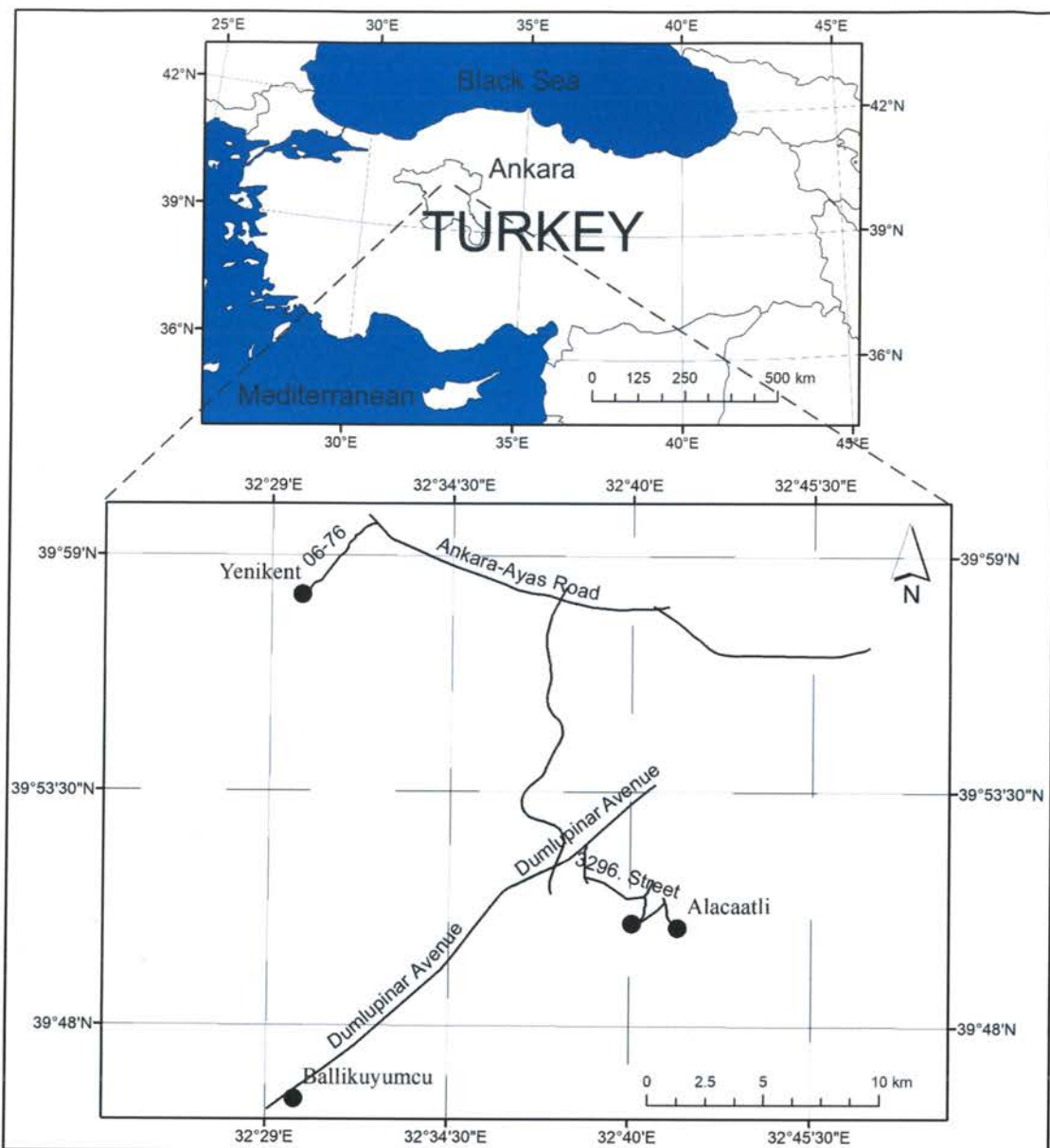
Şekil 3.13. 370 adet hava fotoğrafı ile oluşturulmuş gevşek nokta bulutu verisi ve bu fotoğraflara ait konumlar (Aber ve ark., 2019'dan değiştirilerek).

SfM fotogrametrisi adımları sonunda gelişigüzel bir koordinat sisteminde oluşturulan seyrek nokta bulutu verisine ilişkin mutlak yöneltme işlemi için minimum 3 adet 3B YKN gerekmektedir. Bu YKN'lerin her biri ile 3 adet öteleme (X_0 , Y_0 , Z_0), 3 adet dönüklük (ω , ϕ , κ) ve 1 adet ölçek (λ) olmak üzere toplam 7 parametre çözümlenerek, seyrek nokta bulutu verisi arazi ile ilişkilendirilir.

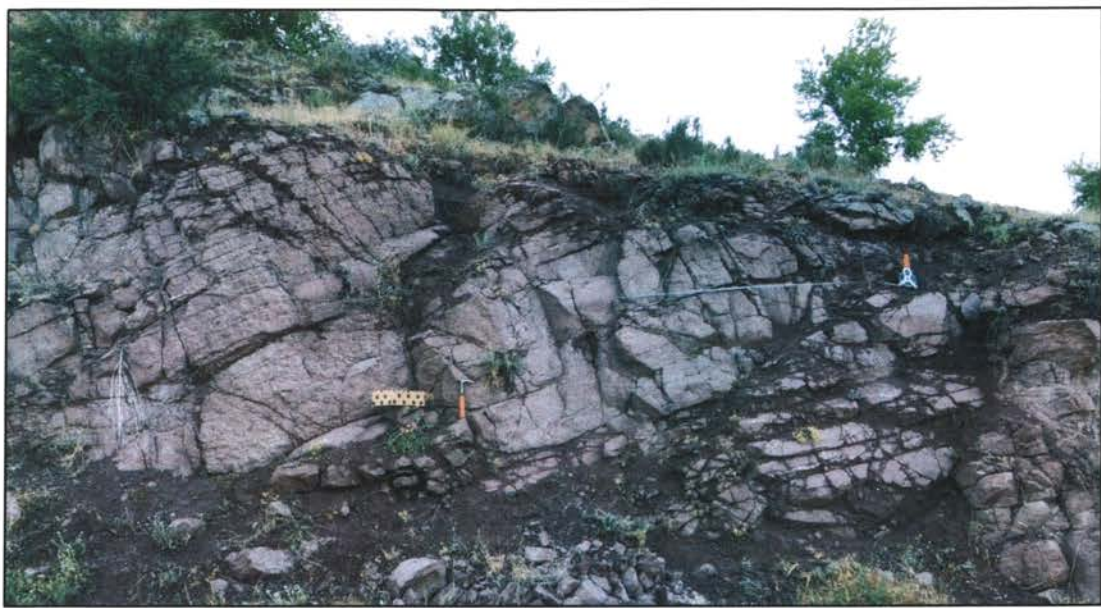
4. ARAZİ ÇALIŞMALARI

4.2. Çalışılan Sahaların Genel Özellikleri

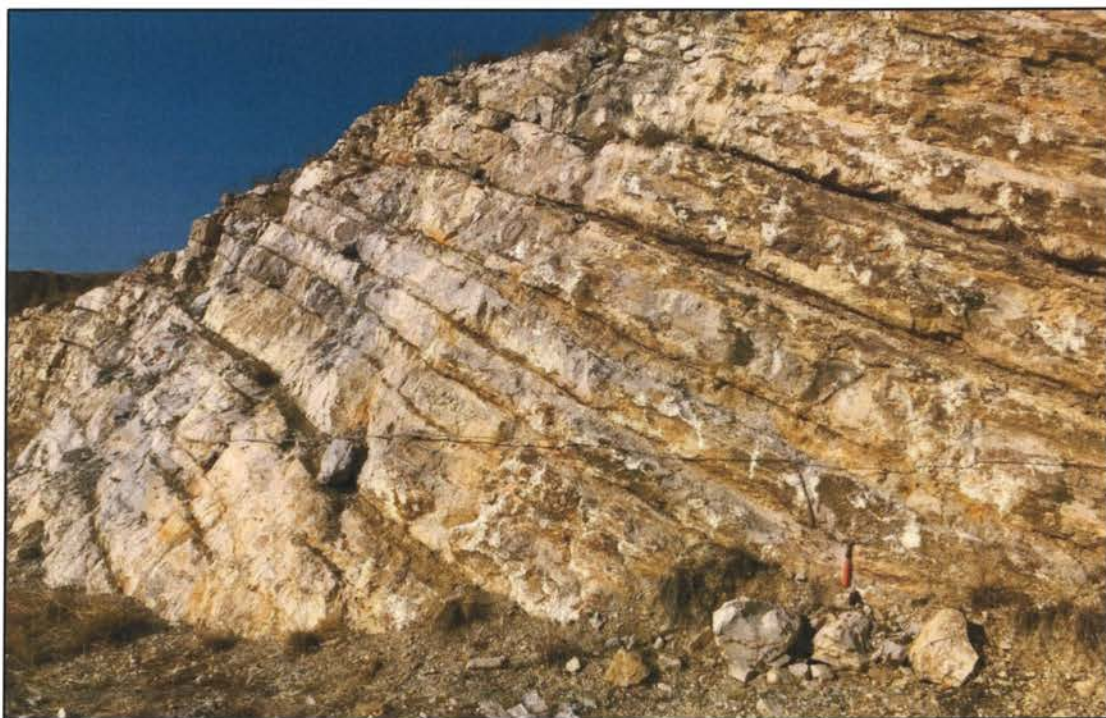
Saha çalışmaları Ankara İli içerisinde 3 farklı lokasyonda yapılmıştır (Şekil 4.1). Bu lokasyonlardan ilki şehir merkezinin yaklaşık 35 km batısında yer alan Yenikent Zir Vadisidir. Bölgede Tekke Volkanitleri olarak adlandırılan Üst Miyosen yaşlı andezit, tuf ve aglomeradan oluşan volkanik birimler gözlemlenmektedir (Akyürek ve ark., 1997; Seyitoğlu ve Büyükonal, 1995). Saha çalışmaları, eski bir taş ocağından yer alan 5 farklı andezit kaya kütlesi üzerinde gerçekleştirılmıştır (Şekil 4.2). Andezitler genel olarak kırmızımsı pembe renkte, soğuma çatlakları içeren ve eski taş ocağı olması sebebiyle yer yer örselenmiş yapıdadır. Saha çalışmalarının yapıldığı bir diğer lokasyon da şehir merkezinin yaklaşık 26 km güney batısında yer alan Alacaatlı mevkiidir. Bu lokasyondaki saha çalışmaları yol yaması olarak gözlemlenen 3 farklı kireçtaşı kaya kütlesi üzerinde gerçekleştirılmıştır (Şekil 4.3). Bu kireçtaşı küteleri Jura yaşlı Akbayır Formasyonu içerisinde yer almaktadır (Akyürek ve ark., 1997; Bilgutay, 1960). Genel olarak krem renkte olup, silis bantları ile çört yumruları içermektedirler. Tabakalı yapı içerisinde yer yer marn seviyeleri de gözlemlenmiştir. Saha çalışması yapılan son lokasyon şehir merkezinin yaklaşık 45 km güney batısında yer alan Ballıkuyumcu mevkiiindeki Kargabedir Tepesi'dir. Bu lokasyonda 2 farklı trakeandezit kaya kütlesi üzerinde hat etüdü çalışması yürütülmüştür (Şekil 4.4). Çalışmanın yapıldığı trakeandzitler Üst Miyosen yaşlı Tekke volkanitlerinin, magmatik diskordans ile dayk yaparak Kargabedir Tepesi'nde yüzeylenmesi sonucunda oluşmuştur (Akyürek ve ark., 1997; Varol ve ark., 2007). Genellikle koyu gri renkte gözlemlenmekte olup, sokulum sonucunda atmosfer ile temas ederek ani soğumaya maruz kalması sebebiyle çok sayıda soğuma çatlakları bulunmaktadır.



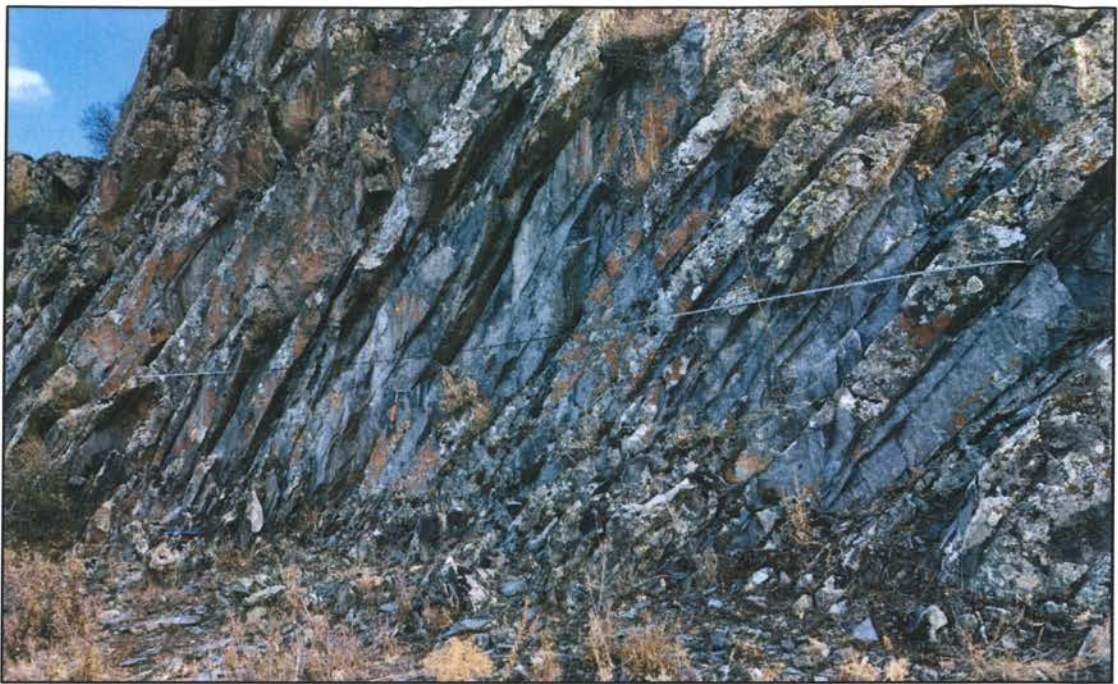
Şekil 4.1. Yer bulduru haritası.



Şekil 4.2. Çalışma yapılan andezit türü kaya kütlesi (Yenikent 5. Lokasyon).



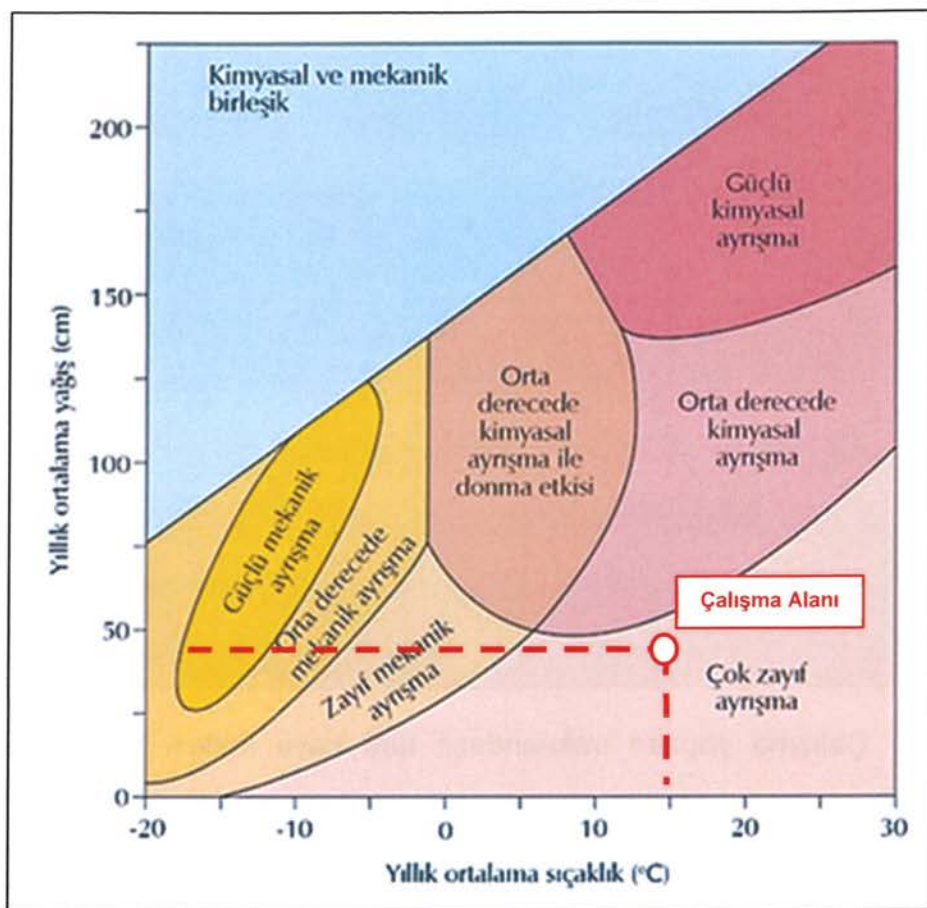
Şekil 4.3. Çalışma yapılan kireçtaşları türü kaya kütlesi (Alacaatlı 2. Lokasyon).



Şekil 4.4. Çalışma yapılan trakeandezit türü kaya kütlesi (Ballıkuyumcu 1. Lokasyon).

4.3. Meteorolojik Özellikler

Meteoroloji Genel Müdürlüğü uzun dönem verileri itibarıyle Ankara'nın yıllık ortalama sıcaklığı 11.9°C olup, aylık ortalama sıcaklıklar -3.3°C (Ocak) ile 30.4°C (Ağustos) arasında değişmektedir. Senelik yağışlı gün sayısı yaklaşık olarak 134 gün, ortalama yağış miktarı ise 393.2 mm'dir. Bu yağış ve sıcaklık verileri dikkate alındığında Çalışma yapılan kaya kütleleri için Peltier (1950)'ye göre çok zayıf kimyasal ve mekanik ayırtma beklenmektedir (Şekil 4.5).



Şekil 4.5. Kimyasal ve mekanik ayışma seviyeleri (İstanbul Üniversitesi Açık ve Uzaktan Eğitim Fakültesi Fiziki Coğrafya Ders Notları; Peltier 1950'den değiştirilerek).

4.4. Genel Jeoloji

Ankara ili içerisindeki havzalar Orta Anadolu havzaları olup, Kretase – Eosen döneminde Anatolitler’de yer alan Kırşehir Bloğu ve Sakarya Kıtası’nın birbirlerine yaklaştırmaları ile ortaya çıkmıştır (Şengör ve Yılmaz 1981; Görür ve ark., 1984). Bu bölge değişik jeolojik özelliklere sahip olan kayaçlardan meydana gelmektedir. Permiyen zamanında en yaşlı birimler karbonat platformu durumunda iken Permiyen sonu Triyas dönemi aralığında parçalanarak Karakaya Denizi’ne dönüşmüştür. Bu deniz uzun, derin olması ile birlikte kısa ömürlü ve dardır. Sakarya Kıtası’nın temeli, Triyas dönemi sonunda Karakaya Denizi’nin kapanması ve kalıntılarının metamorfizma geçirmesiyle meydana gelmiştir (Tüysüz ve Dellaloğlu, 1992). Araştırmacılar tarafından Karakaya Kompleksi

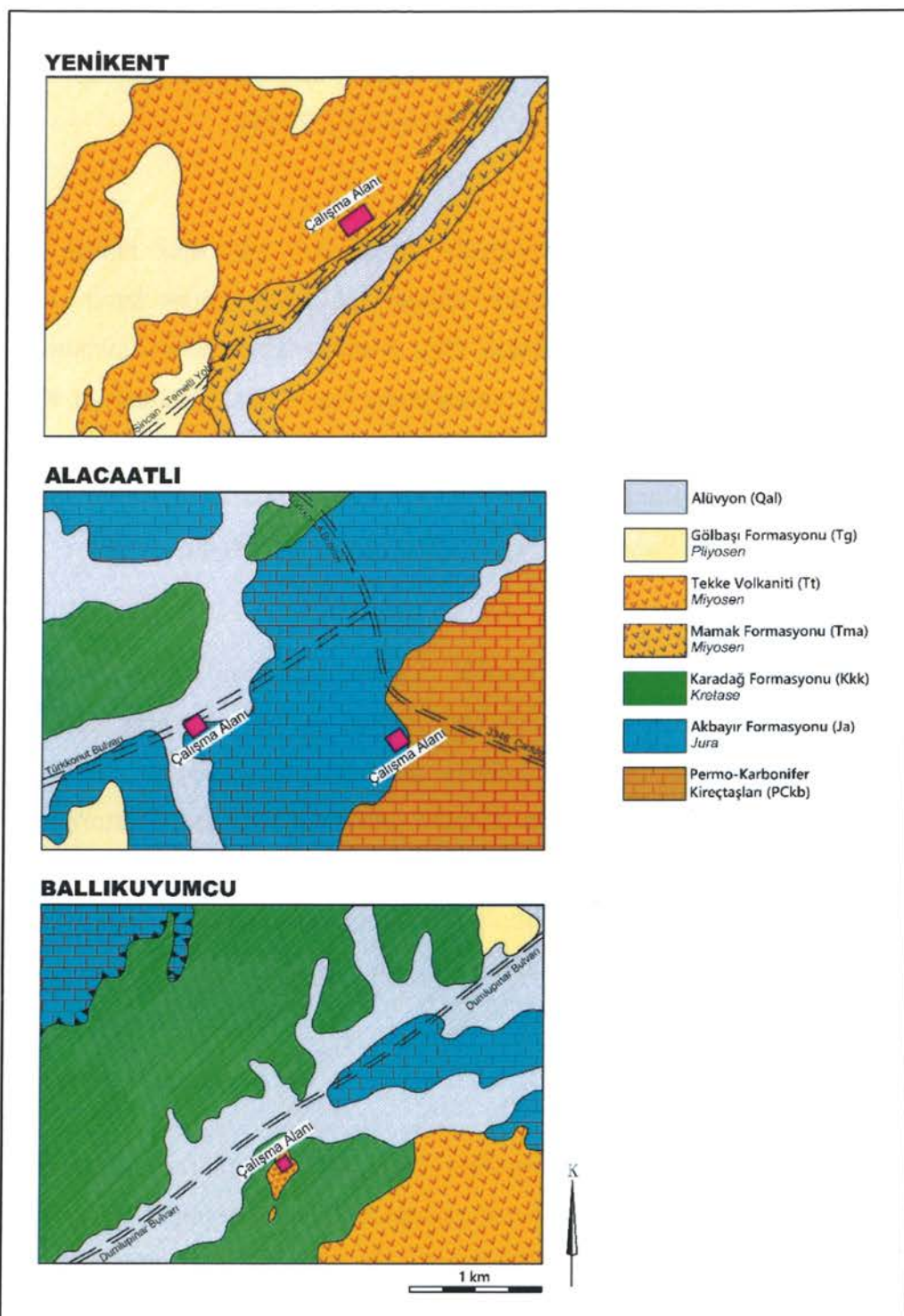
olarak adlandırılan bu temel şiddetlice deform olmuş ve Permiyen- Triyas yaşındaki kısmen metamorfizmaya uğramış klastikler ile birlikte volkanik istiflerden meydana gelmiştir (Okay ve Göncüoğlu, 2004).

Liyas – Üst Kretase döneminde bölgede genişlemeli rejim etkili olmuş, Kırşehir Bloğu ve Sakarya Kıtası arasındaki rıftleşmeye bağlı olarak İzmir – Ankara Okyanusu meydana gelmiştir. Bölge Geç Kretase zamanında sıkıştırmalı bir rejimin etkisinde kalmış ve bunun sonucunda Neo-Tetis' in Sakarya Kıtası ile Kırşehir Bloğu arasındaki kuzey kolu tüketilmeye başlamıştır (Şengör ve Yılmaz, 1981). Bu dönemde Karakaya Birliği'ne ait ana kayaların üzerinde gelişimine başlayan platform ise Sakarya Birliği'dir (Tüysüz ve Dellaloğlu, 1992).

Paleosen sırasında önemli bir granitik magma sokulumu meydana gelmiştir. Eosen boyunca karasallaşma harekete geçmiş ve hem karasal hem denizel kesimlerde kayaç oluşumları meydana gelmiştir. Oligosen'de ise evaporitik göllerde bulunan jipsler tarafından çökelim gerçekleştirilmiştir. Tektonik etkilerin önemli volkanizma hareketlerini tetiklemiş olduğu Miyosen sırasında, meydana gelen andezit, tuf ve aglomeralar geniş alanları doldurmuşlardır. Volkanik aktivite Pliyosen dönemi sonrasında durmuştur (Akyürek ve ark., 1997).

4.4.1. Stratigrafi

Çalışma sahaları ve yakın civarındaki stratigrafik birimlerin araştırılmasında Akyürek ve ark. (1997) tarafından hazırlanan 1/100.000 ölçekli MTA I29 Ankara paftası jeoloji haritasından faydalanyılmıştır. Bu çalışma doğrultusunda çalışma sahaları ve yakın çevresindeki jeolojik birimleri gösterir harita Şekil 4.7'da sunulmuş olup, birimlere ait stratigrafik açıklamalar aşağıda verilmiştir.



Şekil 4.6. Çalışma alanları ve çevresini gösteren jeoloji haritası (Akyürek ve ark., 1997'den değiştirilerek).

4.4.1.1. Permo-Karbonifer Yaşlı Kireçtaşı (PCkb)

Ankara Grubu'nu oluşturan formasyonlardan biri olan Elmadağ Formasyonu, içerisindeki fosil mevcudiyetine istinaden ayrı edilebilmiş kireçtaşı blokları olarak tanımlanabilir. Mostra verdiği muhtelif kısımlarda Karbonifer ve Permiyen yaşlarının her ikisini de yansitan fosil birikimleri bulunmuş olup gri, beyaz, bej ve krem renkli, yer yer kristalize ve çatlaklı bir görünüm sunmaktadır (Akyürek ve ark., 1997).

4.4.1.2. Akbayır Formasyonu (Ja)

Genellikle kremsi beyaz, bej ve bazı kesimlerde kırmızı renkli, ince – orta tabakalı, çörtlü, hemipelajik biyomitrik kireçtaşları ile karakterize edilen Üst Jura – Alt Kretase yaşı bu birimin ilk incelenmesi Akyürek ve ark. (1984) tarafından Akbayır Formasyonu olarak gerçekleştirılmıştır. Alacaatlı bölgesinde türbiditik kalkarenit ara düzeyleri de bulunmaktadır (Akyürek ve ark., 1997).

4.4.1.3. Karadağ Formasyonu (Kkk)

Kılıçlar Grubu içerisinde yer alan birimin ilk adlandırılması Akyürek ve ark. (1984) tarafından gerçekleştirılmıştır. Karadağ Formasyonu en alta volkanik tane içerikli kumtaşı – çakıltaşrı ardalanmaları ile başlar. Üste kesimlerde ise kumtaşı – çamurtaşrı ardalanması biçiminde devam edererk pelajik killi kireçtaşı düzeyleri artar. Bunun sonucunda bütünüyle killi kireçtaşına geçiş yapar (Akyürek ve ark., 1984). Fosil topluluğuna göre birimin yaşı Senomaniyen – Kampaniyen (Üst Kretase) olarak belirlenmiştir (Akyürek ve ark., 1997).

4.4.1.4. Mamak Formasyonu (Tma)

Mamak Formasyonu yaygın volkanizmanın gözlemlendiği bölgelerde tuf, andezit, tuf, aglomera ve bazalt bileşimindeki lavlardan meydana gelmektedir. Mamak Formasyonu girişik olduğu diğer formasyonlarla aynı yaşta kabul edilerek Üst Miyosen olarak yaşlandırılmaktadır. (Akyürek ve ark., 1997).

4.4.1.5. Tekke Volkanitleri (Tt)

Andezit, tuf, trakiandezit, aglomera, bazalt ve dasitten oluşan birim ilk kez Akyürek ve ark. (1984) tarafından adlandırılmıştır. Birbirinden farklı evrelerde oluşmuş bu birim Üst Miyosen yaşta kabul edilmektedir (Akyürek ve ark., 1997). Bölgedeki Miyosen dönemine ait karasal koşulların hakim olduğu sırada oluşan volkanizmanın ürünleri tarafından bu birim oluşturulmuştur. Birimin yanal yönündeki yayılımlarında andezit, trakiandezit ve bazalt gibi farklı mineralojik bileşendeki geçişler kolaylıkla gözlemlenebilir (Akyürek ve ark., 1997).

4.4.1.6. Gölbaşı Formasyonu (Tg)

İlk adlandırılması Akyürek ve ark. (1982) tarafından gerçekleştirilen bu birim, gri, kırmızımsı renkte, gevşek şekilde tutturulmuş farklı boy ve kökene sahip konglomera, kumtaşı ve çamurtaşından oluşmaktadır. Yanal devamlılık söz konusu olduğunda bu formasyonunu oluşturan kaya türlerinde farklılaşmalar gözlemlenebilir. Stratigrafideki yeri ve eski çalışmalara istinaden birimin yaşı Pliyosen olarak kabul edilebilir (Akyürek ve ark., 1997).

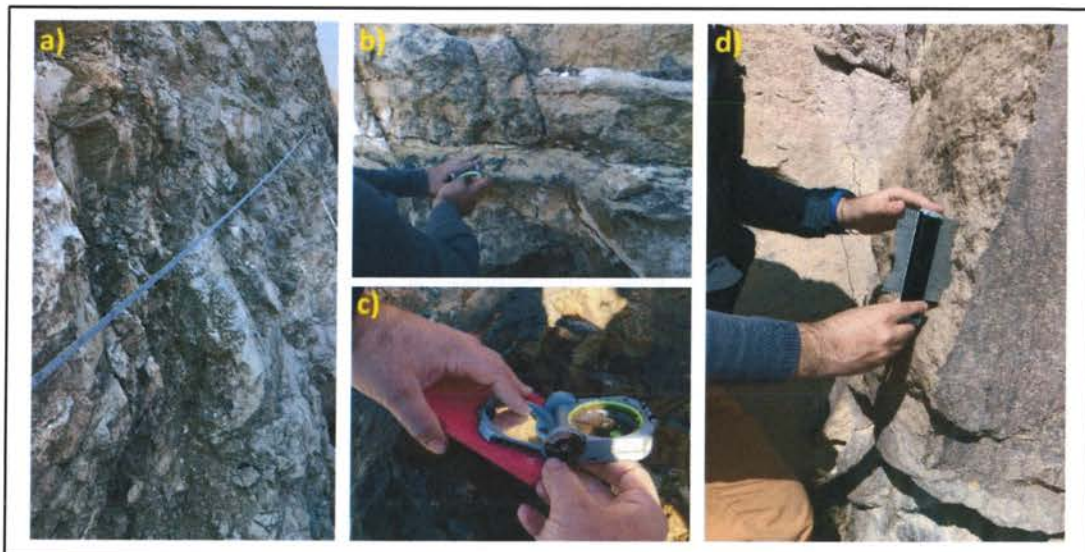
4.4.1.7. Alüvyon (Qal)

Bölgedeki en güncel formasyon olan bu birim, nehir yataklarında depolanan tutturulmamış veya gevşek olarak tutturulmuş, kum, silt ve çakıllardan oluşmaktadır.

4.5. Hat Etütleri (Scan-line Surveys)

Hat etüdü yöntemi kaya kütlesi ve süreksızlık karakterizasyonu için uygulanan başlıca yöntemlerden birisidir. Tez kapsamında farklı kaya kütleleri üzerinde toplamda 10 adet hat etüdü çalışması yapılmış olup, her bir kaya kütlesi ayrı hat etüdü çalışması ile araştırılmıştır. Hat etüdü çalışmaları temel olarak şerit metrenin kaya mostrası yüzeyine konumlandırılması ve şerit metre ile kesisen süreksızlık özelliklerinin belirlenmesi prensibine dayanır (Şekil 4.7a). Bu temel doğrultusunda tez kapsamında 10 farklı kaya mostrasında toplam 75 m hat etüdü

çalışması yapılarak 164 adet süreksizliğin karakterizasyonu yapılmıştır (Çizelge 4.1). Süreksizlik karakterizasyonu kapsamında; yönelim, aralık, devamlılık, pürüzlülük, ayrışma, açıklık, süreksizlik dolgusu ve dalgalılık özellikleri ISRM (2007)'ye göre ölçülmüştür. Süreksizlik yönelimleri Brunton pusulası kullanılarak, süreksizlik yönelimini temsil eden ideal yüzeylerden ölçülmüştür (Şekil 4.7b). Kapalı süreksizlik koşulları ya da fay zonları gibi ideal süreksizlik yüzeylerinin tespit edilemediği durumlarda ise anketör dosyası ya da harita tablası gibi düzlemsel bir cisim yardımıyla yapay süreksizlik yüzeyleri oluşturulmuş olup, bu yüzeylerin yönelim değerleri ölçülmüştür (Şekil 4.7c). Pürüzlülük ölçümleri için ise 15 cm uzunluğunda profilometre kullanılmıştır (Şekil 4.7d).



Şekil 4.7. Hat etüdü (a), brunton pusulası ile tabaka ölçümü (b), yapay süreksizlik yüzeyinden yönelim ölçümü (c), profilometre ile pürüzlülük ölçümü (d).

Çizelge 4.1. Hat etüdü çalışmaları özet tablosu.

| Lokasyon | Lokasyon Kodu | Litoloji | Hat Etüdü Uzunluğu (cm) | Ölçülen Süreksizlik (Adet) |
|----------|---------------|----------|-------------------------|----------------------------|
| Yenikent | YK-Loc1 | Andezit | 492 | 13 |
| Yenikent | YK-Loc2 | Andezit | 463 | 14 |
| Yenikent | YK-Loc3 | Andezit | 503 | 11 |

Çizelge 4.1. (Devamı) Hat etüdü çalışmaları özet tablosu.

| Lokasyon | Lokasyon Kodu | Litoloji | Hat Etüdü Uzunluğu (cm) | Ölçülen Süreksizlik (Adet) |
|--------------|---------------|--------------|-------------------------|----------------------------|
| Yenikent | YK-Loc4 | Andezit | 576 | 9 |
| Yenikent | YK-Loc5 | Andezit | 1130 | 24 |
| Alacaatlı | AA-Loc1 | Kireçtaşısı | 790 | 17 |
| Alacaatlı | AA-Loc2 | Kireçtaşısı | 720 | 8 |
| Alacaatlı | AA-Loc3 | Kireçtaşısı | 1280 | 19 |
| Ballıkuyumcu | BK-Loc1 | Trakeandezit | 930 | 37 |
| Ballıkuyumcu | BK-Loc2 | Trakeandezit | 520 | 12 |

4.6. Fotogrametrik Ölçümler

Akıllı telefonlar artan işlem kapasiteleri sayesinde günümüzde birçok fotogrametrik amaç için kullanılabilir seviyeye ulaşmışlardır. Akıllı telefon kameraları, metrik ve DSLR (Digital Single-Lens Reflex) kameralara kıyasla kısa odak uzunluğu, küçük sensör boyutu ve düşük ISO (International Organization for Standardization) aralıkları gibi dezavantajlarına sahip olmasına rağmen makul miktardaki piksel sayıları (>5 MPix) sayesinde bu dezavantajları telafi edebilmektedirler (Jaud et al., 2019). Maliyet ve kullanım kolaylığı da göz önüne alınarak, bu çalışma kapsamındaki fotogrametrik uygulamalarda yer alan görüntüler için Apple Inc. tarafından üretilen iPhone X model akıllı telefon kullanılmıştır (Çizelge 4.2).

Günümüzde sıkılıkla kullanılan güçlü görüntü eşleştirme algoritmalarının tartışılmaz faydalarından biri de temel fotogrametrik yaklaşımlar konusunda sağladıkları kolaylıklardır. Bu algoritamlar sayesinde fotogrametrik uygulamalarda ihtiyaç duyulan görüntü bindirmesi ve stereo görüntü çiftleri, kameralar belirli bir geometrik kurala göre konumlandırılmasızın elde edilebilmektedir. Doğal olarak tripod, slider ve gimball gibi kamera sabitleyici ekipmanlara duyulan ihtiyaç da ortadan kalkmaktadır. Buradan hareketle,

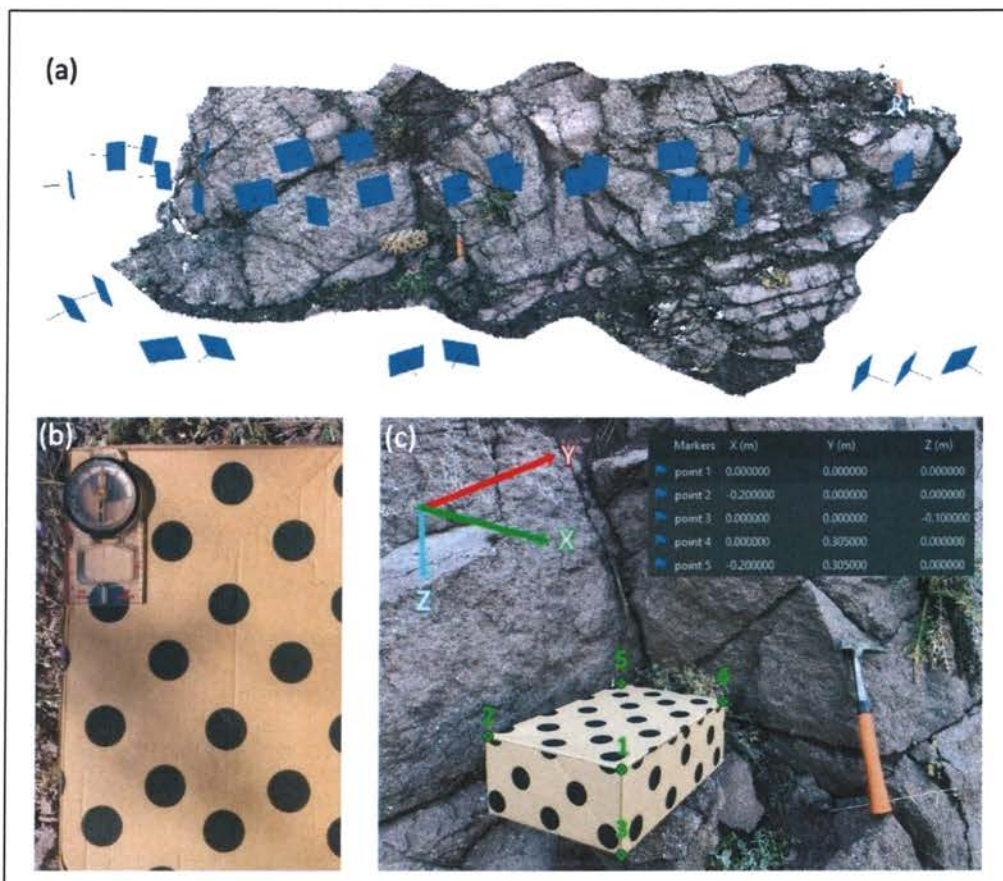
çalışma kapsamında kullanılan görüntüler elde edilirken standart bir görüntü elde etme şablonu kullanılmamış olup kamera konumlarını gösteren temsili bir örnek Şekil 4.8a'da verilmiştir.

Çizelge 4.2. Görüntü alımında kullanılan kamera özellikleri.

| | |
|---|-----------------------|
| Odak uzunluğu (mm) | 4 |
| 35 mm eşdeğerindeki odak uzunluğu (mm) | 28 |
| Görüntü boyutu (piksel) | 3024 x 4032 (12 MPix) |
| Sensör boyutu ve tipi | CMOS, 1/3" |
| Sensör üzerindeki piksel boyutu (μm) | 1.22 |

Akıllı telefonlar ile görüntü elde etmek ve bu görüntülerini çeşitli algoritmalarla 3D model oluşturmak için kullanabilmek az maliyetli ve kullanışlı gözükse de, süreksizlik yöneliklerinin ölçülmesi söz konusu olduğunda bir başka gereksinim daha söz konusu olmaktadır. Bu gereksinim, oluşturulan 3D modellerin jeoreferanslama (mutlak yöneltme) işlemidir. Jeofereranslamanın amacı, oluşturulan 3D modelin gerçek durumda uzayda var olduğu şekildeki konum, ölçek ve dönüklük koşullarının sağlanmasıdır. Bu işlem yapılmadığı taktirde, modelde ölçülen süreksizlik yönelikleri gelişigüzel şekilde oluşturulmuş bir koordinat sistemine ait olacağı için saha koşullarını yansıtmayan göreceli sonuçlar elde edilecektir. Jeoreferanslama taşıdığı bu önemin yanı sıra, saha koşulları itibarıyle çok pratik olmayan, zaman alıcı ve maliyetli bir uygulamadır. Referans için ihtiyaç duyulan harici yer kontrol noklarının (YKN) elde edilebilmesi için total station ya da GNSS (Global Navigation Satellite System) gibi enstrümanların kullanılması gerekmektedir. Süreksizlik etütleri ve saha koşulları söz konusu olduğunda bu enstrümanların taşınması, kullanılması ve korunması kaçınılmaz şekilde ekstra zaman, maliyet ve iş gücü ihtiyacı doğurmaktadır. Söz konusu dezavantajlardan etkilenmeksizin, pratik ve maliyetsiz bir çözüm üretebilmek adına bu tez çalışmasında bahsi geçen jeoreferanslama ekipmanlarına ihtiyaç duyulmayan bir çözüm uygulanmıştır. Bu çözüm kapsamında kullanılan ekipman 30,5 cm x 20 cm x 10 cm boyutunda prizmatik

karton bir kutudur. Bu kutu, uzun kenarı coğrafi kuzey ile paralel olacak şekilde sürekli etüdü gerçekleştirilen kaya kütlesinin üzerine yerleştirilerek kutunun bir noktası lokal bir koordinat sisteminin merkezine dönüştürülmüştür (Şekil 4.8b). Buradan hareketle kutunun uzun kenarı bu lokal koordinat sisteminin ve nokta bulutu üretiminde kullanılacak yazılımın Y ekseni olarak, kutunun köşe koordinatları (boyutları) ise jeoreferanslama için ihtiyaç duyulan YKN'ler olarak kullanılabilir hale gelmiştir (Şekil 4.8c). Nihai durumda bu yöntem ile her bir YKN için 3 adet ötelenme (X_0 , Y_0 , Z_0) ve 1 adet ölçek (λ) parametresi çözümlenerek jeoreferanslanmanın yapılması mümkün olabilmektedir.

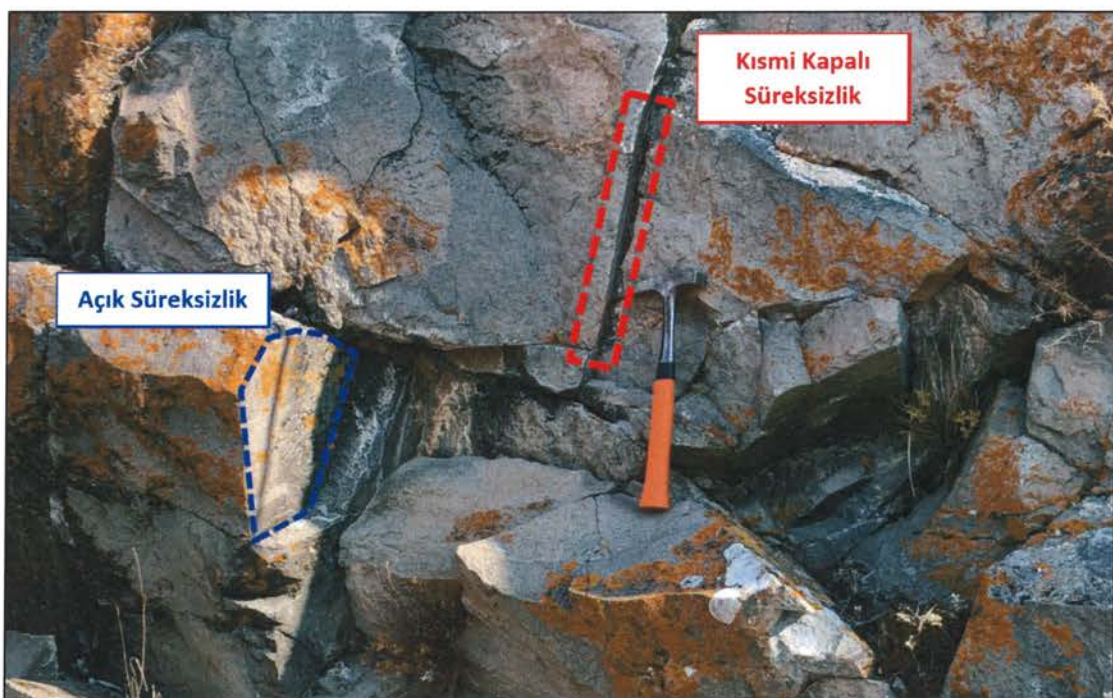


Şekil 4.8. Kamera pozisyonları (a); coğrafi kuzeye paralel şekilde yerleştirilen prizmatik karton kutu (b); jeoreferanslama için kullanılan YKN'ler (c).

5. SÜREKSİZLİK ANALİZLERİ

5.1. Hat Etüdü Verilerinin Değerlendirilmesi

ISRM'de (2007) önerilen şekilde gerçekleştirilen hat etüdü çalışmalarına ait veriler değerlendirilirken 3 ana, 2 alt grup olmak üzere 6 farklı grup dikkate alınmıştır. Ana gruplar andezit, kireçtaşı ve trakeandezit olarak tanımlanan kaya tipleri olarak belirlenirken; alt gruplar ise, ölçülen süreksızlık yüzeylerinin açık ya da kısmi kapalı olma durumuna göre belirlenmiştir. Yüzeyleri doğrudan ölçüm alabilecek şekilde olan süreksızlıklar açık süreksızlık olarak, yüzeyleri aralık şeklinde gözlemlenen süreksızlıklar ise kısmi kapalı süreksızlıklar olarak tanımlanmıştır (Şekil 5.1). Lokasyonların tamamına ait hat etüdü verileri Çizelge 5.1'de özetlenmiştir.



Şekil 5.1. Açık ve kısmi kapalı olarak tanımlanan örnek süreksızlıklar.

Çizelge 5.1. Hat etüdü özet tablosu.

| Lokasyon | Litoloji | Aralık | Devamlılık | JRC | Bozunma | Açıklık | Dolgu | Değer Aralığı | Yapı | GSI |
|----------|--------------|--------------|------------------------|------------------|------------|------------------------|---------------------------------------|---------------|--------------------------------|--------------|
| YK-Loc1 | Andezit | Orta Derece | Yüksek – Çok Yüksek | 0 – 2 14 – 16 | W2 – W3 | Çok sıkı – Boşluklu | Yüzey boyaması, Kil Dolgulu | 35 – 55 | Çok Bloklu | Yüzey Koşulu |
| YK-Loc2 | Andezit | Orta Derece | Yüksek – Çok Yüksek | 0 – 8 | W2 – W3 | Orta Der. – Boşluklu | Yüzey boyaması, Kil Dolgulu | 55 – 77 | Bloklu | Orta İyi |
| YK-Loc3 | Andezit | Orta Derece | Yüksek – Çok Yüksek | 2 – 4 | W2 – W3 | Orta Der. – Boşluklu | Yüzey boyaması | 60 – 85 | Masif – Bloklu | İyi |
| YK-Loc4 | Andezit | Geniş Derece | Yüksek – Çok Yüksek | 0 – 2 | W2 – W3 | Orta Der. – Boşluklu | Yüzey boyaması, Kil Dolgulu | 45 – 65 | Çok Bloklu | İyi |
| YK-Loc5 | Andezit | Orta Derece | Çok Düşük – Çok Yüksek | 0 – 2 16 – 18 | W3 – W4 | Orta Der. – Boşluklu | Yüzey boyaması, Kil Dolgulu | 20 – 40 | Çok Bloklu – Bloklu/Örseenmiş | Zayıf |
| AA-Loc1 | Kireçtaşlı | Orta Derece | Çok Düşük – Çok Yüksek | 2 – 4 14 – 16 | W3 – W4 | Çok sıkı – Boşluklu | Yüzey boyaması, Fay Kili, Kil Dolgulu | 15 – 35 | Bloklu/Örseenmiş – Parçalanmış | Zayıf |
| AA-Loc2 | Kireçtaşlı | Geniş | Çok Yüksek | 4 – 6 12 – 14 | W2/W3 – W4 | Aşırı Geniş – Boşluklu | Fay Kili, Kil ve Kalsit Dolgulu | 30 – 45 | Bloklu/Örseenmiş | İyi |
| AA-Loc3 | Kireçtaşlı | Dar | Orta – Çok Yüksek | 6 – 8 16 – 18 | W2 – W3 | Geniş – Boşluklu | Kil ve Kalsit Dolgulu | 35 – 50 | Bloklu/Örseenmiş | Orta – İyi |
| BK-Loc1 | Trakeandezit | Çok Dar | Çok Yüksek | 0 – 2 8 – 10 | W2 – W3 | Aşırı Geniş – Boşluklu | Dolqusuz | 55 – 75 | Bloklu – Çok Bloklu | İyi |
| BK-Loc2 | Trakeandezit | Orta | Çok Düşük – Düşük | 2 – 4 18 – 20 | W3 | Geniş – Boşluklu | Dolqusuz | 35 – 55 | Çok Bloklu | İyi |

5.1.1. Andezit Türü Kaya Kütelerinde Yapılan Hat Etüdü Verilerinin Değerlendirilmesi

Andezit türü kaya kütelerinin tamamında yapılan hat etüdü çalışmaları göz önüne alındığında 3 adet majör süreksızlık yönelimi (83/116, 72/048, 44/189) tespit edilmiştir (Şekil 5.2). Süreksızlıklar orta derecede – geniş aralıklı olup, çok düşük – çok yüksek devamlılıktadır. Pürüzlülük ölçümleri sonucunda elde edilen Joint Roughness Coefficient (JRC) (Barton ve Choubey, 1977) değerleri 0 – 2 ve 16 – 18 arasında değişmektedir. Volkanik kayaç türü olması sebebi ile hat etüdü yapılan süreksızlıkların büyük bir çoğunluğu soğuma çatlağı niteliğindedir. Bundan ötürü özellikle çok yüksek devamlılıkta olan süreksızlıklar dalgalıdır. Bozunma derecesi göz önüne alındığında az – tamamen bozunmuş süreksızlık yüzeyleri ile karşılaşılmıştır. Süreksizlik açıklıkları çok sıkı – boşluklu olup, süreksızlık dolgusu olarak yüzey boyaması ve kil dolgusu tespit edilmiştir. Andezit türü kaya küteleri üzerinde gerçekleştirilen GSI değerlendirmeleri doğrultusunda yapı özellikleri bloklu/örselenmiş – masif olarak, yüzey koşulu özellikleri ise zayıf – iyi olarak tanımlanmıştır. Bu tanımlamalar ışığında GSI değerleri 35 – 85 aralığında belirlenmiştir. Andezit türü kaya kütelerinde tespit edilen süreksızlıkların yaklaşık %60'ı açık süreksızlık %40'ı kısmi kapalı süreksızlık olarak belirlenmiştir.

Açık süreksızlıklere ait majör süreksızlık yönelimleri 84/117, 84/052 ve 45/209 olarak ölçülmüştür (Şekil 5.2). Bu süreksızlıklar çok yüksek devamlılıkta olup az – orta derecede bozunmuştur. Nadiren dolgu gözlemlenmiş olup, gözlemlenen dolgular olarak yüzey boyaması olarak belirlenmiştir. Kısmi kapalı süreksızlıklere ait majör süreksızlık yönelimleri ise 82/096, 48/178 ve 88/007 olarak ölçülmüştür (Şekil 5.2). Bu süreksızlıklar çok düşük – çok yüksek devamlılıkta olup az – tamamen bozunmuştur. Genel olarak kil dolguludur.

5.1.2. Kireçtaşı Türü Kaya Kütlelerinde Yapılan Hat Etüdü Verilerinin Değerlendirilmesi

Kireçtaşı türü kaya kütlelerinin tamamında yapılan hat etüdü çalışmaları göz önüne alındığında 3 adet majör süreksızlık yönelimi (58/142, 28/059, 71/213) tespit edilmiştir (Şekil 5.2). Süreksızlıklar dar – geniş aralıklı olup, çok düşük – çok yüksek devamlılıktadır. Pürüzlülük ölçümleri sonucunda elde edilen JRC değerleri 2 – 4 ve 16 – 18 arasında değişmektedir. Bozunma derecesi göz önüne alındığında az/orta – tamamen bozunmuş süreksızlık yüzeyleri ile karşılaşılmıştır. Süreksızlık açıklıkları çok sıkı – boşluklu olup, süreksızlık dolgusu olarak yüzey boyaması, kil dolgusu, kalsit ve yer yer fay kili tespit edilmiştir. Kireçtaşı türü kaya kütleleri üzerinde gerçekleştirilen GSI değerlendirmeleri doğrultusunda yapı özellikleri bloklu/orşelenmiş – parçalanmış olarak, yüzey koşulu özellikleri ise zayıf – iyi olarak tanımlanmıştır. Bu tanımlamalar ışığında GSI değerleri 35 – 50 aralığında belirlenmiştir. Kireçtaşı türü kaya kütlelerinde sedimanter oluşum ve tabakalanma özelliklerinin de etkisiyle tespit edilen süreksızlıkların yaklaşık %20'si açık süreksızlık %80'i kısmi kapalı süreksızlık olarak belirlenmiştir.

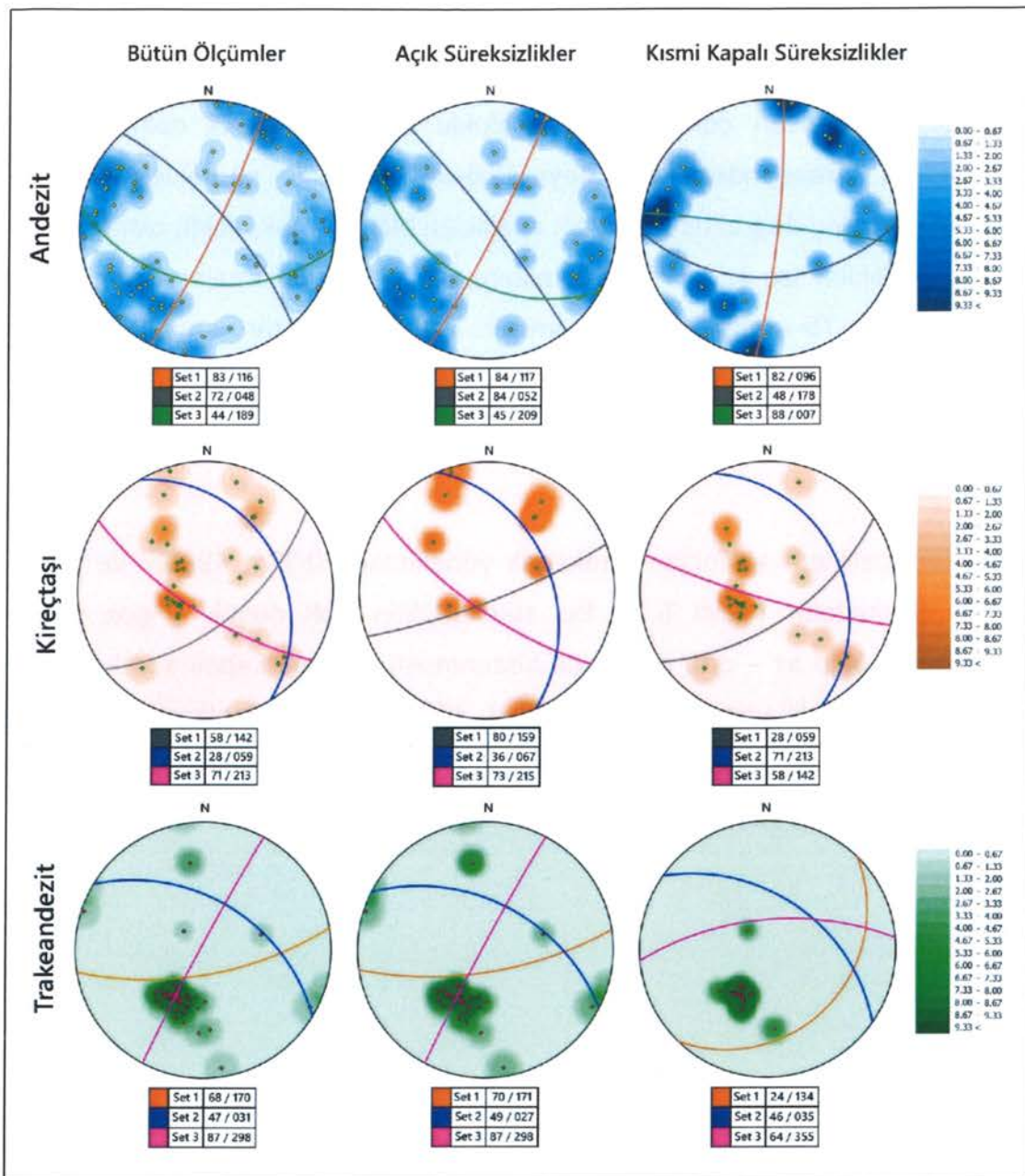
Açık süreksızlıklere ait majör süreksızlık yönelimleri 80/159, 36/067 ve 73/215 olarak ölçülmüştür (Şekil 5.2). Bu süreksızlıklar çok düşük – çok yüksek devamlılıkta olup orta – yüksek derecede bozunmuştur. Gözlemlenen dolgular kalsit, kil dolgu ve yer yer fay kili olarak belirlenmiştir. Kısmi kapalı süreksızlıklere ait majör süreksızlık yönelimleri ise 28/059, 71/213 ve 58/142 olarak ölçülmüştür (Şekil 5.2). Bu süreksızlıklar çok düşük – çok yüksek devamlılıkta olup az – tamamen bozunmuştur. Genel olarak kalsit ve kil dolguludur.

5.1.3. Trakeandezit Türü Kaya Kütlelerinde Yapılan Hat Etüdü Verilerinin Değerlendirilmesi

Trakeandezit türü kaya kütlelerinin tamamında yapılan hat etüdü çalışmaları göz önüne alındığında 3 adet majör süreksızlık yönelimi (68/170, 47/031, 87/298) tespit edilmiştir (Şekil 5.2). Süreksızlıklar çok dar – orta aralıklı olup, çok düşük – çok yüksek devamlılıktadır. Pürüzlülük ölçümleri sonucunda elde edilen JRC

değerleri 0 – 2 ve 18 – 20 arasında değişmektedir. Bozunma derecesi göz önüne alındığında az – orta derecede bozunmuş süreksizlik yüzeyleri ile karşılaşılmıştır. Süreksizlik açıklıkları çok geniş – boşluklu olup süreksizlik dolgusu tespit edilmemiştir. Trakeandezit türü kaya kütleleri üzerinde gerçekleştirilen GSI değerlendirmeleri doğrultusunda yapı özellikleri bloklu – çok bloklu olarak, yüzey koşulu özellikleri ise iyi olarak tanımlanmıştır. Bu tanımlamalar ışığında GSI değerleri 35 – 75 aralığında belirlenmiştir. Trakeandezit türü kaya kütlelerinde tespit edilen süreksizliklerin yaklaşık %60'ı açık süreksizlik %40'ı kısmi kapalı süreksizlik olarak belirlenmiştir.

Açık süreksizliklere ait majör süreksizlik yönelikleri 70/171, 49/027 ve 87/298 olarak ölçülmüştür (Şekil 5.2). Bu süreksizlikler çok düşük – çok yüksek devamlılıkta olup az – orta derecede bozunmuştur. Kısımlı kapalı süreksizliklere ait majör süreksizlik yönelikleri ise 24/134, 46/035 ve 64/355 olarak ölçülmüştür (Şekil 5.2). Bu süreksizlikler çok düşük – çok yüksek devamlılıkta olup az – orta derecede bozunmuştur. Dolgu gözlemlenmemiştir.



Şekil 5.2. Kaya türü, açık ve kısmi kapalı süreksizlik özelliklerine göre majör süreksizlik setleri.

5.2. Fotogrametrik Analizler

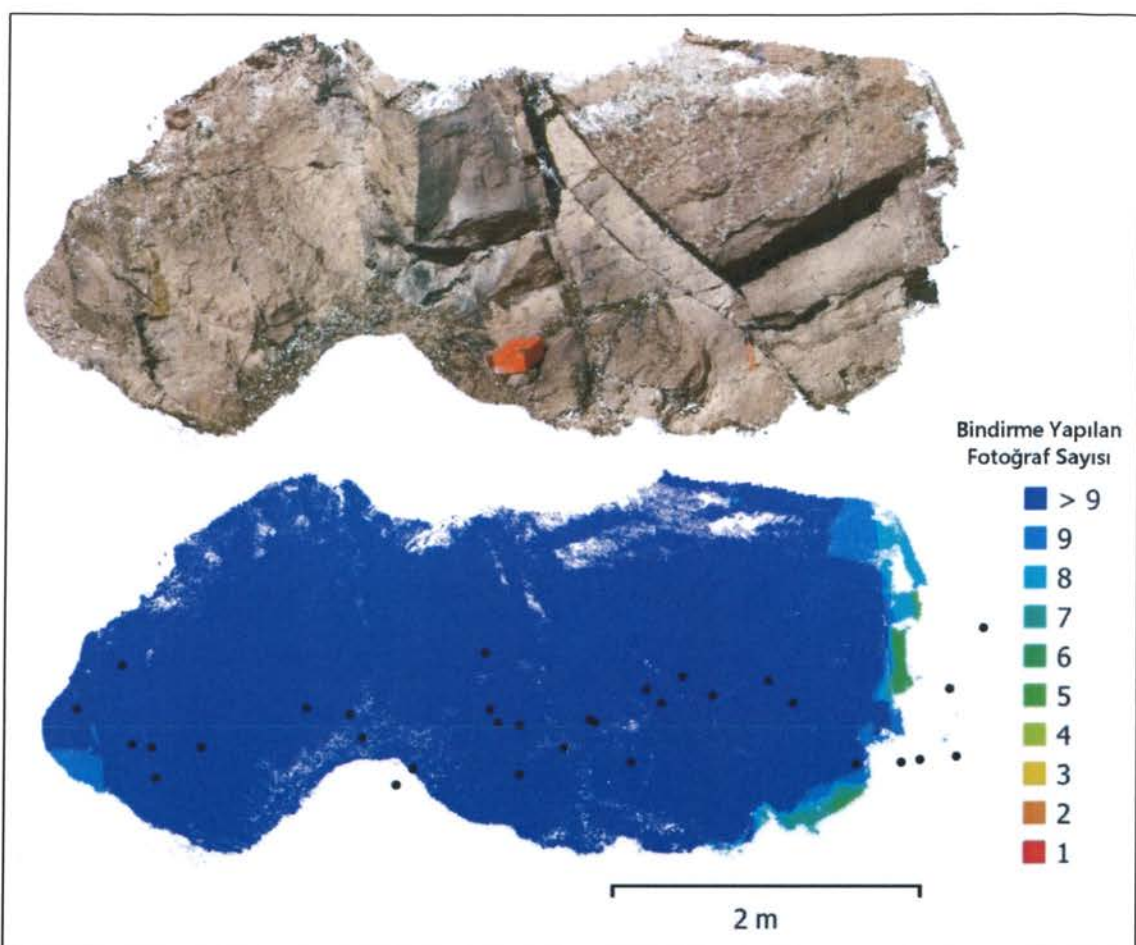
5.2.1. Nokta Bulutu Verisinin Üretilmesi

Nokta bulutu verisi elde edilmesi işleminde Lenovo Thinkpad E490 (CPU: Intel Core i5-8265U 1.60 GHz, RAM: 8 gb, Graphical Card: AMD Radeon RX 550X 128 bit 2 gb) dizüstü bilgisayar ve Agisoft Metashape Professional (1.6.4) yazılımı kullanılmıştır. Yazılım standart bir SfM akışındaki gibi ilk adım olarak alignment (karşılıklı yöneltme) işlemini gerçekleştirmektedir. Bu adımda fotoğraflar içerisinde EXIF (Exchangeable Image File) olarak yer alan konum bilgileri kullanılmış ve hassasiyet değeri “highest” olarak seçilmiştir. İşlem sonucunda Çizelge 4.2’de verilen kamera kalibrasyon parametreleri de çözümlenerek yaklaşık kamera konumları tespit edilmiştir ve karşılıklı yöneltme gerçekleştirılmıştır. Bir sonraki adımda Bölüm 4.6’da belirtildiği şekilde konumlandırılan prizmatik kutunun köşe noktaları YKN olarak kullanılarak jeorefranslama yapılmıştır. Bu jeoreferanslama 3B modelin coğrafi konum olarak değil, coğrafi yön ve ölçek olarak araziyi temsil eden lokal bir koordinat sistemine oturtulması şeklinde gerçekleştirilmesinden ötürü kısmi bir jeoreferanslama olarak tanımlanmaktadır. Nihai durumda 10 farklı kaya kütlesi için gerçekleştirilen yöneltme ve jeoreferanslama sonucunda elde edilen RMSE (Root Mean Square Error) değerleri 1,24 mm – 13,45 mm aralığında, GSD (Ground Sampling Distance) değerleri ise 0,65 mm/pix – 1,33 mm/pix aralığında değişmekte olup Çizelge 5.2’de verilmiştir. Bu işlem sonrasında aşama sıkı nokta bulutu (dense point cloud) oluşturulması aşamasıdır. Sıkı nokta bulutu üretimi orta kalitede (medium quality) gerçekleştirilmiştir. Dense point cloud quality temel olarak nokta bulutunda yer alan nokta sayısını etkilemektedir. Agisoft Metashape’de sıkı nokta bulutu oluşturulurken kullanılan bir diğer ayar da Depth filtering’dir. Bu ayar, nokta bulutunda yer alan noktalar içerisindeki gürültü (noisy) ve aykırı (outlier) noktaların giderilmesi için bir takım filtreleme algoritmalarından oluşmaktadır. Süreksizlik yüzeyine ait ayışma ve pürüzlülük özelliklerinin nokta bulutu verisi üzerinden gerçekleştirilecek süreksizlik ölçümüne olan etkisinin daha hassas tespit edilebilmesi adına sıkı nokta bulutu verisi üretiminde depth filtering kullanılmamıştır. Çalışılan kaya kütelerine ait olarak toplamda 2,5 milyon – 9,5 milyon nokta içeren nokta bulutu verileri üretilmiş olup bu üretim süreci 2 – 14 dakika arası sürmüştür (Çizelge 5.2).

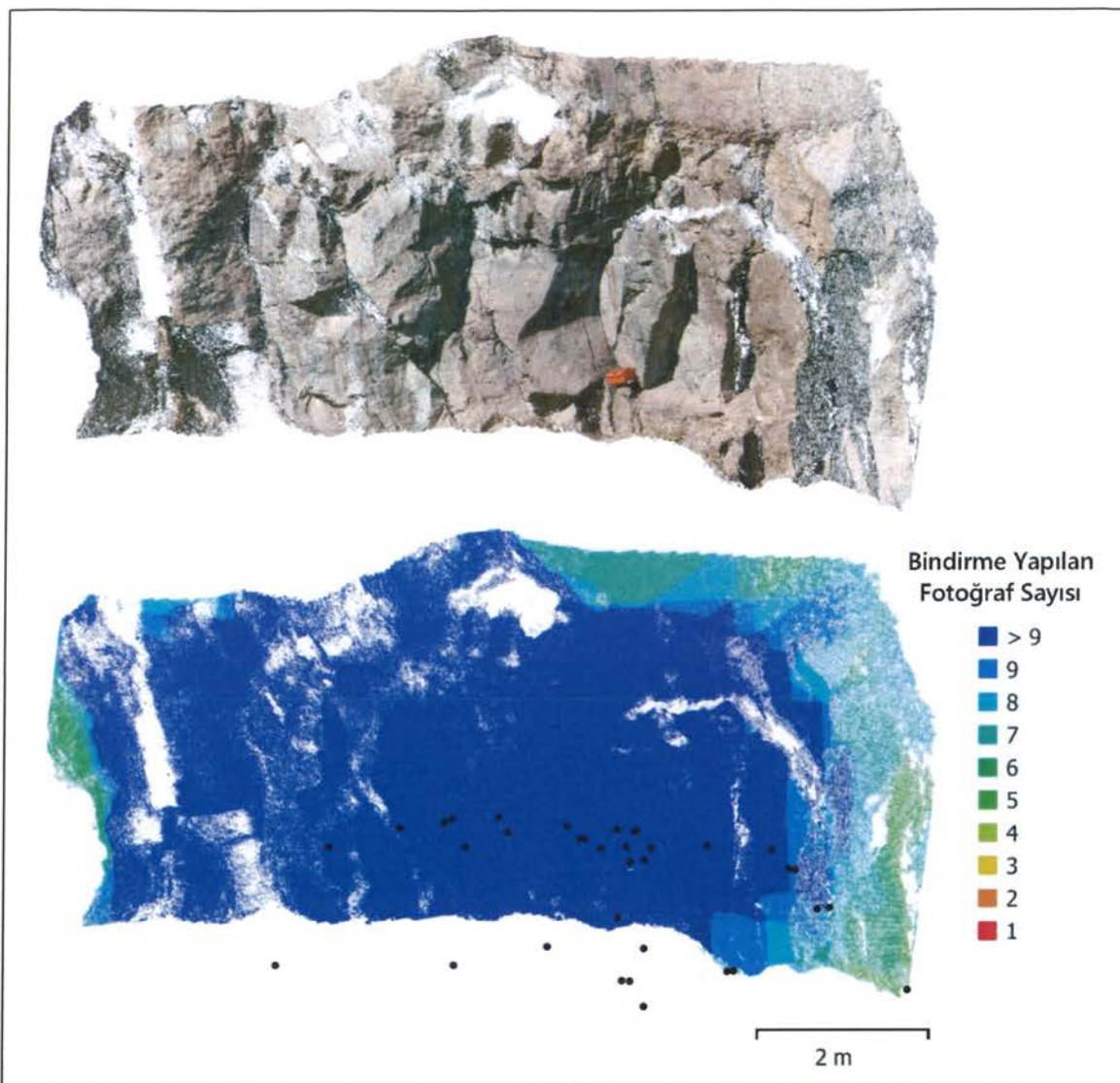
Çizelge 5.2. Nokta bulutu verisi özet tablosu.

| Lokasyon | Yöneltilen Fotoğraf Sayısı | YKN Sayısı | RMSE (mm) | Hata (pix) | GSD (mm/pix) | Bağlama Nokta Sayısı | Yaklaşık Nokta Sayısı |
|----------|----------------------------|------------|-----------|------------|--------------|----------------------|-----------------------|
| YK-Loc1 | 35 | 5 | 5,26 | 2,921 | 0,65 | 38418 | 3 300 000 |
| YK-Loc2 | 37 | 5 | 4,53 | 3,281 | 1,04 | 47072 | 4 350 000 |
| YK-Loc3 | 26 | 5 | 3,47 | 6,890 | 1,33 | 34083 | 2 650 000 |
| YK-Loc4 | 37 | 6 | 8,73 | 2,091 | 1,03 | 45495 | 4 800 000 |
| YK-Loc5 | 24 | 5 | 7,67 | 6,404 | 0,68 | 22396 | 4 300 000 |
| AA-Loc1 | 62 | 8 | 9,08 | 3,209 | 0,85 | 65002 | 9 200 000 |
| AA-Loc2 | 55 | 5 | 4,07 | 7,416 | 0,96 | 70614 | 7 300 000 |
| AA-Loc3 | 66 | 5 | 1,57 | 6,547 | 1,10 | 66763 | 9 150 000 |
| BK-Loc1 | 57 | 4 | 13,45 | 2,802 | 0,77 | 64780 | 8 200 000 |
| BK-Loc2 | 44 | 3 | 1,24 | 5,407 | 0,65 | 44010 | 5 700 000 |

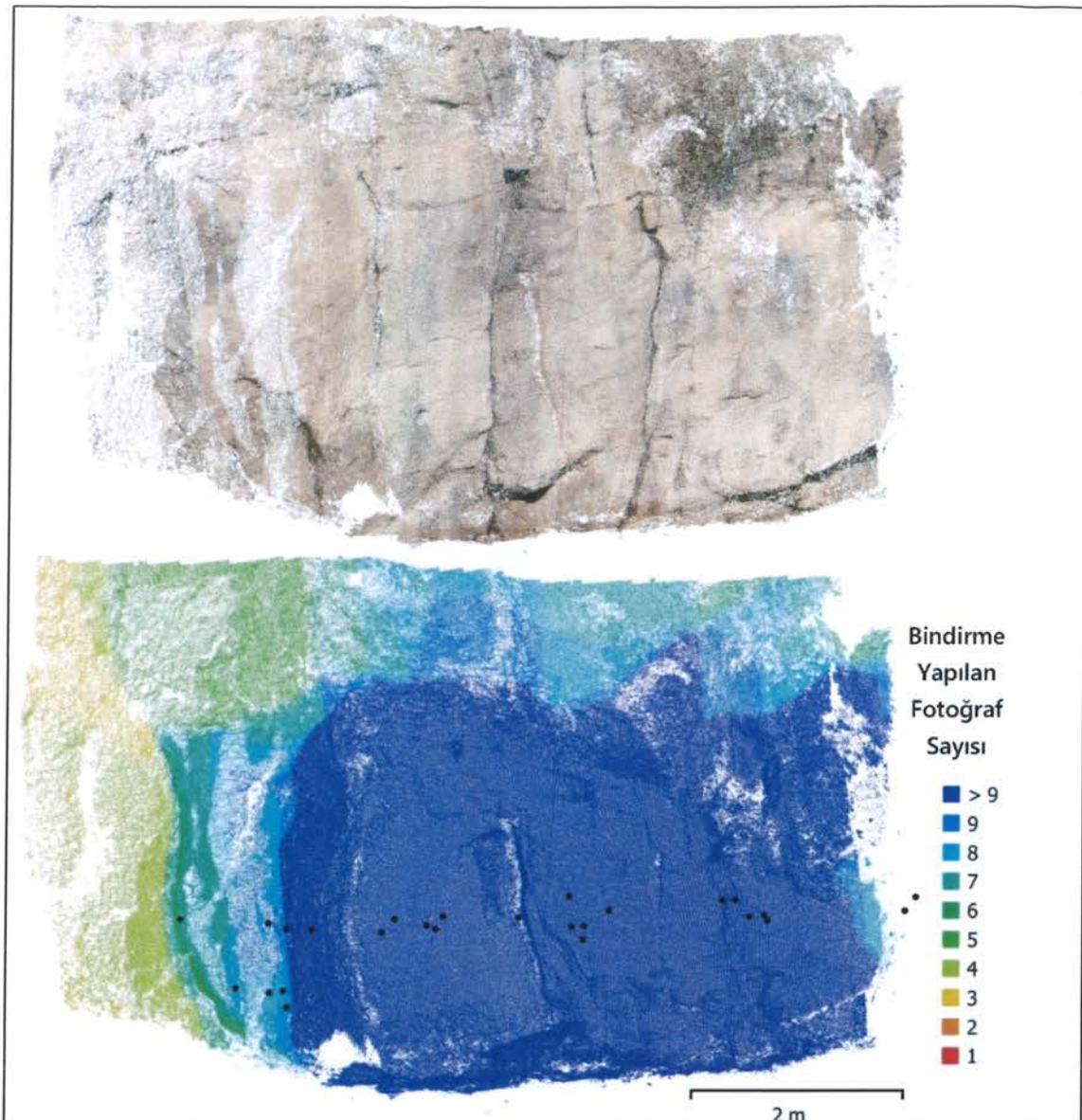
Yazılım çıktıları itibarıyle, oluşturulan nokta bulutu veri üretimindeki görüntü bindirme sayısının 9'dan fazla olduğu tespit edilmiştir. Çalışma yapılan lokasyonlara ait nokta bulutu görüntümleri ve görüntü bindirme sayıları Şekil 5.3 – Şekil 5.12 arasında sunulmuştur.



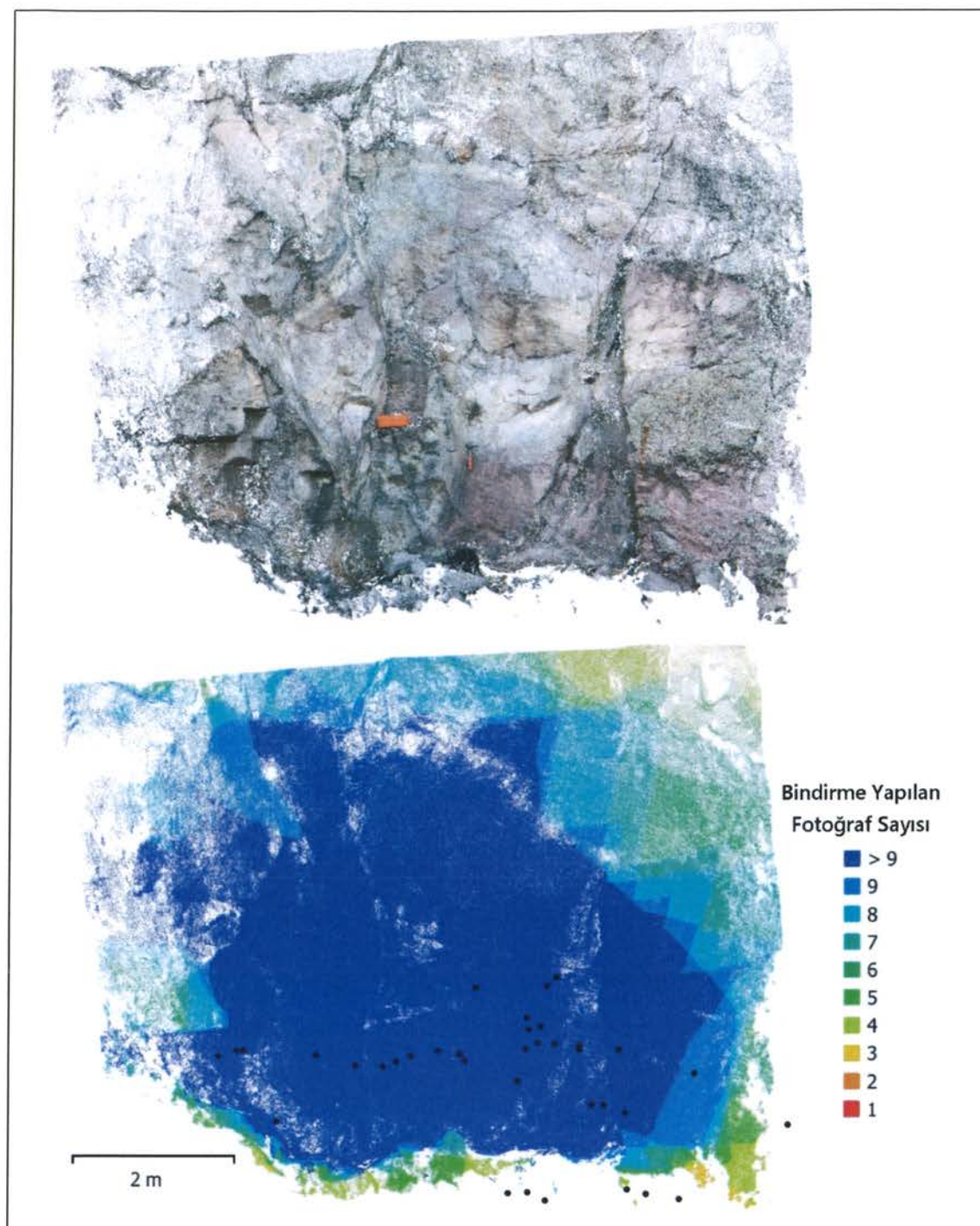
Şekil 5.3. YK-Loc1 Nokta bulutu verisi ve görüntü bindirme oranları.



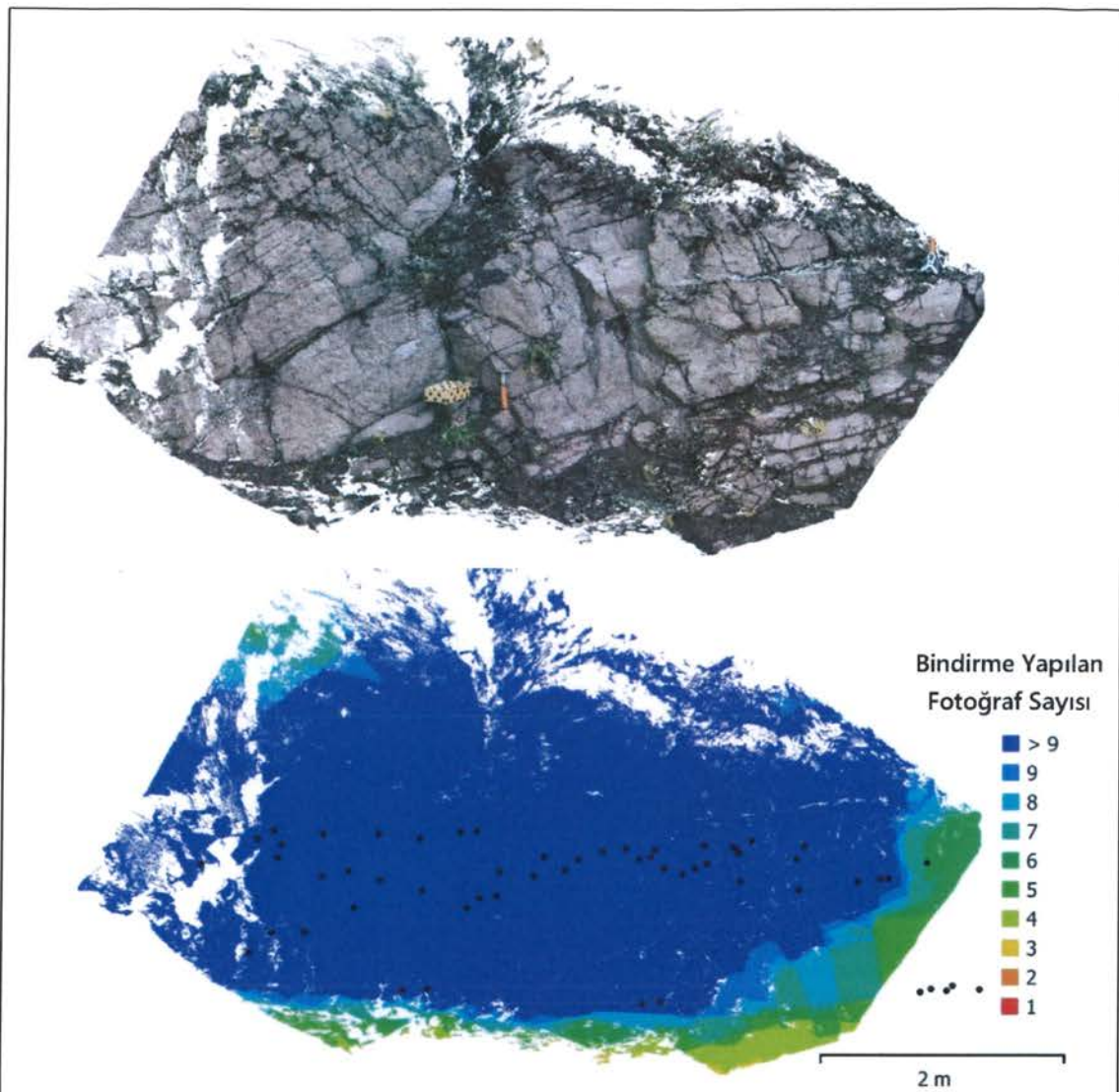
Şekil 5.4. YK-Loc2 Nokta bulutu verisi ve görüntü bindirme oranları.



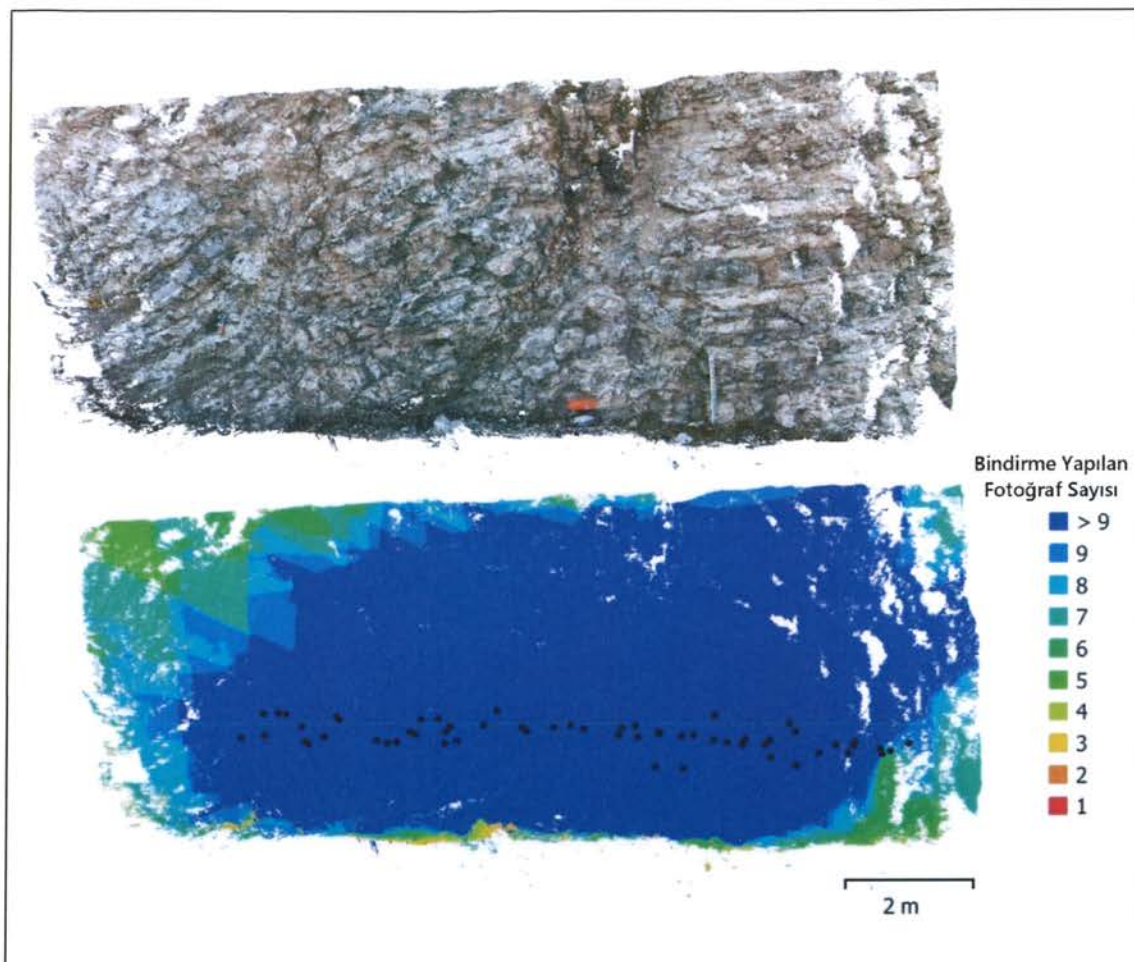
Şekil 5.5. YK-Loc3 Nokta bulutu verisi ve görüntü bindirme oranları.



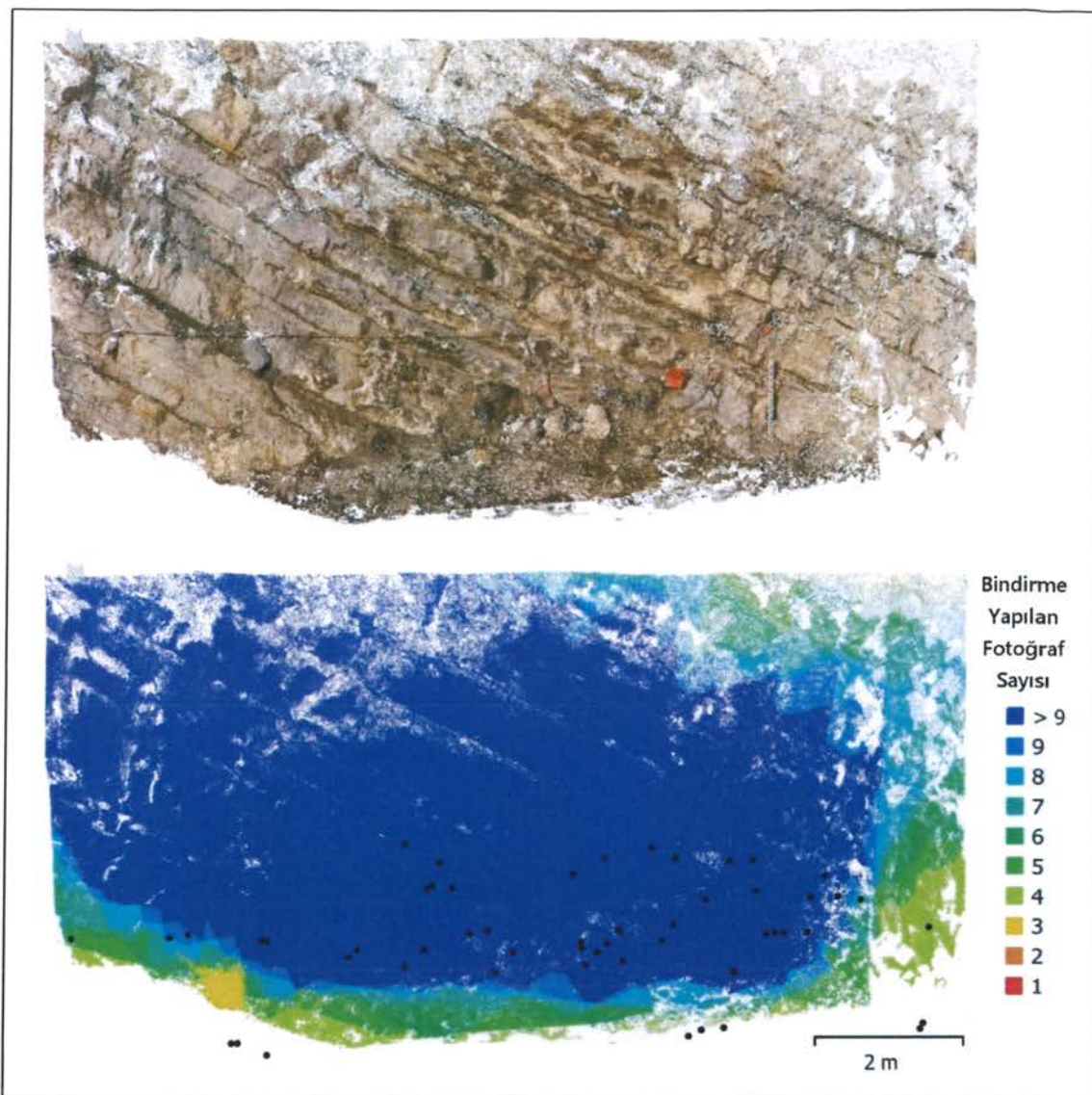
Şekil 5.6. YK-Loc4 Nokta bulutu verisi ve görüntü bindirme oranları.



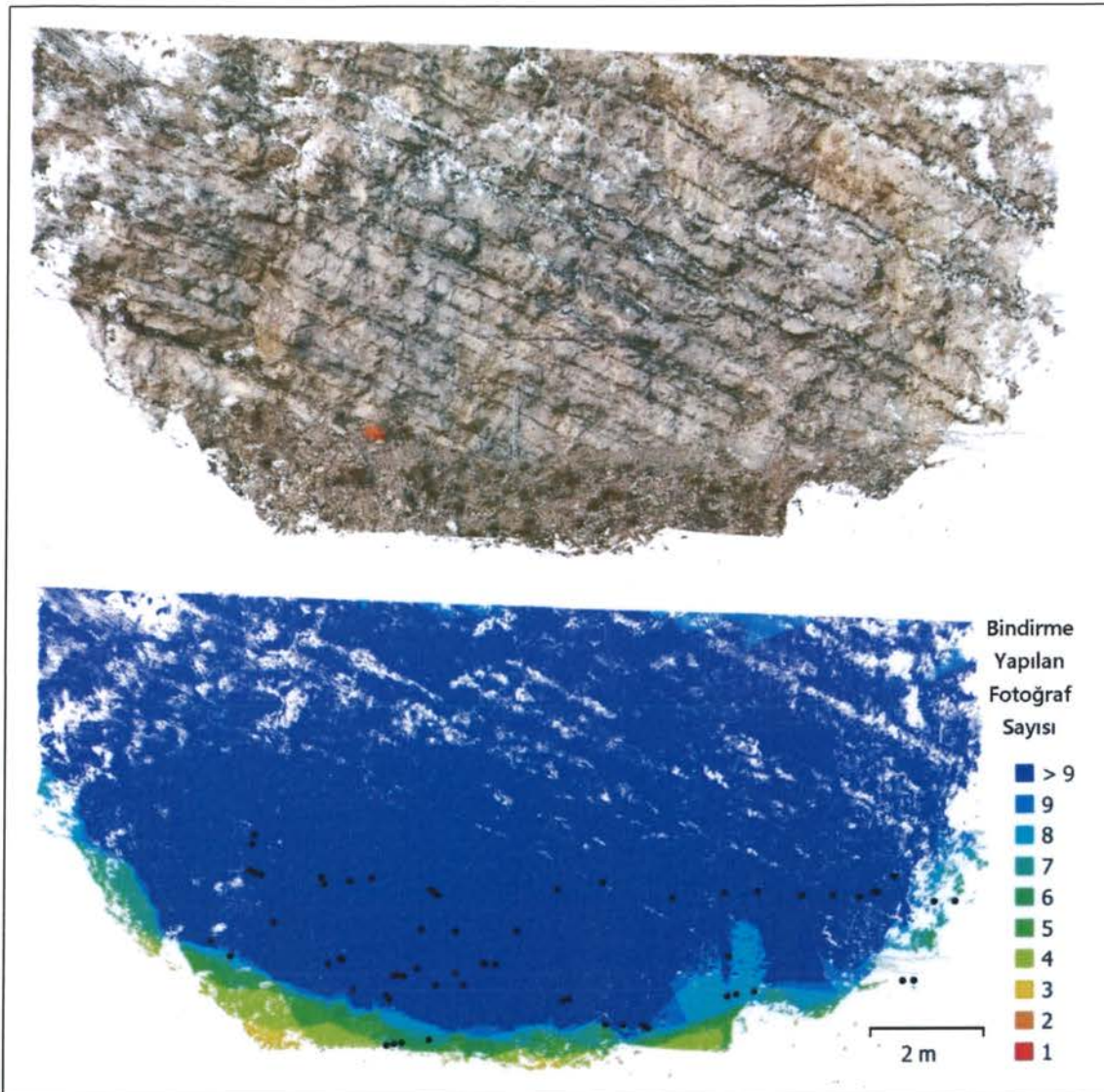
Şekil 5.7. YK-Loc5 Nokta bulutu verisi ve görüntü bindirme oranları.



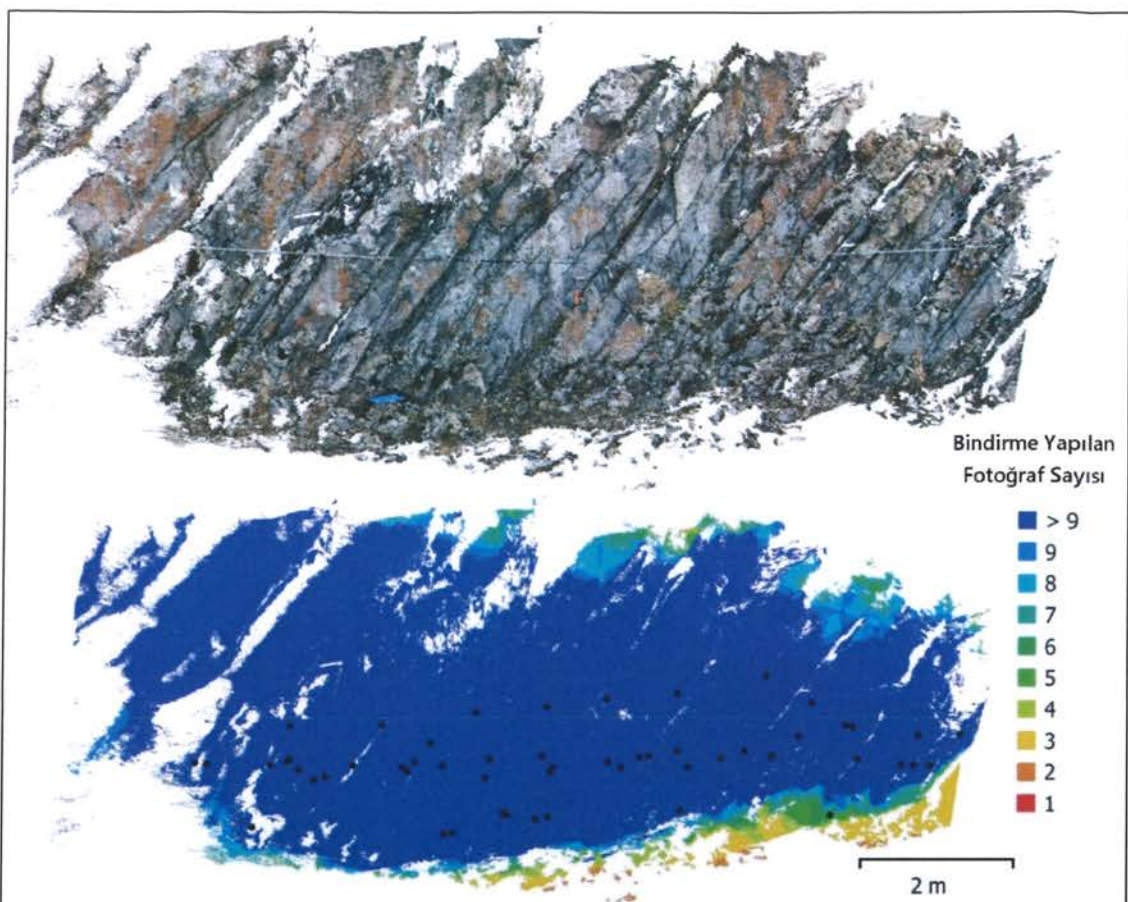
Şekil 5.8. AA-Loc1 Nokta bulutu verisi ve görüntü bindirme oranları.



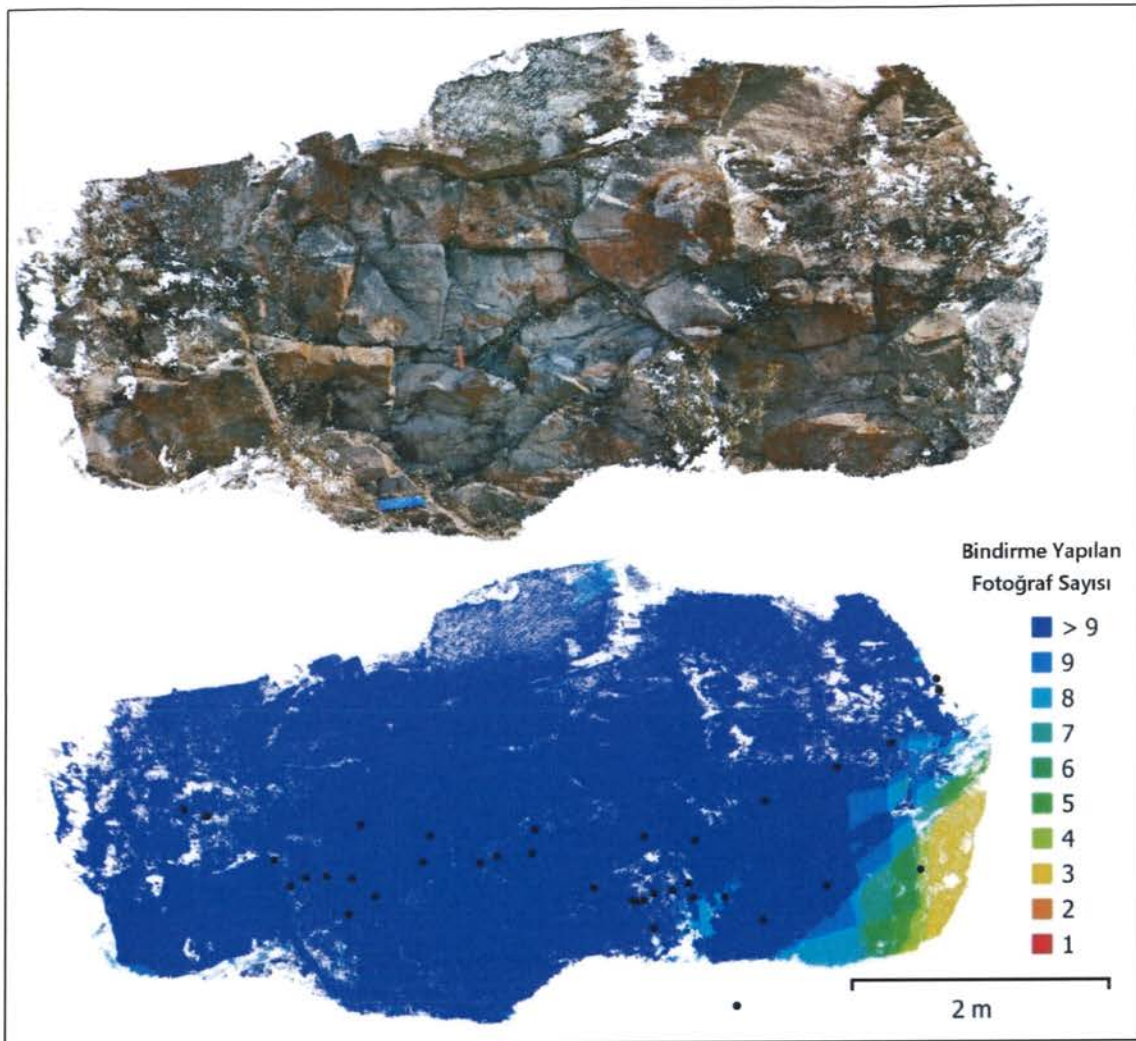
Şekil 5.9. AA-Loc2 Nokta bulutu verisi ve görüntü bindirme oranları.



Şekil 5.10. AA-Loc3 Nokta bulutu verisi ve görüntü bindirme oranları.



Şekil 5.11. BK-Loc1 Nokta bulutu verisi ve görüntü bindirme oranları.

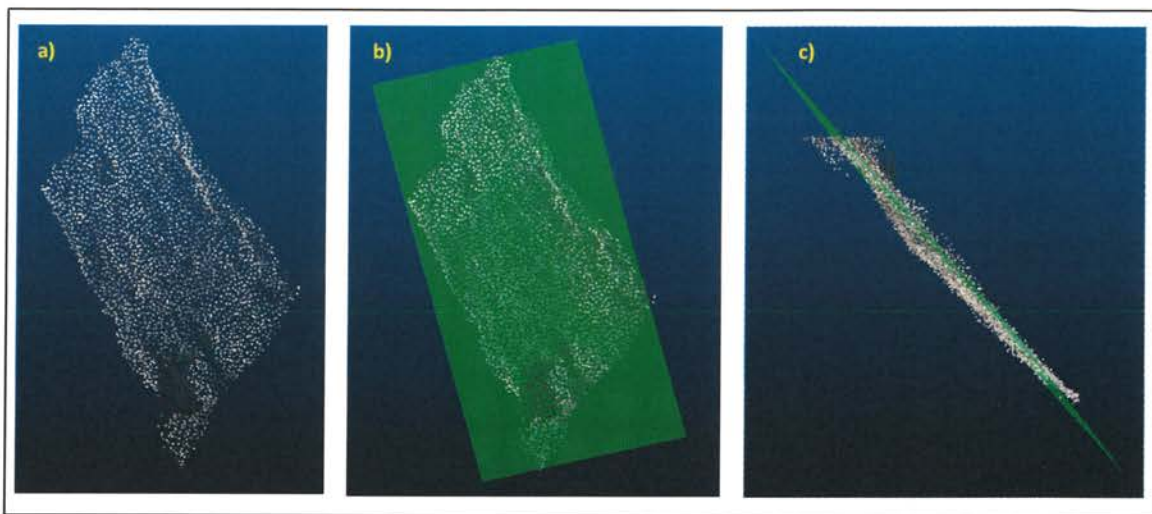


Şekil 5.12. BK-Loc2 Nokta bulutu verisi ve görüntü bindirme oranları.

5.2.2. Nokta Bulutu Verisi İle Yapılan Süreksızlık Yönetim Ölçümleri

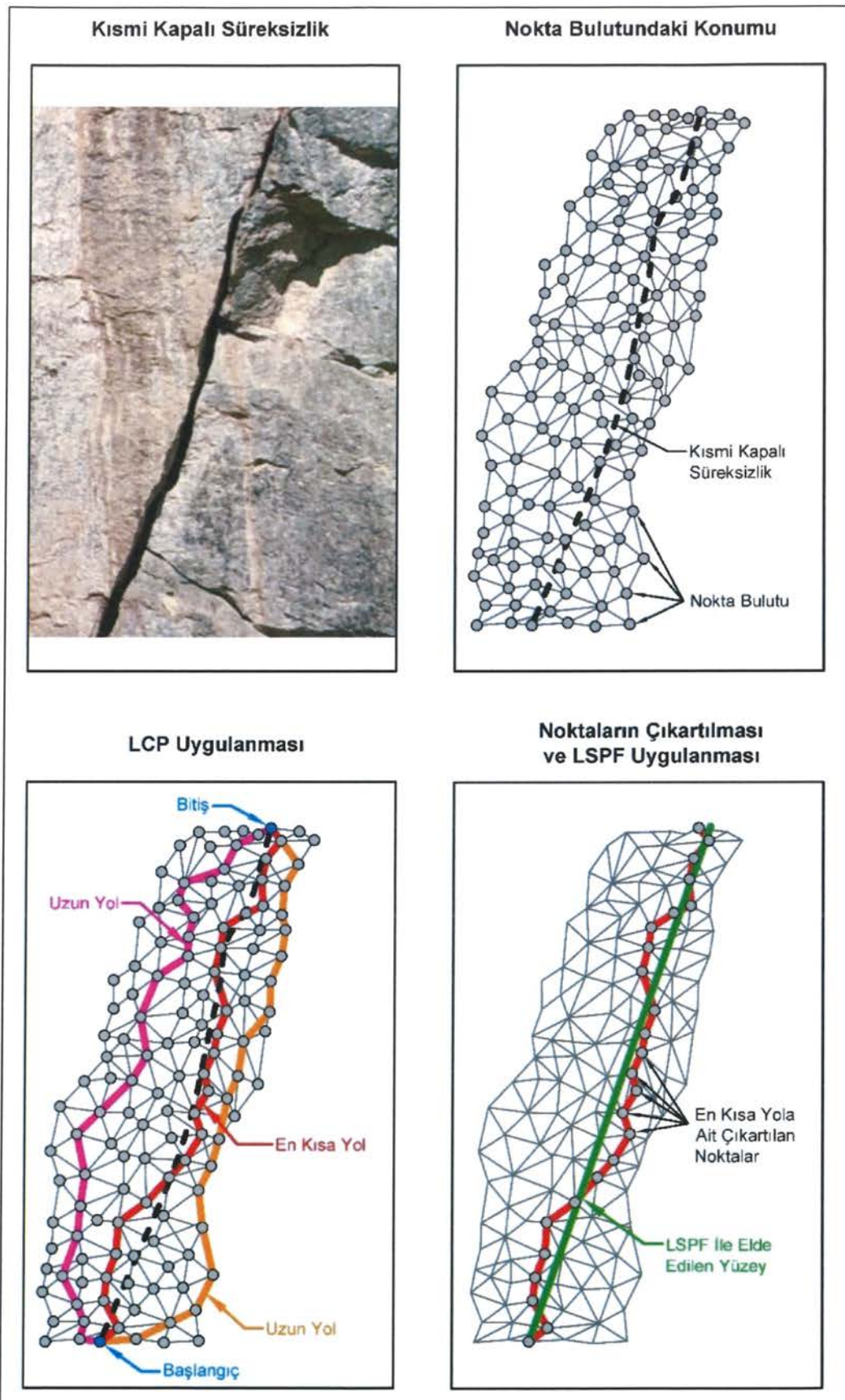
İnceleme alanlarına nokta bulutu verileri süreksızlık yönetim ölçümleri için CloudCompare (Girardeau-Montaut, 2016) yazılımına aktarılmıştır. CloudCompare yalnızca süreksızlık yönetim ölçümleri için kullanılmış, pürüzlülük ve ayrışma gibi süreksızlık özelliklerinin nokta bulutundaki özelliklerinin kaybedilmemesi adına herhangi bir alt örnekleme (subsampling) uygulanmamıştır. Hat etüdü ile ölçülen her bir süreksızlık yönetimi nokta bulutu verisi üzerinden Compass Plugin (Thiele et al., 2017) kullanılarak ölçülmüştür. Bazı süreksızlıklar nokta bulutunda tespit edilememiş olup toplamda hat etüdü ile çalışılan 164 süreksızlığın 144 adedinin ölçümü yapılmıştır. Bu ölçüler iki farklı süreksızlık tipine göre iki farklı yöntemle gerçekleştirilmiştir. Bunlardan ilki,

doğrudan süreksizlik düzlemlerinin gözlenebildiği açık süreksizliklerde uygulanan least square plane fitting (LSPF) yöntemidir. LSPF nokta bulutundaki süreksizlik yüzeyini oluşturan noktalar ile arasındaki uzaklık kareleri toplamı minimize edilmiş bir düzlem oluşturulmasına olanak sağlar (Şekil 5.13). Yöntem kullanılarak süreksizlikler üzerinde oluşturulan bu düzlemlerin eğim/eğim yönü miktarları, ilgili süreksizliklerin yönelim değerleri olarak ölçülmüştür.

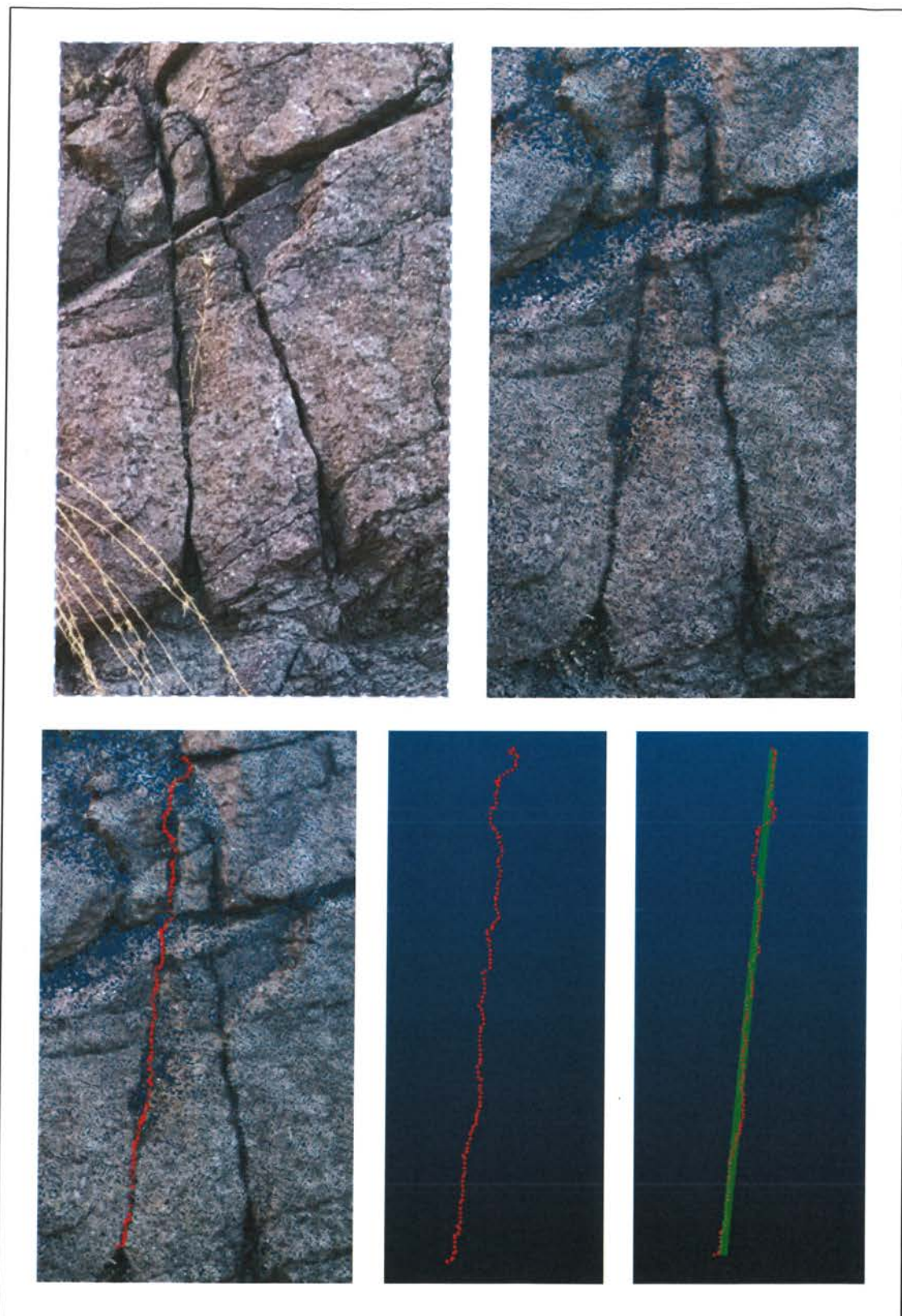


Şekil 5.13. Süreksizlik yüzeyine ait nokta bulutu verisi (a) LSPF yöntemi ile oluşturulan yüzey (b, c).

Kısmi kapalı süreksizliklerde ise süreksizlik yüzeyi nokta bulutu içerisinde doğrudan gözlemlenemediği için öncelikle süreksizlik yüzeylerini temsil eden noktalar elde edilmiş, daha sonra bu noktalar üzerinde LSPF uygulanmıştır. Kısmi kapalı süreksizliklerin yüzeylerini temsil eden noktaların elde edilmesi için least cost path (LCP) algoritması kullanılmıştır. Algoritma, nokta bulutu verisinde yer alan kısmi kapalı süreksizlik üzerinde bir yol belirlenmesi ve bu yolu oluşturan noktaların çıkartılması temeline dayanmaktadır (Şekil 5.14). Bu yol belirlenirken kullanıcı başlangıç ve bitiş noktalarını belirlemekte, algoritma da bu iki nokta arasındaki noktaların “darkness” özelliklerine bağlı olarak optimum yolu oluşturmaktadır. Kısmi kapalı süreksizlikler için bu algoritma kullanılarak çıkartılan noktalar süreksizlik yüzeyini oluşturan nokta bulutu verisi olarak kabul edilmiş ve LSPF uygulanarak ve yönelimler ölçülümüştür (Şekil 5.15).



Şekil 5.14. LCP + LSPF uygulaması şematik gösterim.



Şekil 5.15. LCP + LSPF nokta bulutu üzerinde uygulama örneği.

5.2.3. Kaya Külesi ve Süreksizlik Koşullarının Nokta Bulutu Üzerinden Yapılan Süreksizlik Yönelim Ölçümlerine Etkisi

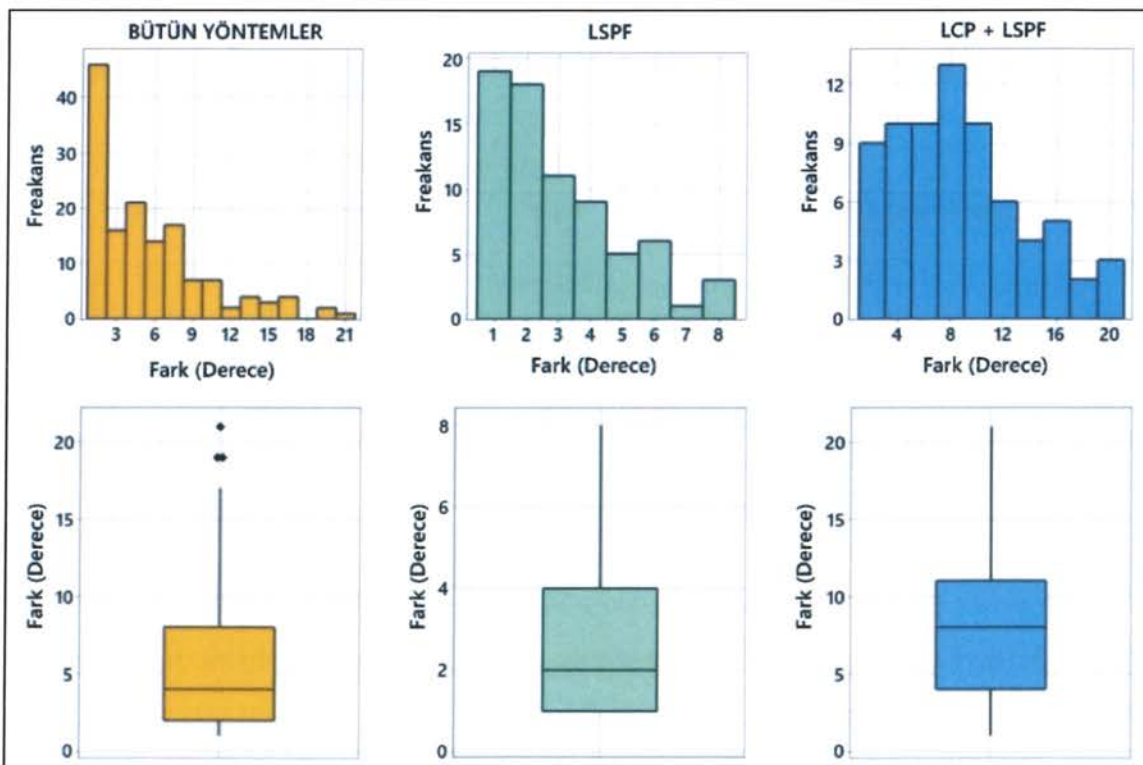
Yerinde yapılan ve nokta bulutu üzerinden ölçülen yönelim değerleri birbirleri ile karşılaştırılırken, her iki yerde de ölçülen süreksizlik düzlemlerine ait normaller arasındaki açı farkları kullanılmıştır (Eş. 5.1).

$$\cos \theta = \frac{|n_1 \cdot n_2|}{\|n_1\| \|n_2\|} \quad (5.1)$$

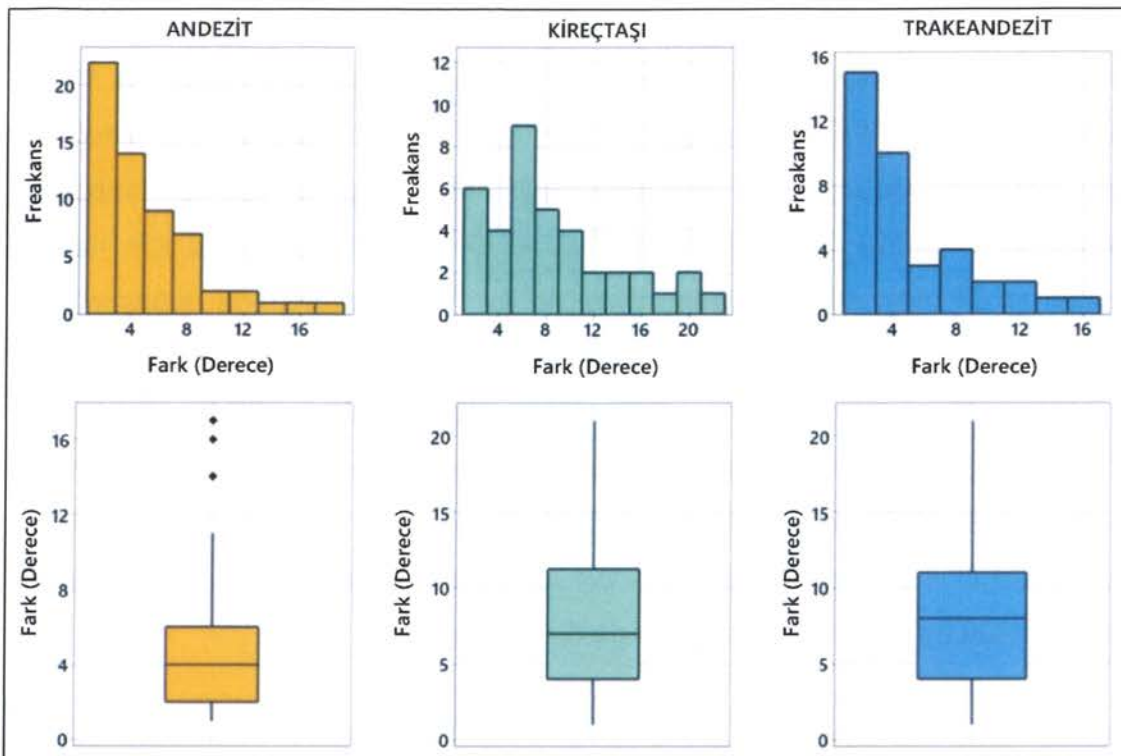
Buna göre bütün kaya ve süreksizlik türündeki ölçümler birlikte dikkate alındığında yerinde yapılan yönelim ölçümleri ile nokta bulutu üzerinden yapılan yönelim ölçümleri arasındaki fark miktarları ortalama 6° derece olup, $1^\circ - 21^\circ$ aralığında değişirken standart sapma da 5° olarak hesaplanmıştır. LSPF ve LCP + LSPF yöntemleri ayrı ayrı ele alındığında LSPF için fark miktarı ortalama 3° olmak kaydıyla $1^\circ - 8^\circ$ aralığında; LCP + LSPF için fark miktarı ortalama 8° olmak kaydıyla $1^\circ - 21^\circ$ aralığında hesaplanmıştır. Standart sapma değerleri ise LSPF için 2° , LCP + LSPF için 5° 'dir (Şekil 5.16). Kaya türlerine ilişkin farklar değerlendirildiğinde; andezit türü kaya kütleleri için yerinde yapılan yönelim ölçümleri ile nokta bulutu üzerinden yapılan yönelim ölçümleri arasındaki fark 4° standart sapma ile ortalama 5° olarak hesaplanmış olup, $1^\circ - 17^\circ$ aralığında değişmektedir. Kireçtaşı türündeki kaya kütleleri için fark miktarları $1^\circ - 21^\circ$ aralığında değişmekte olup 8° ortalama ve 5° standart sapmaya sahiptir. Trakeandezit türü kaya kütleleri için fark miktarı 5° ortalamayla $1^\circ - 15^\circ$ aralığında değişmekte olup standart sapma değeri 4° 'dir (Şekil 5.17).

Sahada ve nokta bulutunda gerçekleştirilen ölçümlerin birbiri arasındaki farkları etkileyen bir diğer faktör de süreksizlik yüzeylerinin ayrışma derecesidir. LSPF ve LCP + LSPF yöntemleri birlikte ele alındığında W2 – W3 ayrışma derecesi için fark miktarlarının ortalama 5° olarak $1^\circ - 19^\circ$ aralığında değiştiği, standart sapma değerinin de 4° olduğu tespit edilmiştir. W3 ayrışma derecesi için bu değerler 6° ortalama, 4° standart sapma ile $1^\circ - 21^\circ$ aralığında; W3 – W4 ayrışma derecesi için ise 7° ortalama, 5° standart sapma ile $1^\circ - 19^\circ$ aralığında değişmektedir.

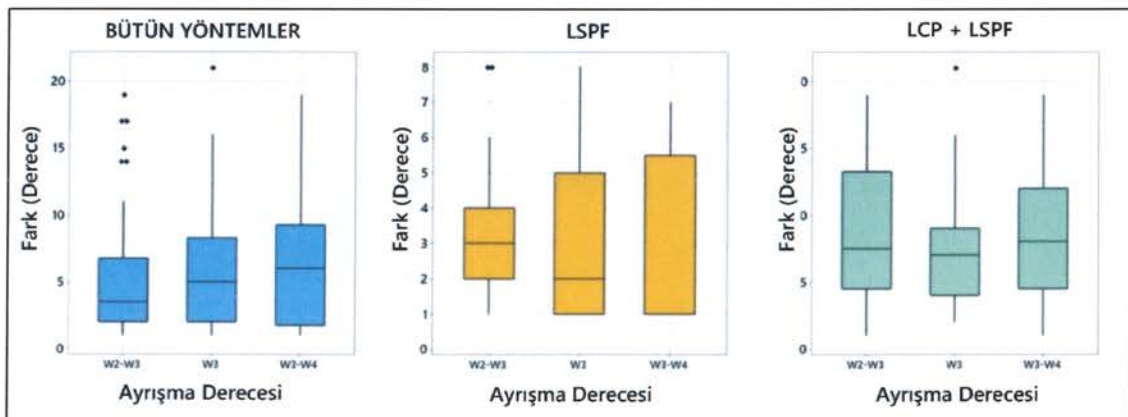
Ayarışma derecesinin yalnızca LSPF yöntemi üzerindeki etkisi değerlendirildiğinde; W2 – W3 için 3° ortalama, 2° standart sapma ile 1° – 8° aralığında değiştiği hesaplanmıştır. W3 ayarışma derecesi söz konusu olduğunda fark miktarları yine 1° – 8° arasında değişmekte olup, 2° standart sapma ile ortalama 3° olarak hesaplanmıştır. W3 – W4 ayarışma derecesi için ise fark miktarları 3° ortalama, 2° standart sapma ile 1° – 7° aralığında değişmektedir. LCP+LSPF yöntemi kullanıldığında W2 – W3 ayarışma derecesi için oluşan fark miktarları 1° – 19° aralığında değişmekte olup, ortalama 9° 'dır. Bu ayarışma derecesi için standart sapma miktarı 5° olarak hesaplanmıştır. LCP+LSPF kullanımında W3 ayarışma derecesi için fark miktarları 8° ortalama, 5° standart sapma ile 2° – 21° aralığında; W3 – W4 ayarışma derecesi için ise 9° ortalama, 5° standart sapma ile 1° – 19° aralığında değişmektedir.



Şekil 5.16. Farklı yöntemlerin fark miktarlarına ait histogram ve kutu grafikleri.



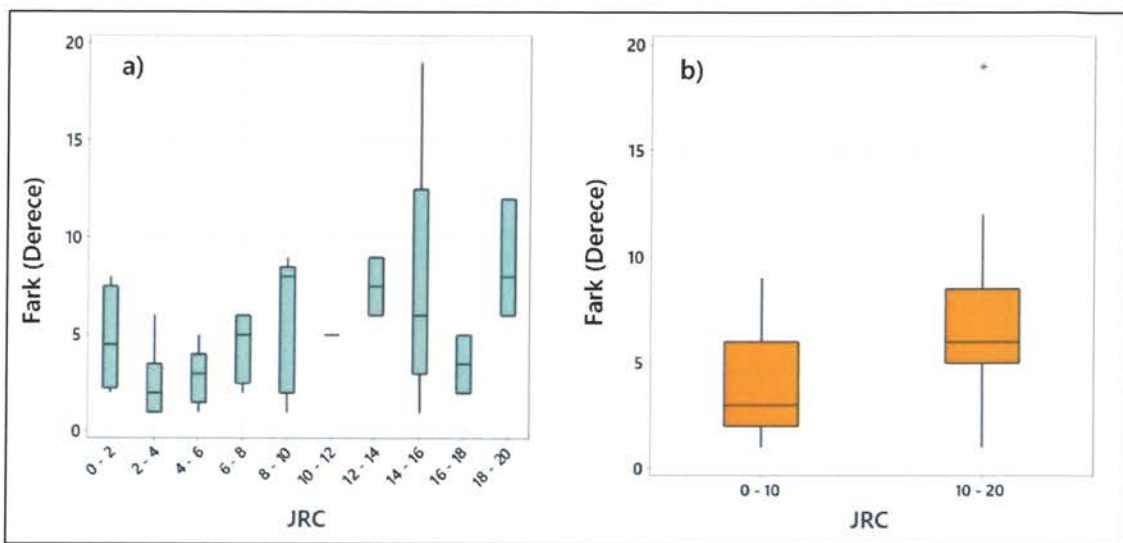
Şekil 5.17. Farklı kaya türlerinin fark miktarlarına ait histogram ve kutu grafikleri.



Şekil 5.18. Farklı ayırtma derecelerine göre hesaplanan ölçüm farklarına ait histogram ve kutu grafikleri.

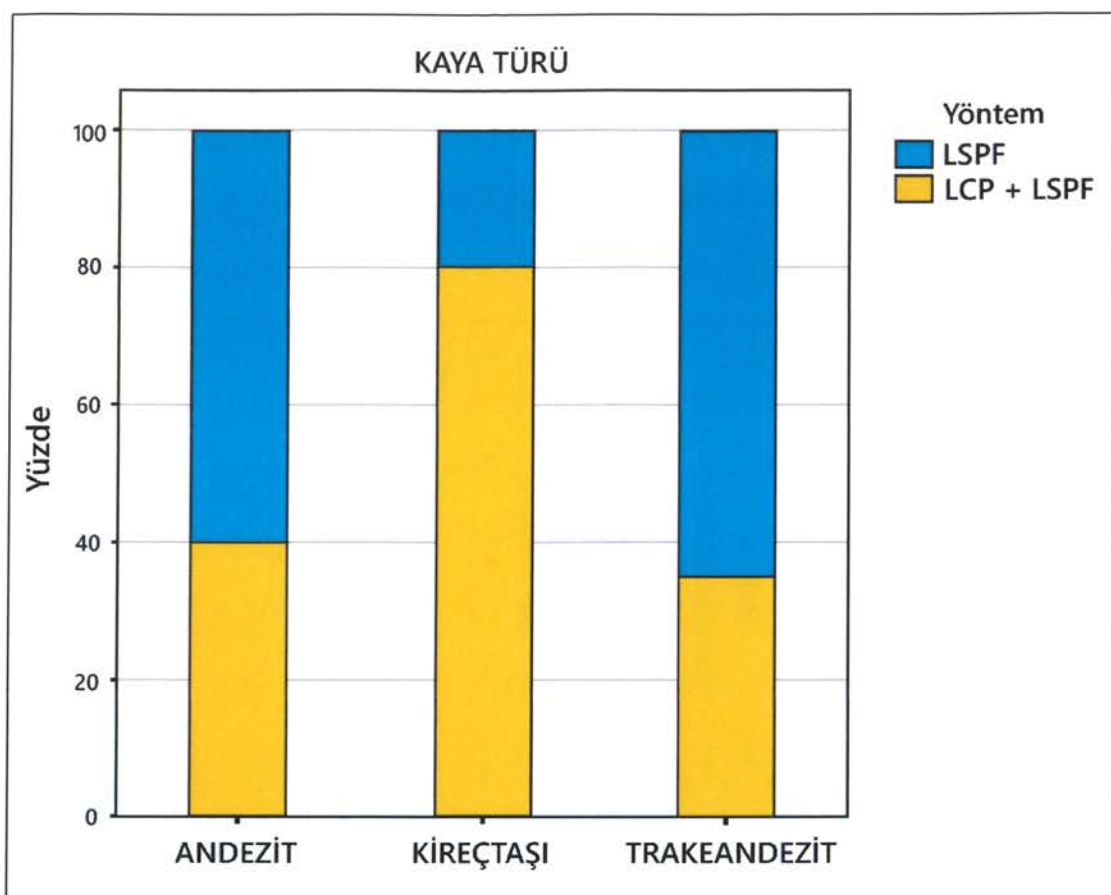
Yerinde ve nokta bulutunda ölçülen süreksizlik yönelikleri arasındaki farka ilişkin değerlendirme yapılırken göz önünde bulundurulan bir diğer süreksizlik özelliği de JRC'dir. Hat etüdü çalışmaları sırasında toplam 40 adet süreksizlik yüzeyinden pürüzlülük ölçümleri alınarak JRC değerleri tespit edilmiştir. Mevcut JRC ölçüm sayısı ile daha anlamlı sonuçlar elde edilebileceği düşünülerek, JRC

değerleri 0 – 10 ve 10 – 20 olarak iki farklı gruba ayrılmış ve değerlendirmeye tabi tutulmuştur. Buna göre, JRC 0 – 10 için ortalama fark miktarı 4° , JRC 10 – 20 için ise 7° olarak hesaplanmıştır. Standart sapma değerleri ise JRC 0 – 10 ve JRC 10 – 20 için sırası ile 3° ve 7° 'dir (Şekil 5.19).



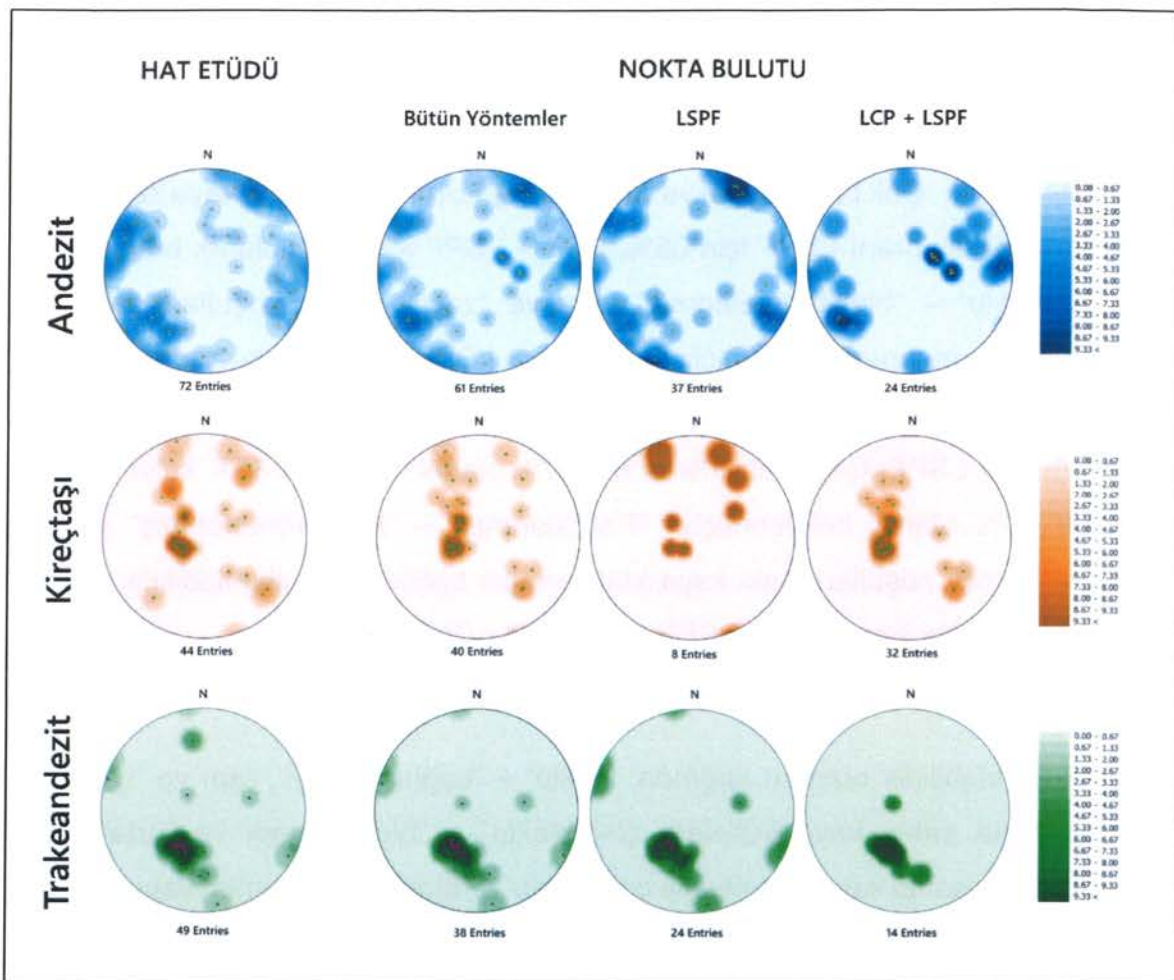
Şekil 5.19. JRC değerlerine göre ölçüm farklarını gösteren kutu grafikler; bütün değerler (a); gruplanmış değerler (b).

Çalışma kapsamında süreksızlıkların yapısal özelliklerinin nokta bulutu ve yerinde yönelik ölçümleri üzerindeki etkisinin yanı sıra, değerlendirilen bir diğer husus da LSPF ve LCP + LSPF yöntemlerinin kaya türü ve kaya kütle özelliklerine bağlı kullanılabilirlik durumudur. Buna göre Andezit türü kaya kütleleri için oluşturulan nokta bulutu verileri üzerinde alınan ölçümlerin 60%'ı için LSPF, 40%'ı ise LCP + LSPF yöntemi kullanılmıştır. Kireçtaş türündeki kaya kütleleri için bu oran 25% LSPF, 75% LCP + LSPF olarak; trakeandezit için ise 65% LSPF, 35% LCP + LSPF olarak belirlenmiştir (Şekil 5.20).



Şekil 5.20. LSPF ve LCP + LSPF yöntemlerinin kaya türlerine göre kullanım oranları.

Bu oranların yanı sıra, LSPF ve LCP + LSPF yöntemlerinin kaya türüne bağlı kullanım değerlendirmesi stereografik projeksiyon üzerinde de yapılmıştır. Andezit, kireçtaşı ve trakeandezit kaya kütlelerinde ölçülen süreksizliklere ait yöneliklerin kutup noktalarının dağılımları stereonet üzerinde incelenmiştir (Şekil 5.21). Buna göre, kireçtaşı türündeki kaya kütleleri için LCP + LSPF yöntemi söz konusu olduğunda kutup noktalarına ait dağılımin belirgin şekilde yoğunlaştiği gözlemlenmektedir. Andezit ve trakeandezit türündeki kaya kütleleri için ise LSPF yöntemi ile ölçülen süreksizliklere ait kutup noktalarının daha yoğun olduğu tespit edilmiştir.



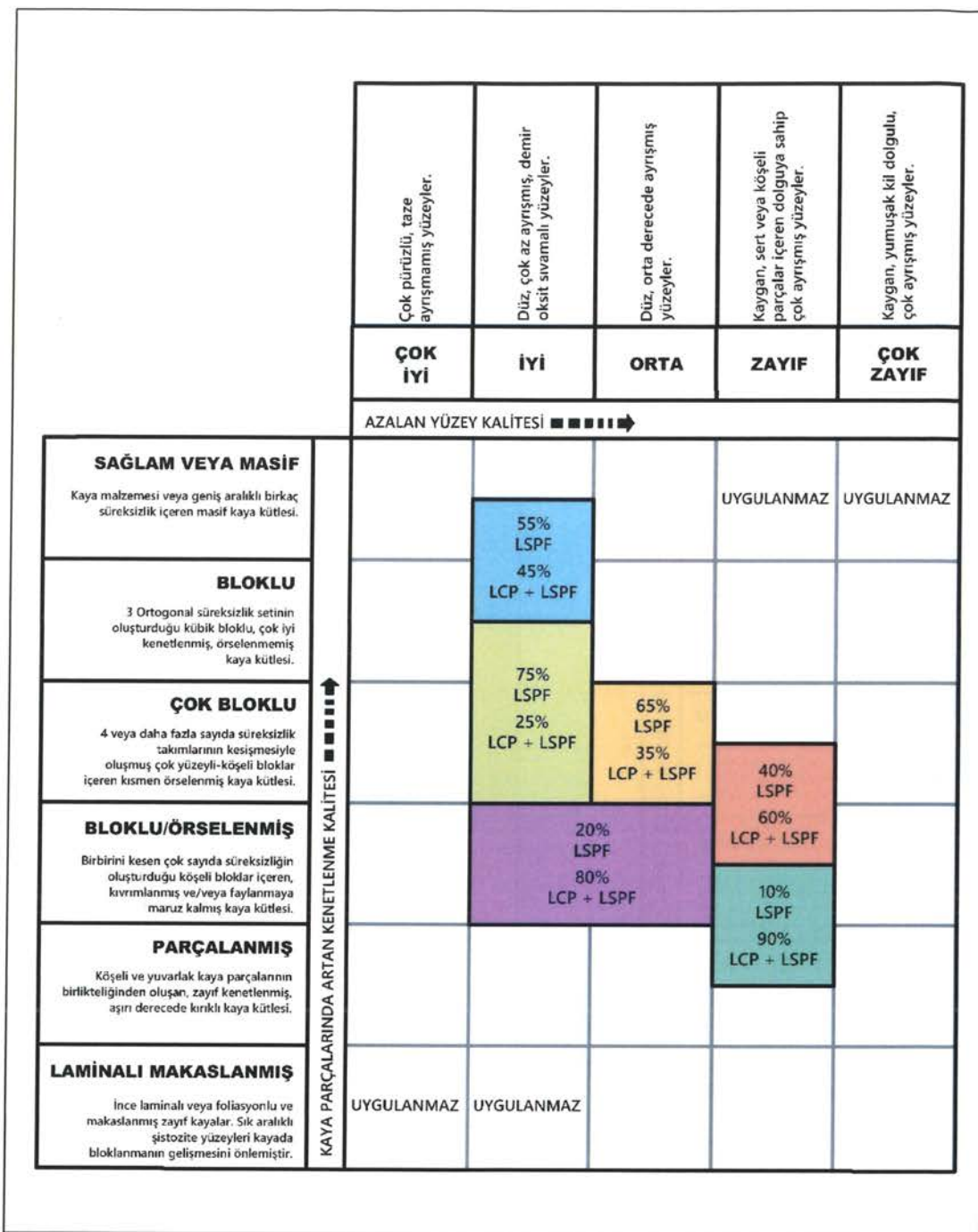
Şekil 5.21. Süreksizlik kutup noktalarının farklı kaya türü, LSPF ve LCP + LSPF yöntemlerine göre yoğunlukları.

Yöntemlerin kullanılabilirlik koşullarına ilişkin bir diğer değerlendirme de GSI belirlemesinde “Yapı” ve “Yüzey Kalitesi” parametrelerine göre yapılmıştır. Bu değerlendirme yapılırken her bir kaya mostrası için nokta bulutu verisi üzerinden LSPF ve LCP + LSPF yöntemleri ile ölçülen toplam süreksizlik sayılarının, sahada pusula ile doğrudan ölçülen toplam süreksizlik sayısına olan oranı belirlenmiştir. Belirlenen bu oranlar GSI tablosunda yapı ve yüzey kalitesine göre ait oldukları kaya kütlesini temsil eden hücreye (Çizelge 5.1'de verilen GSI aralıklarına göre) yerleştirilmiştir (Şekil 5.22).

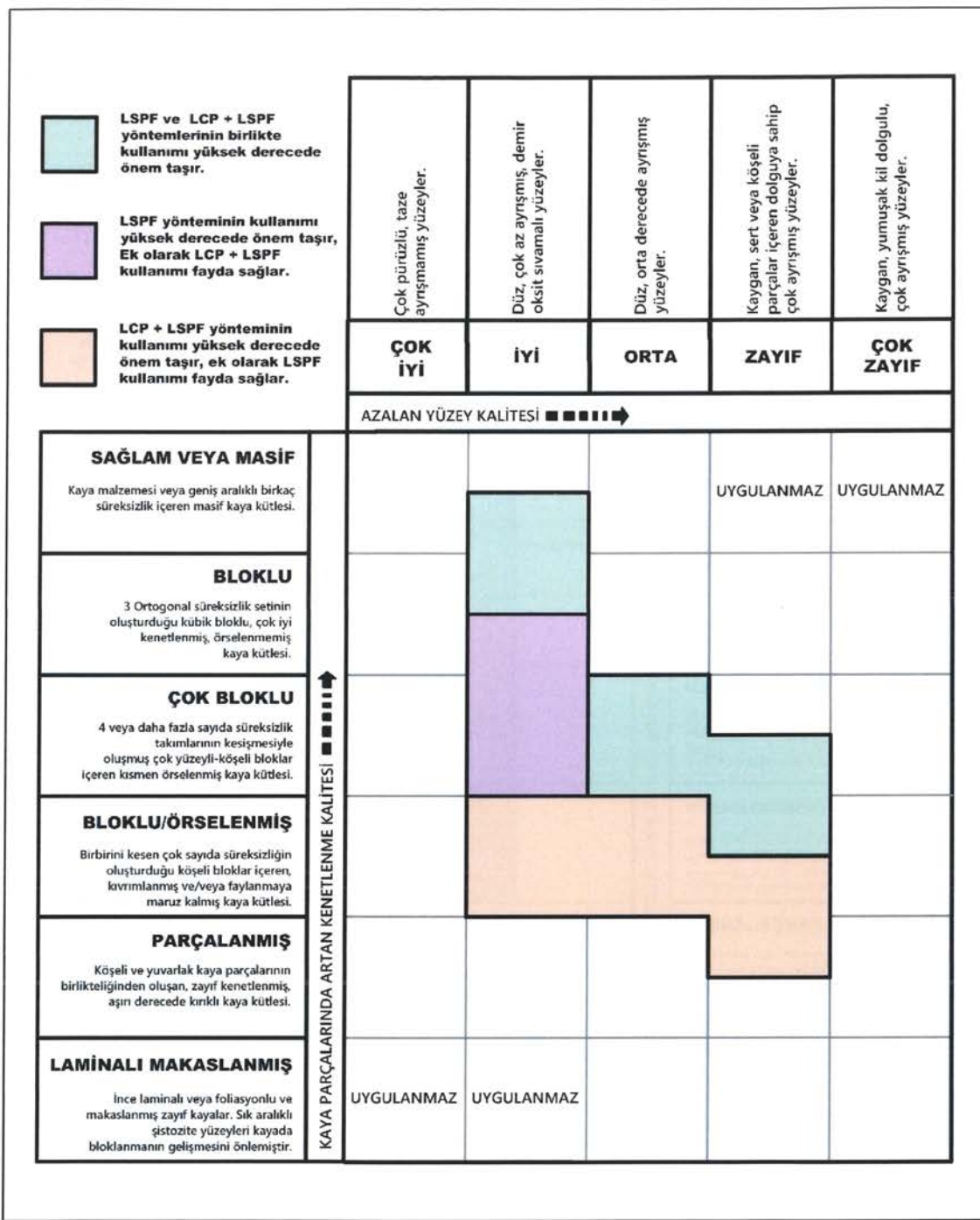
Bu yaklaşımıma göre, “bloklu” – “sağlam/masif” yapıya ve “iyi” yüzey koşullarına sahip kaya kütlelerinde LSPF kullanılabilirlik oranı 55%, LCP + LSPF

kullanılabilirlik oranı 45% olarak belirlenmiştir. Bir diğer değerlendirme “çok bloklu” – “bloklu” yapı ve “iyi” yüzey koşullarına sahip kaya kütlelerinde yapılmış, LSPF kullanılabilirlik oranı 75%, LCP + LSPF kullanılabilirlik oranı 25% olarak belirlenmiştir. “Çok bloklu” yapı ve “orta” yüzey koşullarına sahip kaya kütlelerinde kullanılabilirlik oranı LSPF için 65%, LCP + LSPF için 35% olarak belirlenirken; “çok bloklu” – “bloklu/örselenmiş” yapı ve “zayıf” yüzey koşullarındaki kaya kütlelerinde bu oranlar LSPF için 40%, LCP + LSPF için 60% olarak belirlenmiştir. “Bloklu/örselenmiş” yapı “orta – iyi” yüzey koşullarındaki kaya kütleleri söz konusu olduğunda LSPF kullanılabilirlik oranı 20% olarak, LCP + LSPF kullanılabilirlik oranı 80% olarak belirlenmiştir. “Parçalanmış” – “bloklu/örselenmiş” yapı ve “zayıf” yüzey koşullarındaki kaya kütleleri için belirlenen kullanılabilirlik oranları LSPF için 10% iken, LCP + LSPF için 90%'dır (Şekil 5.22).

Bu kullanılabilirlik oranları ışığında; “bloklu” – “sağlam/masif” yapı ve “iyi” yüzey koşullarına sahip kaya kütleleri, “çok bloklu” – “bloklu” yapı ve “orta” yüzey koşullarına sahip kaya kütleleri ve “çok bloklu” – “bloklu/örselenmiş” yapı ve “zayıf” yüzey koşullarına sahip kaya kütleleri için LSPF ve LCP + LSPF yöntemlerinin her ikisinin kullanımı da yüksek derecede önem taşımaktadır. “çok bloklu” – “bloklu” yapı ve “iyi” yüzey koşullarına sahip kaya kütleleri için LSPF yönteminin kullanılması yüksek derecede önem taşımakta olup, LCP + LSPF yönteminin bu yöntem ile birlikte kullanılması faydalı olacaktır. “Bloklu/örselenmiş” yapı ve “orta – iyi” yüzey koşullarındaki sahip kaya kütleleri, “Parçalanmış” – “bloklu/örselenmiş” yapı ve “zayıf” yüzey koşullarındaki kaya kütleleri için ise LCP + LSPF yönteminin kullanılması yüksek derecede önem taşımakta olup, LSPF yönteminin bu yöntem ile birlikte kullanılması faydalı olacaktır (Şekil 5.23).



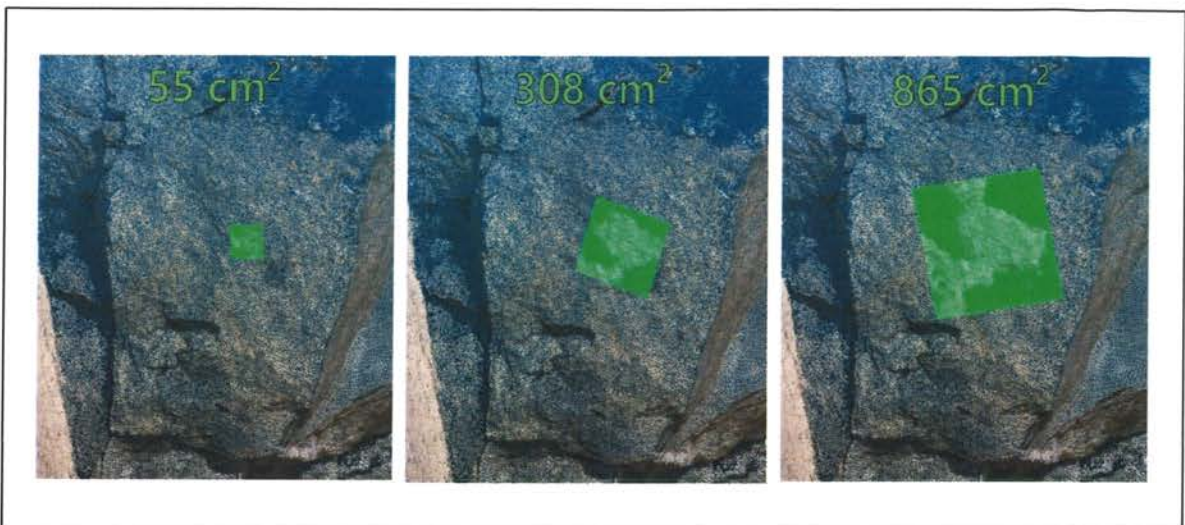
Şekil 5.22. LSPF ve LCP + LSPF yöntemlerinin kullanılabilirlik oranlarının GSI tablosu üzerinde yapı ve yüzey kalitesine göre gösterimi (Hoek ve Marinos, 2000'den değiştirilerek).



Şekil 5.23. LSPF ve LCP + LSPF yöntemlerine ilişkin kullanım önerilerinin GSI tablosu üzerinde gösterimi (Hoek ve Marinos, 2000'den değiştirilerek).

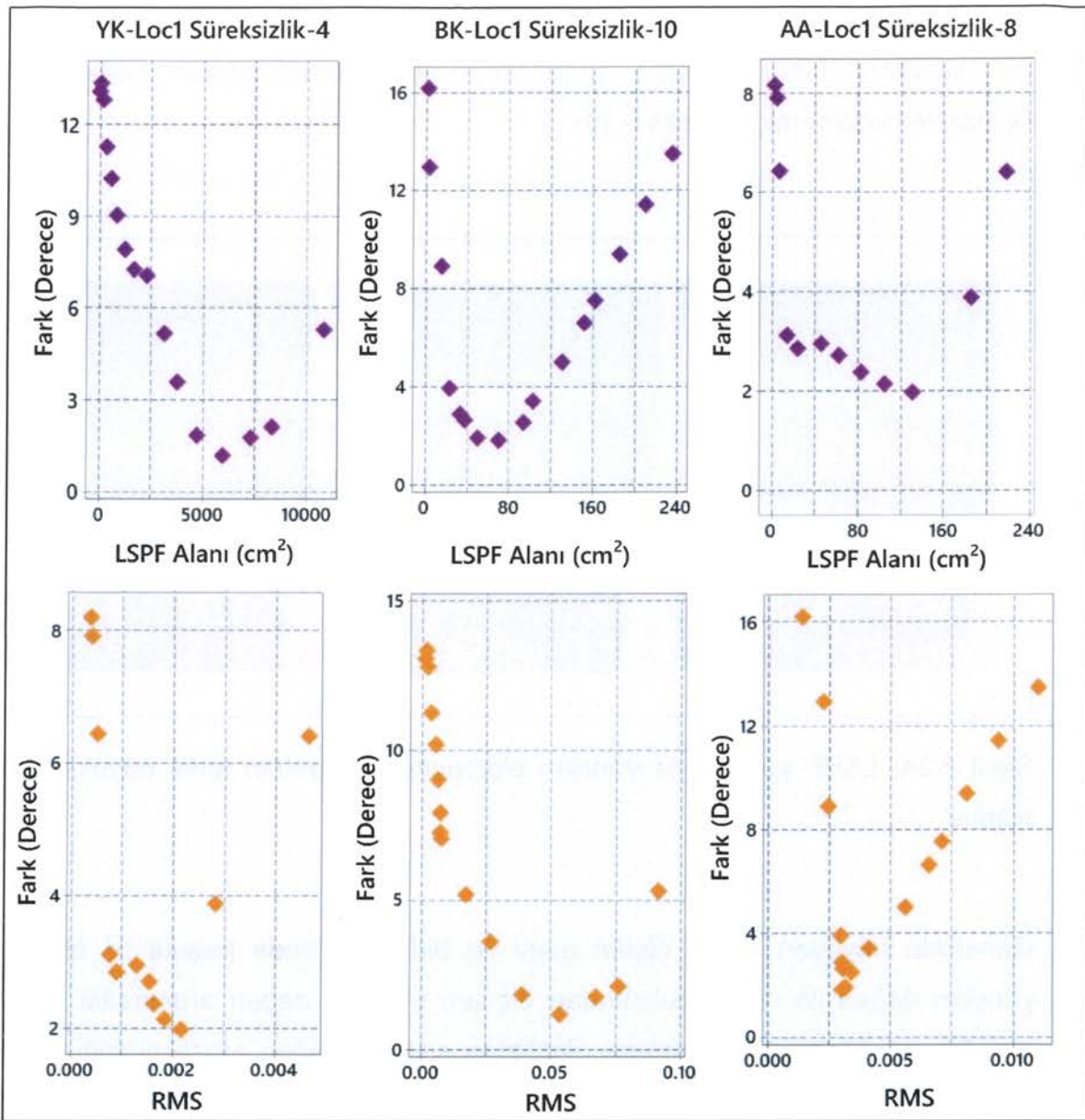
Yerinde ve nokta bulutunda ölçülen süreksizlik yönelimleri arasındaki fark miktarlarını doğrudan etkileyen bir diğer faktör de LSPF uygulanan yüzey alanının büyüklüğüdür. LSPF uygulanan alan büyüklükleri değişikçe ölçüm farklarının da değiştiği tespit edilmiştir. Bu değişimlerin belirli bir koşul dahilinde oluşup

oluşmadığının sorgulanması adına LSPF ile yönelik ölçülen her bir süreksizlik için küçükten büyüğe doğru artan farklı büyüklükteki alanlar kullanılarak değişimler incelenmiştir (Şekil 5.24).



Şekil 5.24. LSPF yöntemiyle yönelik ölçümünde kullanılan farklı büyüklükteki alanlar.

Genellikle büyüyen LSPF ölçüm alanı ile birlikte yerinde pusula ile ölçülen yönelik değeri ile nokta bulutundan ölçülen yönelik değeri arasındaki farkın azaldığı ve minimum bir değere ulaştıktan sonra yeniden artışa geçtiği tespit edilmiştir. Bu durum ideal durum olarak kabul edilmiş olup, ideal durumda tespit edilen bir diğer sonuç da, LSPF sonucunda elde edilen RMSE değerinin de ölçüm fark miktarları ile benzer değişimler gösterdiğidir. Bu değişimleri sergileyen ideal duruma sahip 3 farklı örnek süreksızlık Şekil 5.25'de verilmiştir.



Şekil 5.25. LSPF yöntemi uygulanan alan büyüklüğü ve RMS değerlerinin değişimleri.

6. SONUÇLAR VE TARTIŞMA

Bu araştırma kapsamında öncelikle, düşük maliyet ve kolay kullanımına sahip ekipmanlar aracılığıyla süreksızlık yönelimlerinin ölçülmesi amaçlanmıştır. Bu doğrultuda Özturk ve ark. (2019)'da olduğu gibi görüntüler, akıllı telefon kullanılarak elde edilmiştir. Düşük maliyet ve kolay kullanım yaklaşımı jeoreferanslama işlemi için de ögzb önünde bulundurulmuş olup, bu amaçla prizmatik karton bir kutu kullanılmıştır. Bu kullanım, jeoreferanslama için benzer çözümler üreten diğer çalışmaların (Francioni ve ark., 2019; García-Luna ve ark., 2019; ve Gregory-Lederer, 2020) aksine özel bir malzeme, tasarım ya da imalat gerektirmemiş arazide taşınması oldukça kolay basit bir kutu yardımıyla tamamlanmıştır. Sturzenegger ve Stead (2009)'in ifade ettiği gibi, fotogrametrik yöntemlerle oluşturulan 3B modele ait hassasiyet görüntü elde etme kalitesi ve görüntü çözünürlüğü ile doğrudan ilişkilidir. Bu bağlamda çalışma kapsamında oluşturulan nokta bulutu verileri ve ölçüm sonuçları dikkate alındığında görüntü elde etmek için akıllı telefon, jeoreferanslama için ise prizmatik bir kutu kullanmak güvenilir hassasiyette model üretebilmek için yeterli verileri sağlayabilmektedir.

Çalışma genelinde SfM fotogrametrisi ve süreksızlık yönelim ölçümleri arasındaki ilişki değerlendirilirken iki temel yaklaşım uygulanmıştır. Bunlardan ilki, hat etüdü ve nokta bulutu etüdü ile ölçülen süreksızlık yönelimlerine ait açıların karşılaştırılması ile elde edilen fark miktarları; ikincisi ise yöntemin uygulanabilirlik durumudur. Cawood ve ark. (2017), yönelim ölçüm farkları ve kullanılabilirlik değerlendirmelerini lidar, yersel SfM fotogrametrisi, hava SfM fotogrametrisi gibi farklı yöntemleri ile metot bazında yaparken; bu çalışmada düşük maliyetli SfM fotogrametrisi ile farklı kaya türü ve farklı yapısal özellikteki kaya kütlelerinin ölçümleri üzerindeki etkileri araştırılmıştır. Bir diğer deyişle, çalışma farklı fotogrametrik yöntemlerin karşılaştırılması üzerine değil, SfM fotogrametrisinin süreksızlık yönelim ölçümleri konusundaki çıktılarının jeolojik ve mühendislik jeolojisi açısından değerlendirilmesi üzerine inşa edilmiştir.

Literatürde yer alan Sturzenegger ve Stead (2009), Cawood ve ark. (2017) gibi çalışmalarda da sahada pusula ile ölçülen süreksızlık yönelimleri ve fotogrametrik

yöntemler yardımıyla ölçülen süreksizlik yönelimleri karşılaştırılmıştır. Fakat bu karşılaştırma yapılırken sahada ölçülen süreksizliklerin tamamı değil, belirli klavuz süreksizlikler kullanılmıştır. Bu tez çalışmasında ise, hat etütlerinde yönelimleri ölçülen süreksizliklerin tamamı nokta bulutu üzerinde de ölçülerek ilgili değerlendirmeler yapılmıştır. Bu değerlendirmeler neticesinde elde edilen ilk sonuç, süreksizliklerin açık ya da kısmi kapalı olma durumuna göre nokta bulutu üzerinde farklı ölçüm yöntemlerinin kullanılması gerektidir. Açık süreksizlikler için LSPF, kısmi kapalı süreksizlikler için ise LCP + LSPF yöntemi kullanılmış olup, bütün sonuçlar değerlendirildiğinde nokta bulutu üzerinde yapılan yönetim ölçümlerinin kabul edilebilir miktarda olduğu sonucuna ulaşılmıştır. Ölçüm sonuçları iki yöntem için de ayrı ayrı ele alındığında LSPF yöntemine ait fark miktarlarının LCP + LSPF yöntemine kıyasla ise kısmen kabul edilebilir olduğu tespit edilmiştir. LCP + LSPF yönteminin fark miktarları LSPF'ye göre daha fazla olsa da, ölçüm yapılan kaya kütlesinin temsil edilebilirliği açısından LCP + LSPF'nin kullanımı önem taşımaktadır.

Saha ve nokta bulutunda yapılan yönetim ölçümlerine ait fark miktarları kaya tipine göre ele alındığında çalışma yapılan andezit, kireçtaşısı ve trakeandezit kütlelerinin hepsi için bu farklıların kabul edilebilir olduğu sonucuna ulaşılmıştır. Bununla birlikte fark miktarlarının kireçtaşısı için fazla olmasının sebebi, sedimanter oluşumlardaki hakim süreksizlik tipinin tabakalanma yani kısmi kapalı süreksizlik şeklinde olması ve dolayısıyla LCP+LSPF metodunun kullanımına daha fazla başvurulmasıdır.

Çalışma kapsamındaki değerlendirmelerin bir diğeri de tekil süreksizlik özellikleri olan bozunma ve JRC özelinde yapılmıştır. Saha ve nokta bulutunda yapılan yönetim ölçümlerine ait fark miktarlarının bozunma derecesine bağlı değişimi göz önüne alındığında, bozunma derecesi arttıkça fark miktarının da kabul edilebilir oranda arttığı tespit edilmiştir. Bununla birlikte bozunma derecesinin etkisi LSPF ve LCP + LSPF yöntemleri için ayrı olarak da değerlendirilmiştir. Bu değerlendirme sonucunda, bozunma derecesinin LSPF yöntemi için ciddi farklılık yaratacak ölçüde olmadığı sonucuna ulaşılmıştır. Bozunma derecesi süreksizlik

yüzeylerinin pürüzlülüğünün artmasına sebep olarak JRC değerini etkilemeyece olup, nokta bulutunda yapılan yönelim ölçümüleri üzerinde dolaylı bir etkiye sahiptir. LCP + LSPF yöntemi söz konusu olduğunda tıpkı LSPF'deki gibi bozunma derecesi yönelim ölçümüleri üzerinde fark edilebilir bir etki yaratmamaktadır. Fakat, LSPF + LCP yöntemi ile yapılan ölçümlede orta derecede bozunmuş süreksızlıklar söz konusu olduğunda, az – orta derecede bozunmuş süreksızlıklarla gerçekleştirilen ölçümlere kıyasla sahada alınan yönelim değerlerine daha yakın miktarlar ölçülmüştür. Bir diğer deyişle bozunma derecesi artmasına rağmen, saha ve nokta bulutunda ölçülen yönelim değeri farkları azalmıştır. Bunun sebebinin, kısmi kapalı süreksızlıklar için bozunma derecesi arttıkça gerçekleşen fiziksel ayrışma ve parçalanmalar sonucunda gözlemlenebilen süreksızlık yüzey alanının artması ve dolayısıyla daha detaylı nokta bulutu verisinin üretilebilmesi olduğu düşünülmektedir.

Tez kapsamında saha ve nokta bulutunda yapılan yönelim ölçümleme ait fark miktarlarının JRC'ye bağlı değişimi göz önüne alındığında, JRC arttıkça ölçüm farklarının da arttığı sonucu kolaylıkla ifade edilebilir.

LSPF yöntemi uygulanan süreksızlık yüzey alanları ve yönelim ölçümlemeindeki değişimler göz önüne alındığında, süreksızlık yüzey alanının ölçümü doğrudan etkilediği fakat bu etkinin belirli bir korelasyon içerisinde olmadığı sonucuna ulaşmıştır. Daha önce de bahsedildiği üzere ideal durumda, büyüyen LSPF ölçüm alanı ile birlikte saha ve nokta bulutunda yapılan yönelim ölçümleme ait fark miktarlarının ve RMSE'nin azalmakta olup ve minimum bir değere ulaştıktan sonra yeniden artışa geçmektedir. Ideal durumdaki bu sonuctan hareketle, nokta bulutu üzerinde süreksızlık ölçümü yapan bir uzman mühendislik jeoloğu, RMSE sonuçlarının değişimlerini inceleyerek yaptığı yönelim ölçümlemeinden hangisini kullanacağını belirleme şansına sahiptir.

Kullanılabilirlik için ilk değerlendirme kaya türlerinin temsil edilebilirliği ile ilgili olarak gerçekleştirılmıştır. Elde edilen sonuçlara göre, LSPF ve LCP+LSPF yöntemlerinin beraber kullanımı çalışma yapılan bütün kaya türleri için tartışılmaz

önem taşımaktadır. Fakat bazı kaya türlerinde bazı yöntem ya da yöntemlerin kullanımının temsil edilebilirlik açısından fark edilebilir şekilde olarak ön plana çıktığı tespit edilmiştir. Buna göre, andezit tipi kaya türlerinde LSPF, kireçtaşısı tipi kaya türlerinde LCP+LSPF, trakeandezit kaya türünde ise hem LSPF hem LCP+LSPF kullanımı kaya kütlesinin temsil edilebilirliği için fark edilebilir şekilde ön plana çıkmaktadır.

GSI değerlerine bağlı kullanılabılırlik değerlendirmesi sonucunda ise kaya türü değerlendirmesine benzer sonuçlar elde edilmiştir. Elde edilen sonuçlar neticesinde LSPF ve LCP+LSPF yöntemlerinin beraber kullanımı çalışma yapılan bütün süreksizlik yapı koşulları ve süreksizlik yüzey kalitesi derecelerinde tartışılmaz önem taşımaktadır. Fakat bazı süreksizlik yapı koşulları için bazı yöntem ya da yöntemlerin kullanımının temsil edilebilirlik açısından fark edilebilir şekilde olarak ön plana çıktığı tespit edilmiştir. Buna göre süreksizlik yapısı koşullarındaki bloklanma seviyesi arttıkça bir diğer deyişle kaya parçalarının kenetlenme seviyesi azaldıkça LCP+LSPF kullanımı kaya kütlesinin temsil edilebilirliği için fark edilebilir şekilde ön plana çıkmaktadır. Fakat “bloklu” – “sağlam/masif” yapı ve “iyi” yüzey koşullarına sahip kaya kütleleri söz konusu olduğunda LCP+LSPF kullanım ihtiyacı söz konusu olmaktadır. Bunun sebebi kaya kütlelerindeki bloklanma seviyesi azaldıkça açık süreksizliklerin azalıp kısmi kapalı süreksizliklerin artması, bir diğer deyişle bloklu yapının yerini masif ve çatlaklı yapının almasıdır.

Tez kapsamında elde edilen sonuçlar, gelecekte yapılacak çalışmalar için bazı önerilerin temelini de oluşturmuştur. Bu kapsamdaki ilk öneri; daha farklı kaya türlerinde daha fazla ölçüm alınan çalışmaların yapılmasıdır. Buna benzer olarak, daha geniş GSI aralıklarını kapsayacak şekilde yapılacak çalışmalar da SfM fotogrametrisinin süreksizlik etütlerindeki performansının değerlendirilmesi açısından faydalı olacaktır. Bununla birlikte jeoreferanslama için prizmatik kutu kullanımının farklı büyülük ve derinlikteki şevelerde test edilmesi, yöntemin performansının belirlenmesi açısından önem taşımaktadır. Farklı yaklaşım gerektiren bir diğer konu da, nokta bulutu üzerinde yapılan ölçümlerde kullanılan

algoritmalarıdır. Kaya türü ve kaya kütle özelliklerini gibi mühendislik jeolojisi özelliklerinin, bu algoritmalar üzerindeki etkileri tartışılması gerektiği düşünülen hususlardandır. LSPF ve LCP+LSPF'ye alternatif olabilecek farklı algoritmaların kullanımı değerlendirilirken bu çalışmada olduğu gibi kaya türü ve kaya kütle özelliklerinin de göz önünde bulundurulması önerilmektedir.

7. KAYNAKLAR

- A. Gaich, A. Fasching, W. Schubert, Determining Structural Rock Mass Parameters Using a Computer Vision System, *Felsbau*. 21 (2003) 46–50.
- A. Gaich, A. Fasching, W. Schubert, Geotechnical data collection supported by computer vision, *Rock Mech; A Chall. Soc. Balkema*. (2001) 65–70.
- A. Lucieer, S.M. de Jong, D. Turner, Mapping landslide displacements using Structure from Motion (SfM) and image correlation of multi-temporal UAV photography, *Prog. Phys. Geogr. Earth Environ.* 38 (2013) 97–116.
- A. Riquelme, M. Cano, R. Tomás, A. Abellán, Identification of Rock Slope Discontinuity Sets from Laser Scanner and Photogrammetric Point Clouds: A Comparative Analysis, *Procedia Eng.* 191 (2017) 838–845.
- A.F. Habib, Digital Photogrammetric Systems Lecture Notes, 2016.
- A.I. Okay, C. Göncüoğlu, The Karakaya Complex: A review of data and concepts, *Turkish J. Earth Sci.* 13 (2004) 77–95.
- A.J. Cawood, C.E. Bond, J.A. Howell, R.W.H. Butler, Y. Totake, LiDAR, UAV or compass-clinometer? Accuracy, coverage and the effects on structural models, *J. Struct. Geol.* 98 (2017) 67–82.
- A.M.C. Şengör, Y. Yılmaz, Tethyan evolution of Turkey: A plate tectonic approach, *Tectonophysics*. 75 (1981) 181–241.
- B. Akyürek, E. Bilginer, B. Akbaş, N. Hemşin, Ş. Pehlivan, O. Altın, Y. Soysal, E. Dauer, E. Çatal, B. Sözeri, H. Yıldırım ve Y. Hakyemez, Jeoloji Mühendisliği Dergisi: Ankara-Elmadağ-Kaleclk Dolayının Temel Jeoloji Özellikleri, c. 8, (1984), sayı 2.
- B. Akyürek, M. Duru, Y.F. Sütçü, İ. Papak, F. Şaroğlu, N. Pehlivan, O. Gonenç, S. Granit, T. Yaşar, 1:100 000 ölçekli açınsama nitelikli Türkiye Jeoloji Haritaları Serisi, (MTA) Ankara F 15 Paftası, 1997.
- C. Stachnissi, Photogrammetry I, Lecture Notes, 2020.

- C. Vanneschi, M. Di Camillo, E. Aiello, F. Bonciani, R. Salvini, SfM-MVS Photogrammetry for Rockfall Analysis and Hazard Assessment Along the Ancient Roman Via Flaminia Road at the Furlo Gorge (Italy), *ISPRS Int. J. Geo-Information*. 8 (2019).
- C. Vanneschi, M. Eyre, M. Francioni, J. Coggan, The Use of Remote Sensing Techniques for Monitoring and Characterization of Slope Instability, *Procedia Eng.* 191 (2017) 150–157.
- D. Girardeau-Montaut, Cloud Compare: 3D point cloud and mesh processing software, open-source project, Version 2.10.2, 2016.
- D. Kong, C. Saroglou, F. Wu, P. Sha, B. Li, Development and application of UAV-SfM photogrammetry for quantitative characterization of rock mass discontinuities, *Int. J. Rock Mech. Min. Sci.* 141 (2021).
- D. M. Rose-Brown, Aspects Of Slope Design In Open Pit Mining. PhD Thesis, London University, 1973.
- D.G. Lowe, Distinctive Image Features from Scale-Invariant Keypoints, *Int. J. Comput. Vis.* 60 (2004) 91–110.
- E. Hoek, E.T. Brown, The Hoek–Brown failure criterion and GSI – 2018 edition, *J. Rock Mech. Geotech. Eng.* 11 (2019) 445–463.
- E. Hoek, P. Marinos, Predicting tunnel squeezing problems in weak heterogeneous rock masses Predicting tunnel squeezing problems in weak heterogeneous rock masses. Part 1: Estimating rock mass strength, in: *Tunnels Tunn. Int. Part.*, (2000) 1–22.
- E. Varol, A. Temel, A. Gourgaud, H. Bellon, Early Miocene adakite-like volcanism in the Balkuyumcu region, central Anatolia, Turkey: Petrology and geochemistry, *J. Asian Earth Sci.* 30 (2007) 613–628.
- F. Clapuyt, V. Vanacker, K. Van Oost, Reproducibility of UAV-based earth topography reconstructions based on Structure-from-Motion algorithms, *Geomorphology*. 260 (2016) 4–15.
- G. Firpo, R. Salvini, M. Francioni, P.G. Ranjith, Use of Digital Terrestrial Photogrammetry in rocky slope stability analysis by Distinct Elements Numerical Methods, *Int. J. Rock Mech. Min. Sci.* 48 (2011) 1045–1054.

- G. Konecny, Geoinformation Remote Sensing, Photogrammetry and Geographical Information Systems, cRc Press, **2008**.
- G. Papathanassiou, A. Riquelme, T. Tzevelekos, E. Evaggelou, Rock Mass Characterization of Karstified Marbles and Evaluation of Rockfall Potential Based on Traditional and SfM-Based Methods; Case Study of Nestos, Greece, *Geosci.* **10** (**2020**).
- G. Seyitoglu, G. Buyukonal, Geochemistry of Ankara volcanics and the implications of their K-Ar dates on the Cenozoic stratigraphy of central Turkey, *Turkish Journal of Earth Sciences* **4** (**1995**) 87–92.
- G.H. Erharder, D.S. Kieffer, C. Prager, UAV-Based Discontinuity Analyses and Rock Fall Source Mapping in Alpine Terrain (Pletzachkogel/Tyrol/Austria) BT- IAEG/AEG Annual Meeting Proceedings, San Francisco, California, 2018 - Volume 1, in: A. Shakoor, K. Cato (Eds.), Springer International Publishing, Cham, **2019**.
- H.S. Ozturk, S. Kocaman, C. Gokceoglu, A low-cost approach for determination of discontinuity orientation using smartphone images and application to a part of Ihlara Valley (Central Turkey), *Eng. Geol.* **254** (**2019**) 63–75.
- ISRM, 2007. The Complete ISRM Suggested Methods for Rock Characterization, Testing and Monitoring: 1974-2006. In: Ulusay, Hudson (Eds.), Suggested methods prepared by the commission on testing methods, International Society for Rock Mechanics, ISRM Turkish National Group, Ankara, **2007**.

İstanbul Üniversitesi Açık ve Uzaktan Eğitim Fakültesi Fiziki Coğrafya Ders Notları

- J. Ehlen, R.A. Hevenor, J.M. Kemeny, K. Girdner, Fracture recognition in digital imagery, *35th U.S. Symp. Rock Mech.* (**1995**) 141–146.
- J. Kemeny, R. Post, Estimating three-dimensional rock discontinuity orientation from digital images of fracture traces, *Comput. Geosci.* **29** (**2003**) 65–77

- J.L. Carrivick, M.W. Smith, D.J. Quincey, Structure from Motion in the Geosciences, John Wiley & Sons, **2016**.
- J.S. Aber, I. Marzolff, J.B. Ries, S.E.W. Aber, Chapter 3 - Principles of Photogrammetry, in: J.S. Aber, I. Marzolff, J.B. Ries, S.E.W.B.T.-S.-F.A.P. and U.A.S.I. (Second E. Aber (Eds.), Academic Press, **2019**.
- K. Kraus, Photogrammetry: Geometry from Images and Laser Scans, De Gruyter, **2011**.
- K. Linkwitz, Terrestrisch-photogrammetrische Kluftmessung, Rock Mech. Eng. Geol. I. (**1963**).
- L. Jordá Bordehore, A. Riquelme, M. Cano, R. Tomás, Comparing manual and remote sensing field discontinuity collection used in kinematic stability assessment of failed rock slopes, Int. J. Rock Mech. Min. Sci. 97 (**2017**) 24–32.
- L.C. Peltier, The Geographic Cycle in Periglacial Regions as it is Related to Climatic Geomorphology, Ann. Assoc. Am. Geogr. 40 (**1950**) 214–236.
- M. Azarafza, A. Ghazifard, H. Akgün, E. Asghari-Kaljahi, Development of a 2D and 3D computational algorithm for discontinuity structural geometry identification by artificial intelligence based on image processing techniques, Bull. Eng. Geol. Environ., 78 (**2019**).
- M. Favalli, A. Fornaciai, I. Isola, S. Tarquini, L. Nannipieri, Multiview 3D reconstruction in geosciences, Comput. Geosci. 44 (**2012**) 168–176.
- M. Francioni, M. Simone, D. Stead, N. Sciarra, G. Mataloni, F. Calamita, A New Fast and Low-Cost Photogrammetry Method for the Engineering Characterization of Rock Slopes, Remote Sens. 11 (**2019**).
- M. Gregory-lederer, Digital Commons - Montana Tech Nadir and oblique UAV photogrammetry techniques for quantitative rock fall evaluation in the rimrocks of southcentral Montana, Montana Tech University, **2020**.
- M. Jaud, M. Kervot, C. Delacourt, S. Bertin, Potential of Smartphone SfM Photogrammetry to Measure Coastal Morphodynamics, Remote Sens. 11 (**2019**).

- M. Pötsch, W. Schubert, A. Gaich, Application of metric 3D images of rock faces for the determination of the response of rock slopes to excavation, Impact Hum. Act. Geol. Environ. - Proc. Int. Symp. Int. Soc. Rock Mech. Eurock 2005. **(2005)** 489–497.
- M. Sayab, D. Aerden, M. Paananen, P. Saarela, Virtual Structural Analysis of Jokisivu Open Pit Using ‘Structure-from-Motion’ Unmanned Aerial Vehicles (UAV) Photogrammetry: Implications for Structurally-Controlled Gold Deposits in Southwest Finland, *Remote Sens.* **10** (2018).
- M. Sturzenegger, D. Stead, Close-range terrestrial digital photogrammetry and terrestrial laser scanning for discontinuity characterization on rock cuts, *Eng. Geol.* **106** (2009) 163–182.
- M.A. Fischler, R.C. Bolles, Random Sample Consensus: A Paradigm for Model Fitting with Applications to Image Analysis and Automated Cartography, *Commun. ACM.* **24** (1981) 381–395.
- M.A. Fonstad, J.T. Dietrich, B.C. Courville, J.L. Jensen, P.E. Carboneau, Topographic structure from motion: A new development in photogrammetric measurement, *Earth Surf. Process. Landforms.* **38** (2013) 421–430.
- M.J. Lato, M. Vöge, Automated mapping of rock discontinuities in 3D lidar and photogrammetry models, *Int. J. Rock Mech. Min. Sci.* **54** (2012) 150–158.
- M.J. Westoby, J. Brasington, N.F. Glasser, M.J. Hambrey, J.M. Reynolds, ‘Structure-from-Motion’ photogrammetry: A low-cost, effective tool for geoscience applications, *Geomorphology.* **179** (2012) 300–314.
- N. Barton, V. Choubey, The shear strength of rock joints in theory and practice, *Rock Mech.* **10** (1977).
- N. Görür, F.Y. Oktay, İ. Seymen, A.M.C. Şengör, Palaeotectonic evolution of the Tuzgölü basin complex, Central Turkey: sedimentary record of a Neo-Tethyan closure, *Geol. Soc. London, Spec. Publ.* **17** (1984) 467 LP – 482.

- N. Menegoni, D. Giordan, C. Perotti, D.D. Tannant, Detection and geometric characterization of rock mass discontinuities using a 3D high-resolution digital outcrop model generated from RPAS imagery – Ormea rock slope, Italy, Eng. Geol. 252 (2019) 145–163.
- N. Rengers, Terrestrial Photogrammetry: A valuable tool for engineering geological purposes, Rock Mech. Eng. Geol. V. (1967).
- N. Snavely, S.M. Seitz, R. Szeliski, Modeling the World from Internet Photo Collections, Int. J. Comput. Vis. 80 (2008) 189–210.
- O. ve D. Tüysüz A. A., Çankırı Havzasının Tektonik Birlikleri ve Havzanın Tektonik Evrimi, Türkiye 9. Pet. Kongresi, Bildir. Jeol. (1992) 333–349.
- P. An, K. Fang, Q. Jiang, H. Zhang, Y. Zhang, Measurement of Rock Joint Surfaces by Using Smartphone Structure from Motion (SfM) Photogrammetry, Sensors, 21 (2021).
- P.R. Wolf, B.A. Dewitt, B.E. Wilkinson, Elements of Photogrammetry with Applications in GIS, Fourth edi, McGraw-Hill Education, New York, 2014.
- Q. Feng, K. Röshoff, A Survey of 3D Laser Scanning Techniques for Application to Rock Mechanics and Rock Engineering, in: ISRM Suggest. Methods Rock Charact. Test. Monit. 2007-2014, 2015.
- R. García-Luna, S. Senent, R. Jurado-Piña, R. Jimenez, Structure from Motion photogrammetry to characterize underground rock masses: Experiences from two real tunnels, Tunn. Undergr. Sp. Technol. 83 (2019) 262–273.
- R. Hartley, A. Zisserman, Multiple View Geometry in Computer Vision, 2nd ed., Cambridge University Press, Cambridge, 2004.
- R. Roncella, G. Forlani, F. Remondino, Photogrammetry for geological applications: automatic retrieval of discontinuity orientation in rock slopes, in: Videometrics VIII, 2005.
- R. Salvini, M. Francioni, S. Riccucci, P.L. Fantozzi, F. Bonciani, S. Mancini, Stability analysis of “Grotta delle Felci” Cliff (Capri Island, Italy): structural, engineering-geological, photogrammetric surveys and laser scanning, Bull. Eng. Geol. Environ. 70 (2011) 549–557.

- R. Szeliski, Computer vision: algorithms and applications, Springer Science & Business Media, **2010**.
- R. Ulusay, H. Sönmez, Kaya kütlelerinin mühendislik özellikleri, JMO Yayınları, Ankara, **2007**.
- R.E. Goodman, Introduction to rock mechanics, Wiley New York, **1989**.
- S. A. Kocaman, Sensor modeling and validation for linear array aerial and satellite imagery, Doctoral dissertation, ETH Zurich, **2008**.
- S. Jiang, C. Jiang, W. Jiang, Efficient structure from motion for large-scale UAV images: A review and a comparison of SfM tools, ISPRS J. Photogramm. Remote Sens. 167 (**2020**) 230–251.
- S.D. Priest, Discontinuity Analysis for Rock Engineering, Chapman and Hall, London, **1993**.
- S.P. Bemis, S. Micklethwaite, D. Turner, M.R. James, S. Akciz, S.T. Thiele, H.A. Bangash, Ground-based and UAV-Based photogrammetry: A multi-scale, high-resolution mapping tool for structural geology and paleoseismology, J. Struct. Geol. 69 (**2014**) 163–178.
- S.T. Thiele, L. Grose, A. Samsu, S. Micklethwaite, S.A. Vollgger, A.R. Cruden, Rapid, semi-automatic fracture and contact mapping for point clouds, images and geophysical data, Solid Earth. 8 (**2017**) 1241–1253.
- T. Cao, A. Xiao, L. Wu, L. Mao, Automatic fracture detection based on Terrestrial Laser Scanning data: A new method and case study, Comput. Geosci. 106 (**2017**) 209–216.
- T. Luhmann, S. Robson, S. Kyle, J. Boehm, Close-range photogrammetry and 3D imaging, de Gruyter, Berlin/Boston, **2019**.
- T.M. Lillesand, R.W. Kiefer, chipman, JW 2004, Remote Sens. Image Interpret. John Wiley & Sons, New York, **2004**.
- U. Bilgutay, Geology of the Hasanoglan-Ankara region, Bulletin of the Mineral Research and Exploration 54, (**1960**), 44–51.

- V. Bonilla-Sierra, L. Scholtès, F. V Donzé, M.K. Elmoultie, Rock slope stability analysis using photogrammetric data and DFN–DEM modelling, *Acta Geotech.* 10 (2015) 497–511.
- W. Greenwood, D. Zekkos, J. Lynch, J. Bateman, M.K. Clark, D. Chamlagain, UAV-based 3-D characterization of rock masses and rock slides in Nepal, 50th U.S. Symp. Rock Mech, 4 (2016) 3027-3035.
- W. Linder, Digital photogrammetry, Springer, Berlin, Heidelberg, 2009.
- W.C. Haneberg, Using close range terrestrial digital photogrammetry for 3-D rock slope modeling and discontinuity mapping in the United States, *Bull. Eng. Geol. Environ.* 67 (2008) 457–469.
- W.Y. Tung, S.K. Nagendran, M.A. Mohamad Ismail, 3D rock slope data acquisition by photogrammetry approach and extraction of geological planes using FACET plugin in CloudCompare, IOP Conf. Ser. Earth Environ. Sci. 169 (2018) 12051.
- Y. Lee, D.-W. Ryu, H.-K. Lee, An Application of Stereophotogrammetry in Investigating Rock Discontinuity Orientation, *Geosystem Eng.* 3 (2000) 71–80.
- Y. Zhang, P. Yue, G. Zhang, T. Guan, M. Lv, D. Zhong, Augmented Reality Mapping of Rock Mass Discontinuities and Rockfall Susceptibility Based on Unmanned Aerial Vehicle Photogrammetry, *Remote Sens.* 11 (2019).

